



جامعة الملك سعود

كلية الآداب

مركز البحوث

«٢٧»

مرئية الاستشعار عن بعد

جمع بياناتها وتحليلها

الدكتور:

محمد عبدالله الصالح

الأستاذ المساعد بقسم الجغرافيا

كلية الآداب - جامعة الملك سعود

دراسة علمية محكمة

الرياض ١٤١٢هـ / ١٩٩٢م

بِسْمِ اللَّهِ الرَّحْمَنِ الرَّحِيمِ

جامعة الملك سعود

كلية الآداب

مركز البحوث

رقم الوثيقة: ١١١١١١١١١١

١١١١١١١١١١١١

هرئية الاستشعار عن بعد جمع بياناتها ونحللها

شهادة ماجستير في الدراسات العليا

الدكتور

محمد عبدالله الصالح

الأستاذ المساعد بقسم الجغرافيا

كلية الآداب - جامعة الملك سعود

الطبعة الأولى

١٤١٢هـ / ١٩٩٢م

مركز الأبحاث
الطبية

حقوق الطبع محفوظة لمركز الأبحاث

١٤١٢هـ

والطبعة الثانية

لجامعة الملك سعود

الرياض - ١٤١٢هـ

مطابع جامعة الملك سعود



كلمة شكر

يسرني ان اتقدم بالشكر الجزيل للدكتور سعد ابن عبدالرحمن البازعي وللاستاذ محمد الجيلي اسماعيل وللاستاذ صلاح حسن محمد علي، مركز البحوث، كلية الآداب، جامعة الملك سعود، لتعاونهم المستمر اثناء مراحل اعداد هذا الكتاب واجراءات نشره.

يسعدني ايضا ان ادون شكري وتقديري للاستاذ صلاح الدين تركي، خبير انتاج الخرائط بقسم الجغرافيا، جامعة الملك سعود، الذي قام برسم وتصوير وانتاج الاشكال في هذا الكتاب. كما يطيب لي ان اتقدم بالشكر الجزيل للاستاذ مصطفى الخنيزي، قسم الاعلام، جامعة الملك سعود، على تفضله بالكتابة على الاشكال.

المحتويات

الصفحة	الموضوع
٧	مقدمة
	الفصل الأول: الاشعاع الكهرومغناطيسي وتفاعلاته
١٠	مع المواد
١٠	١-١ الاشعاع الكهرومغناطيسي
	٢-١ تفاعل الاشعاع الكهرومغناطيسي
١١	مع المواد
	١-٢-١ تفاعل الاشعاع الكهرومغناطيسي
١٣	مع مواد الغلاف الجوي
	٢-٢-١ تفاعل الاشعاع الكهرومغناطيسي
	مع مواد سطح الأرض في الموجات المرئية وتحت الحمراء القريبة
١٧	والوسطى
	١-٢-٢-١ انعكاس الاشعاع الكهرومغناطيسي
٢٠	من النباتات
	٢-٢-٢-١ انعكاس الاشعاع الكهرومغناطيسي
٢٣	من الصخور
	٣-٢-٢-١ انعكاس الاشعاع الكهرومغناطيسي
٢٧	من التربة
	٤-٢-٢-١ انعكاس الاشعاع الكهرومغناطيسي
٢٧	من المياه
	٣-٢-١ انبعاث الاشعاع الكهرومغناطيسي
	من مواد سطح الأرض في الموجات تحت الحمراء الحرارية
٢٩	٤-٢-١ تفاعل الاشعاع الكهرومغناطيسي
	مع مواد سطح الارض في موجات الميكرويف
٣٣	١-٤-٢-١ تأثير الخصائص الكهربائية
٣٥	للسطح

٣٦	٢-٤-٢-١	تأثير خشونة السطح وطول الموجة
٤٢	٣-٤-٢-١	تأثير طبوغرافية السطح
٤٣		الفصل الثاني: أجهزة الاستشعار عن بعد ووسائل
٤٣		حملها
٤٣	١-٢	أجهزة الاستشعار عن بعد
٤٣	١-١-٢	نظم التصوير الفوتوغرافي
٤٥	٢-١-٢	نظم المسح الخطي
٤٦	٣-١-٢	نظم التصوير التلفزيوني
٤٧	٤-١-٢	نظم الصف الخطي
٤٧	٥-١-٢	نظم الميكرويف
٤٩	٢-٢	وسائل حمل أجهزة الاستشعار
٤٩		عن بعد
٤٩	١-٢-٢	الطائرات
		٢-٢-٢	الأقمار الصناعية الحاملة
٥٠		للإنسان
٥٢	٣-٢-٢	الأقمار الصناعية الأوتوماتيكية
		١-٣-٢-٢	الأقمار الصناعية الأوتوماتيكية
٥٣		الأمريكية
		٢-٣-٢-٢	الأقمار الصناعية الأوتوماتيكية
٦٢		الروسية
		٣-٣-٢-٢	الأقمار الصناعية الأوتوماتيكية
٦٢		الفرنسية
٦٤		الفصل الثالث: معالجة المرئية وتفسيرها
٦٤	١-٣	معالجة المرئية الرقمية
٦٦	١-١-٣	تصحيح المرئية
٦٦	٢-١-٣	تحسين المرئية
٧٠	١-٢-١-٣	زيادة التباين في المرئية
٧٠	٢-٢-١-٣	إنتاج المرئية الملونة
٧٣	٣-٢-١-٣	الترشيح المكاني
٧٤	٤-٢-١-٣	نسب النطاقات

٧٧	٥-٢-١-٣	تحليل المركبات الرئيسية	٧٧
٨١	٣-١-٣	تصنيف المرثية	٨١
	١-٣-١-٣	تصنيف المرثية حسب القيم	
٨١		الرقمية في نطاق واحد	٨١
	٢-٣-١-٣	تصنيف المرثية حسب القيم	
٨٤		الرقمية لعدة نطاقات	٨٤
٨٦	٢-٣	التفسير البصري للمرثية	٨٦
	١-٢-٣	اهم العوامل المؤثرة في تفسير	
٨٨		المرثية	٨٨
٨٨	١-١-٢-٣	مقياس الرسم	٨٨
٨٩	٢-١-٢-٣	الوضوح المكاني	٨٩
٨٩	٣-١-٢-٣	الغيوم	٨٩
٩٠	٤-١-٢-٣	الميل في المرثية	٩٠
٩٠	٢-٢-٣	الرؤية المجسمة	٩٠
٩٢	٣-٢-٣	الموزايك	٩٢
	٤-٢-٣	عناصر تمييز الظواهر في	
٩٢		المرثية	٩٢
٩٥		المراجع	٩٥
٩٩		المصطلحات	٩٩
٩٩		انجليزي-عربي	٩٩
١٠٢		عربي- انجليزي	١٠٢

مقدمة

الاستشعار عن بعد Remote Sensing عبارة عن مجموعة من الطرق تستخدم لجمع المعلومات عن الأجسام والظواهر على سطح الأرض دون ملامستها، وذلك من مسافات قد تكون قريبة أو بعيدة. وبيانات مرئية (منظر) Image الاستشعار عن بعد تجمع بواسطة أجهزة حساسة للإشعاع الكهرومغناطيسي المنعكس أو المنبعث من الأجسام. وتعرف المرئية بأنها تمثيل تصويري للأجسام. وفي أدبيات Litrature الاستشعار عن بعد يفرق بين الصورة Photograph والمرئية Image. فالصورة مصطلح يطلق على المرئية التي يسجل الإشعاع الكهرومغناطيسي فيها على الفيلم Film مباشرة، أما المرئية التي يسجل الإشعاع الكهرومغناطيسي فيها أولاً على شكل قيم رقمية فلا يطلق عليها صورة ولو كان الفيلم مستخدماً في إنتاجها، وهذا يعني أن كل صورة مرئية، ولكن ليس كل مرئية صورة (Lillesand and Kiefer, 1987). ومرئية الاستشعار عن بعد أصبحت وسيلة مهمة في البحث الجغرافي، وذلك لأنها توفر معلومات حديثة شاملة عن الظواهر الجغرافية. الأمر الذي يمكن الجغرافي من القيام بالعديد من الدراسات في العديد من المجالات التي من أهمها:

- ١- دراسة المناطق النائية.
- ٢- دراسة تطور الظواهر الجغرافية.
- ٣- إنتاج الخرائط الدقيقة.
- ٤- مراقبة الأخطار البيئية.
- ٥- دراسة الموارد الطبيعية.
- ٦- دراسة التغير في استخدام الأرض.

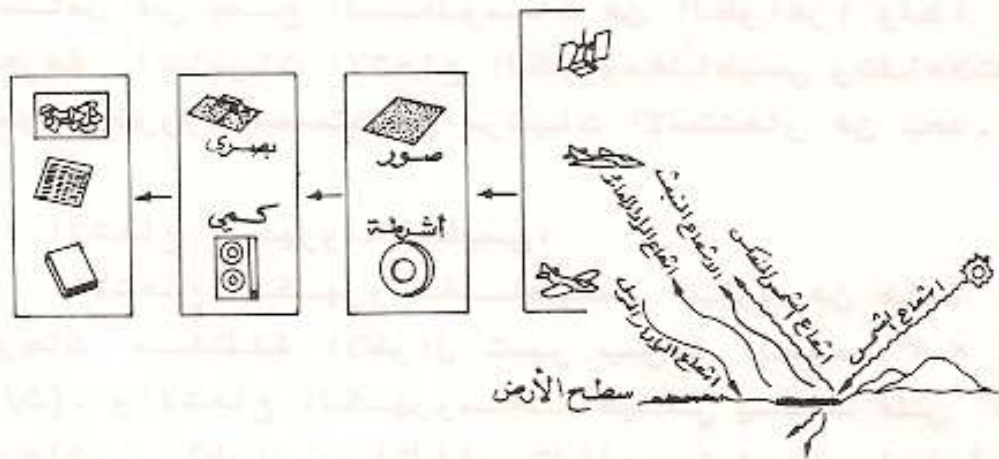
وتتمر بيانات مرئية الاستشعار عن بعد بعمليتين رئيسيتين قبل أن يتم استخدامها (شكل ١). فالعملية الأولى هي عملية جمع البيانات Data Acquisition، تليها عملية تحليل البيانات Data Analysis. وتشتمل هاتان العمليتان على العناصر الرئيسية التالية:

- ١- مصادر الأشعاع الكهرومغناطيسي (الطاقة).
- ٢- تفاعل الأشعاع الكهرومغناطيسي مع الغلاف الجوي.
- ٣- تفاعل الأشعاع الكهرومغناطيسي مع مواد السطح.
- ٤- أجهزة الاستشعار ووسائل حملها.
- ٥- البيانات الناتجة عن أجهزة الاستشعار.
- ٦- أجهزة التحليل.
- ٧- مخرجات أجهزة التحليل (أرقام، صور، خرائط).
- ٨- المستخدم.

وحيث أن التعرف على عناصر نظام الاستشعار عن بعد ضروري لمستخدمي مرثياته فإن الهدف الرئيسي لهذا الكتاب هو مناقشة العناصر الرئيسية في نظام الاستشعار عن بعد، وذلك لإعطاء طالب الجغرافيا خلفية مناسبة عنها، تمكنه من استخدام مرثيات الاستشعار عن بعد. لذا جاءت فصول هذا الكتاب لتدرس العناصر المذكورة آنفا بشيء من التفصيل. فالفصل الأول يدرس الأشعاع الكهرومغناطيسي وتفاعله مع الغلاف الجوي ومواد سطح الأرض. أما الفصل الثاني فيشتمل على معلومات عن أجهزة الاستشعار عن بعد ووسائل حملها. وأما الفصل الثالث فإنه يتضمن أهم الطرق لمعالجة المرثيات الرقمية Digital Images، ويتحدث أيضا عن التفسير البصري لمرثيات الاستشعار عن بعد.

شكل ١ نظام الاستشعار عن بعد

عملية جمع البيانات ← عملية تحليل البيانات



المصدر: Lillesand and Kiefer, 1987.

الفصل الاول

الاشعاع الكهرومغناطيسي وتفاعلاته مع المواد

يعد فهم الطاقة الكهرومغناطيسية المفتاح لتفسير معلومات الاستشعار عن بعد؛ وذلك لأنها هي الأساس في جمع المعلومات عن الظواهر؛ ولذا فان معرفة أساسيات الاشعاع الكهرومغناطيسي وتفاعلاته مع المواد ضروري لمستخدمي مرئيات الاستشعار عن بعد.

١-١ الاشعاع الكهرومغناطيسي:

الاشعاع الكهرومغناطيسي عبارة عن طاقة ذات موجات مختلفة الأطوال تسير بسرعة الضوء (3×10^{10}) سم/ث. والاشعاع الكهرومغناطيسي يحدث على شكل موجات بأطوال مختلفة يتناقص ترددها بزيادة طول الموجه. وتتكون كل موجة من موجاتها من مجال قوة كهربائي (رأسي)، ومجال قوة مغناطيسي (افقي) عموديان بعضهما على بعض (شكل ٢) (Lo, 1986). وتصنف الموجات في الطيف الكهرومغناطيسي حسب أطوالها الى نطاقات ابتداء من الأشعة الكونية Cosmic Rays الى موجات الراديو والتلفزيون (شكل ٣).

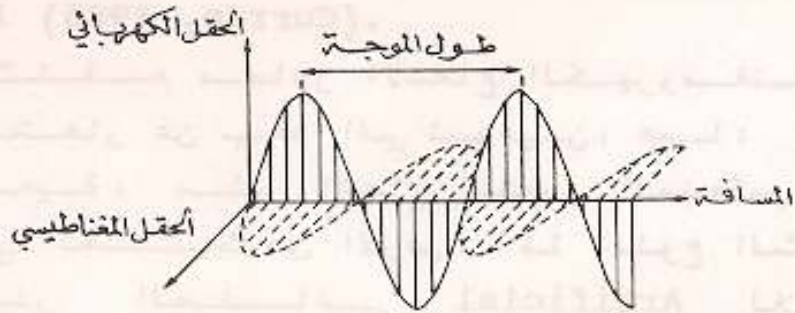
جميع المواد التي تزيد درجة حرارتها على الصفر المطلق Absolute Zero (صفر كلفن Kelvin) ٢٧٣ درجة مئوية تحت الصفر) ينبعث منها اشعاع كهرومغناطيسي، ولكن كمية الاشعاع المنبعث وموجاته تعتمد على حرارة وطبيعة المادة (lillesand and Kiefer, 1987, Drury, 1987). فزيادة درجة حرارة الجسم تزداد كمية الطاقة المنبعثة منه وخصوصا في الموجات القصيرة. فمثلا الطاقة المنبعثة من الأجسام الحارة مثل الشمس (٦٠٠٠ كلفن) تكون عالية بينما تكون منخفضة من الأجسام الباردة مثل الأرض (٣٠٠

كلفن). بالإضافة الى ذلك فان معظم الطاقة المنبعثة من الشمس تكون في الموجات القصيرة على عكس الطاقة المنبعثة من الأرض التي تكون في الموجات الطويلة (Curran, 1985).

تنقسم مصادر الاشعاع الكهرومغناطيسي في الاستشعار عن بعد الى نوعين، هما: المصادر الطبيعية، مثل اشعاع الشمس المنعكس والاشعاع الحراري المنبعث من الأرض. أما النوع الثاني فهو المصدر الصناعي Artificial للاشعاع الكهرومغناطيسي، وهو من عمل الانسان؛ حيث ترسل الاجهزة اشعاعا باتجاه الاجسام لينعكس عنها، ثم يعود ليسجله جهاز الاستشعار (مثل الرادار) (شكل ٤).

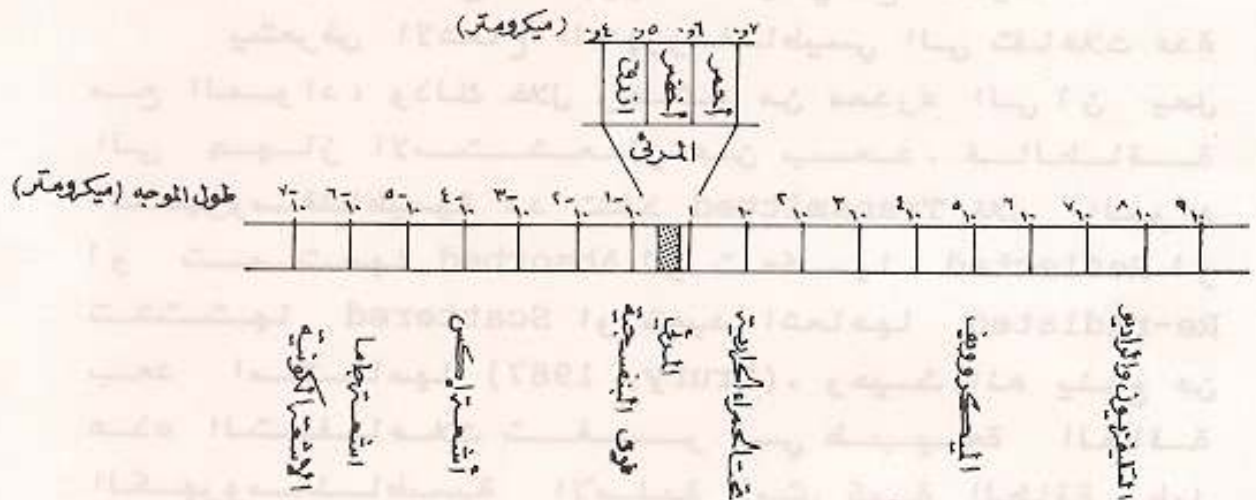
١- ٢ تفاعل الاشعاع الكهرومغناطيسي مع المواد: يتعرض الاشعاع الكهرومغناطيسي الى تفاعلات عدة مع المواد، وذلك خلال رحلته من مصدره الى أن يصل الى جهاز الاستشعار عن بعد. فالطاقة الكهرومغناطيسية قد تنفذ Transmitted خلال المواد او تمتصها Absorbed او تعكسها Reflected او تشتتها Scattered او تعيد اشعاعها Re-radiated بعد امتصاصها (Drury, 1987). وحيث انه ينتج عن هذه التفاعلات تغيير في طبيعة الطاقة الكهرومغناطيسية الاصلية (مثل كمية الطاقة وطول الموجة)، فانه من الضروري التعرف على تفاعلات الاشعاع الكهرومغناطيسي مع الغلاف الجوي، لانه هو الذي يحدد الموجات التي يمكن استخدامها لجمع المعلومات عن الظواهر، وكذلك التعرف على تفاعلاته مع مواد سطح الأرض، لان تفسير معلومات الاستشعار عن بعد يتطلب ذلك.

شكل ٢ موجة الاشعاع الكهرومغناطيسي



المصدر: LO, 1986.

شكل ٣ الطيف الكهرومغناطيسي



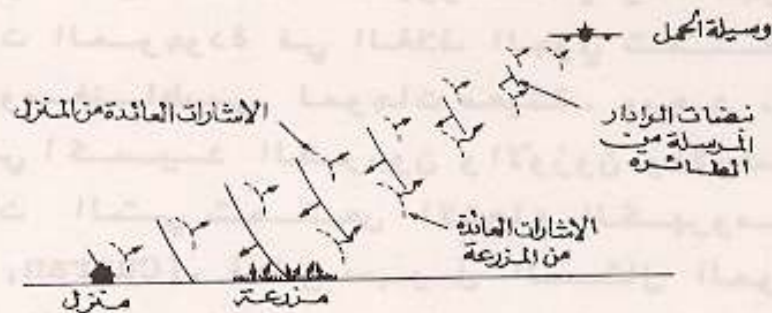
المصدر: Lillesand and Kiefer, 1987.

١-٢-١ تفاعل الاشعاع الكهرومغناطيسي مع مواد الغلاف

الجوي:

يحتوي الغلاف الجوي على غازات كثيرة من أهمها الأوكسجين، والنيتروجين، والأوزون، وثاني أكسيد الكربون. وبالإضافة إلى ذلك يحتوي على جزيئات بخار الماء والغبار والدخان. وتؤثر جزيئات هذه المواد على الاشعاع الكهرومغناطيسي أثناء مروره في الغلاف الجوي، فتؤدي إلى انكساره أو تشتيته أو امتصاصه. وحيث أن عملية الانكسار لا تؤثر بشكل كبير على معلومات الاستشعار عن بعد (Slater, 1980)، فإن الحديث هنا سيقصر على عمليتي التشتت والامتصاص. تختلف درجة تشتت الاشعاع الكهرومغناطيسي تبعاً لاختلاف طول موجاتها؛ حيث أن معدل التشتت يتناقص بزيادة طول موجة الاشعاع؛ ولذا فإنه يؤثر بشكل رئيسي في الأشعة المرئية أو الضوئية (Curran, 1985, Lo, 1986).

شكل ٤ نبضات الرادار المرسل إلى السطح وعودتها إلى جهاز الاستشعار عن بعد



المصدر: Curran, 1985

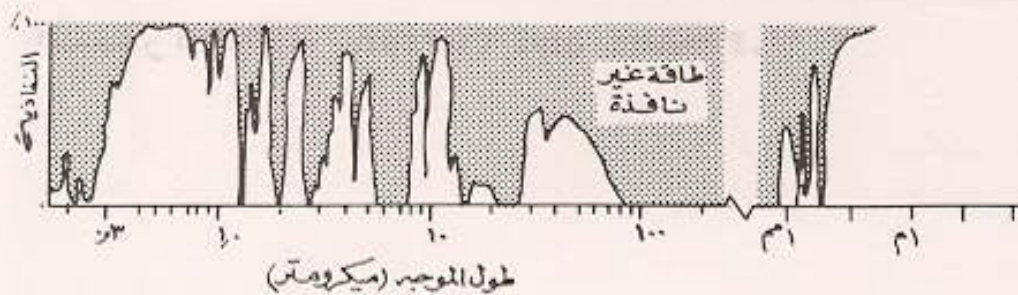
يعد تشتت رايلي Rayleigh Scatter وتشتت مي
Mie Scatter والتشتت غير الانتقائي Non-selective
Scatter أهم أنواع التشتت في الغلاف الجوي. فتشتت
رايلي يحدث إذا كانت أقطار جزيئات المواد أصغر
بكثير من طول موجة الأشعاع، وذلك مثل جزيئات
الأكسجين والنيتروجين. ويزداد تأثير تشتت رايلي في
الموجات القصيرة، وخصوصا الموجات الزرقاء وتحت
البنفسجية؛ وذلك لأنه يتناسب عكسيا مع القوة
الرابعة لطول الموجة $Fourth\ Power\ of\ Wavelength$ ؛
ولذا فإن زرقة السماء ناتجة عن هذا النوع من
التشتت. أما عندما تكون أقطار الجزيئات مساوية
لطول الموجة فإنه يحدث تشتت مي Mie Scatter،
وخصوصا عندما تكثر جزيئات الماء والغبار في الغلاف
الجوي (Lillesand and Kiefer, 1987). وهذا النوع
من التشتت يؤثر بشكل واضح على الموجات التي تكون
أطول من الزرقاء. أما النوع الثالث من أنواع
التشتت فإنه يحدث إذا كانت أقطار الجزيئات أطول
بكثير من طول الموجة وذلك مثل قطرات الماء
الموجودة في السحب أو الضباب.

أما عملية الامتصاص فإنها تؤدي إلى فقدان جزء
كبير من الطاقة الكهرومغناطيسية. فجزيئات بعض
الغازات الموجودة في الغلاف الجوي تمتص الأشعاع
الكهرومغناطيسي لموجات معينة. ويعد بخار الماء
وثنائي أكسيد الكربون والأوزون والأكسجين أهم
الغازات التي تمتص الأشعاع الكهرومغناطيسي
(Curran, 1985). فعلى سبيل المثال الموجات التي
طولها الموجي أقل من 3. ميكرومتر (الأشعة تحت
البنفسجية) تمتصها طبقة الأوزون الموجودة في
الطبقات العليا من الغلاف الجوي، وكذلك الموجات
التي تقل عن 3 ملليمتر تمتصها وتشتتها جزيئات
الماء في السحب (Lo, 1986).

ونتيجة لهذه التفاعلات فان جزءا من الطيف الكهرومغناطيسي لا يمكن استخدامه في الاستشعار عن بعد؛ وذلك لان الاشعاع لا يستطيع ان ينفذ من خلال الغلاف الجوي (شكل ٥). والنطاقات التي تسمح بانتقال الاشعة يطلق عليها نوافذ الغلاف الجوي Atmospheric Windows، وهي التي يمكن استخدامها لجمع المعلومات عن الظواهر بواسطة أجهزة الاستشعار عن بعد.

فمن الشكل السابق يتبين ان موجات الأشعة المرئية وموجات الأشعة تحت الحمراء وموجات أشعة الميكرويف هي افضل الموجات لجمع المعلومات (جدول ١). فعلى سبيل المثال تستخدم النافذة الواقعة بين ٠,٤ ميكرومتر و ٠,٩ ميكرومتر للتصوير المعتمد على الاشعاع الشمسي المنعكس، وتستخدم النافذة الواقعة بين ٨ ميكرومتر و ١٢,٤ ميكرومتر في التصوير الحراري (المعتمد على الأشعة تحت الحمراء الحرارية المنبعثة من مواد السطح).

شكل ٥ نوافذ الغلاف الجوي الممكن استخدامها في الاستشعار عن بعد



المصدر: Lillesand and Kiefer, 1987.

جدول ١ نوافذ الغلاف الجوي الرئيسية

البنفسجية والمرئية	٠,٣٠ - ٠,٧٥ ميكرومتر
	٠,٧٧ - ٠,٩١ ميكرومتر
تحت الحمراء القريبة	١,٠٠ - ١,١٢ ميكرومتر
	١,١٩ - ١,٣٤ ميكرومتر
	١,٥٥ - ١,٧٥ ميكرومتر
	٢,٠٥ - ٢,٤٠ ميكرومتر
تحت الحمراء المتوسطة	٣,٥٠ - ٤,١٦ ميكرومتر
	٤,٥٠ - ٥,٠٠ ميكرومتر
تحت الحمراء الحرارية	٨,٠٠ - ٩,٢٠ ميكرومتر
	١٠,٢٠ - ١٢,٤٠ ميكرومتر
	١٧,٠٠ - ٢٢,٠٠ ميكرومتر
الميكرويف	٢,٠٦ - ٢,٢٢ ملليمتر
	٣,٠٠ - ٣,٧٥ ملليمتر
	٧,٥٠ - ١١,٥٠ ملليمتر
	٢٠,٠٠ + ملليمتر

المصدر: Fraser and Curran, 1976.

١-٢-٢ تفاعل الاشعاع الكهرومغناطيسي مع مواد سطح الأرض في الموجات المرئية وتحت الحمراء القريبة والوسطى:

يحدث تغيير في طبيعة الاشعاع الكهرومغناطيسي بعد ما يصل الى سطح الأرض، وذلك نتيجة لتفاعله مع مواد السطح (Lo, 1986). فمواد السطح تعكس جزءا من الاشعاع وتمتص جزءا، والباقي ينفذ من خلالها. ونسبة الاشعاع المنعكس أو الممتص أو المنفذ تعتمد على طبيعة المواد المكونة للظواهر الأرضية، وكذلك طول موجة الاشعاع (جدول ٢).

واتجاهات الأشعة المنعكسة تعتمد على العلاقة بين خشونة السطح Surface Roughness وطول الموجة Wavelength. فاذا كانت فروق الارتفاع على السطح أقل من طول الموجة الساقطة عليه فان الاشعاع ينعكس بزواوية مساوية لزواوية الاشعاع الساقط والمثال على ذلك الاشعاع المنعكس من المرآة. وهذا النوع من الانعكاس يسمى الانعكاس البراق Specular Reflection. أما اذا كانت فروق الارتفاع على السطح أكبر من طول الموجة الساقطة عليه فان الاشعاع ينعكس بشكل متساو في جميع الاتجاهات، ويسمى الانعكاس الانتشاري Diffuse Reflection (شكل ٦). واتجاهات الأشعة المنعكسة عن معظم الظواهر على سطح الكرة الأرضية تقع بين الانعكاس البراق المثالي والانعكاس الانتشاري المثالي (Lillesand and Kiefer, 1987).

جدول ٢ معامل الانعكاس (%) لبعض المواد في نطاقات الماسح متعدد الاطياف

نطاق ٤ ١,١-٠,٨ ميكرومتر	نطاق ٣ ٠,٨-٠,٧ ميكرومتر	نطاق ٢ ٠,٧-٠,٦ ميكرومتر	نطاق ١ ٠,٦-٠,٥ ميكرومتر	
٦,٧١	٣,٤٦	٤,٣٢	٥,١٩	رمل
١٤,٠١	٦,١٠	٦,٧٩	٦,٧٠	لوم
٧,٥٧	٣,٣٨	٤,٠٢	٤,٢١	لوم
١١,٠٠	١٢,٢٠	١٦,١٠	١٨,٣٠	جليد Ice
٩,٢٠	١٠,٩٠	١٥,٠٠	١٩,١٠	ثلج Snow
غير متوفر	١,٥٨	٢,٣٩	٣,٢٧	ارض مزروعة
غير متوفر	١١,٩٩	١٤,٤٠	١٤,٣٤	طين
١٠,٧٠	٥,٣٧	٦,٥٤	٧,٠٢	نايس Gneiss
٨,٩٥	٣,٥٦	٢,٢٧	٣,٤٤	قمح (سماد منخفض)
٩,٢٩	٣,٦٧	٢,٥٨	٣,٦٩	قمح (سماد عالي)
١,٨٩	١,٢٠	٢,٢٤	٣,٧٥	ماء
٩,٢٩	٤,٤٧	٤,٠٧	٣,٩٦	شعير

المصدر: Barrett and Curtis, 1982.

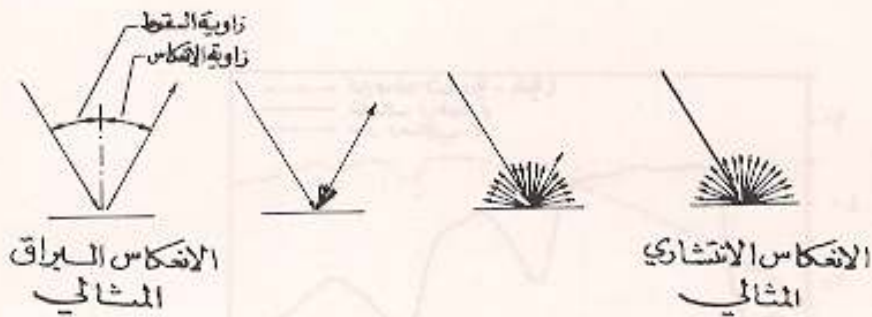
يطلق على نسبة الأشعة المنعكسة من على السطح
معامل الانعكاس Reflection Coefficient، أو
الالبيدو Albedo التي يعبر عنها رياضياً بالمعادلة
التالية :

معامل الانعكاس لموجة معينة (%) = $\frac{I_{\text{reflected}}}{I_{\text{incident}}}$ (بمقياساً)
الطاقة المنعكسة لموجة معينة

$$100 \times \frac{\text{الطاقة الساقطة لموجة معينة}}{\text{الطاقة الساقطة لموجة معينة}}$$

حيث أن نسبة الأشعاع المنعكس تعتمد على طبيعة
مواد السطح، وعلى طول موجة الأشعاع فإنها تختلف
باختلاف الظواهر. وهذا الاختلاف في نسبة الأشعاع
المنعكس يمكن من التمييز بين الظواهر
المختلفة (شكل ٧).

شكل ٦ الانعكاس البراق والانعكاس الانتشاري

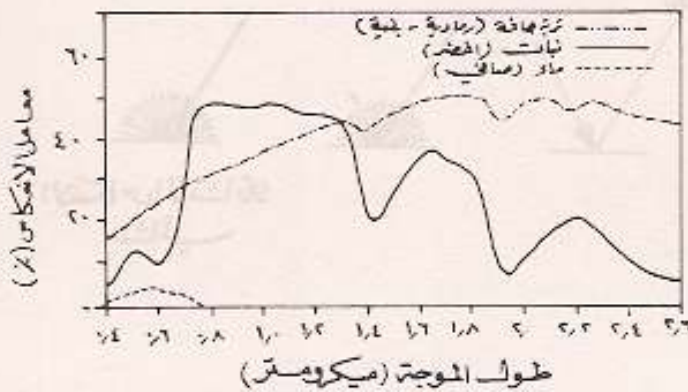


المصدر: Lillesand and Kiefer, 1987.

١-٢-٢-١ انعكاس الاشعاع الكهرومغناطيسي من النباتات:

من الشكل السابق يتضح أن معامل انعكاس الاشعاع من النباتات يختلف باختلاف طول الموجة . فهو ينخفض في الطيف المرئي؛ وذلك لأن الكلوروفيل (البيخضور) Chlorophyll يمتص معظم اشعاع الموجات الزرقاء والحمراء؛ ليساعد النباتات على عملية التمثيل الضوئي Photosynthesis ونتيجة لذلك تأخذ الأوراق اللون الأخضر. وعندما ينخفض إنتاج الكلوروفيل في النباتات بسبب الأمراض، على سبيل المثال، يزداد انعكاس الاشعاع في الموجات الزرقاء والحمراء، ولذا فان معلومات الاستشعار عن بعد تمكن من تحديد المناطق المصابة بالامراض في الحقول الزراعية (Curran, 1985, Lillesand and Kiefer, 1987).

شكل ٧ منحنيات معامل الانعكاس للنبات والتربة والماء



المصدر: Lillesand and Kiefer, 1987.

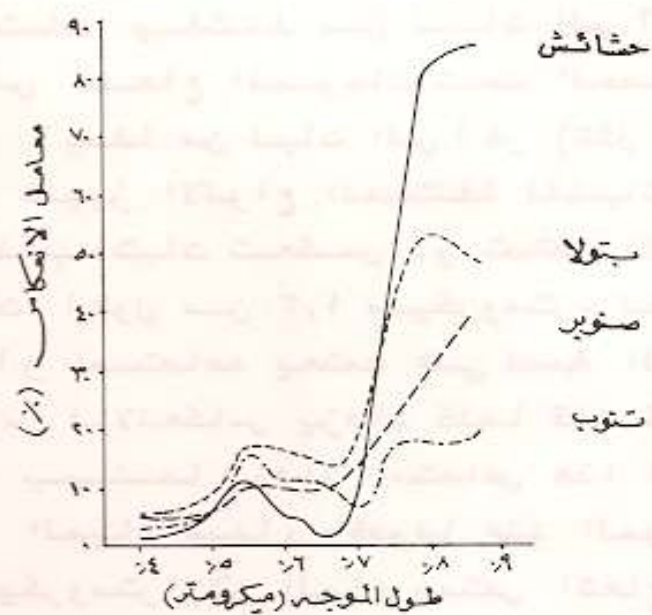
وحيث ان انتاج الكلوروفيل يتأثر عندما تصل درجة الحرارة الى حد معين، لذا فان النباتات تعكس جزءا كبيرا من اشعاع الموجات تحت الحمراء القريبة Near-infrared Radiations بواسطة خلايا الورقة؛ وذلك لتتفادي التأثير الحراري على انتاج الكلوروفيل. فالنباتات تعكس حوالي ٥٠% من اشعاع الموجات تحت الحمراء القريبة الواقعة بين ٠,٧ و ١,٣ ميكرومتر والباقي من هذا الاشعاع ينفذ من خلال الأوراق (Drury, 1987). ونظرا لان تركيب خلايا أوراق النباتات يختلف من نبات الى آخر، فان معامل انعكاس اشعاع الموجات تحت الحمراء القريبة يختلف ايضا من نبات الى آخر (شكل ٨). الامر الذي يمكن من تمييز الانواع المختلفة للنباتات.

النباتات تعكس او تمتص الاشعاع الساقط بموجات اطول من ١,٣ ميكرومتر. لكن انعكاس هذا الاشعاع او امتصاصه يعتمد على نسبة المياه في خلايا الورقة. فالانعكاس يزداد كلما قلت كمية المياه في الورقة بينما يزداد امتصاص هذا الاشعاع بزيادة كمية المياه فيها، وخصوصا عند الموجات ١,٤ و ١,٩ و ٢,٧ ميكرومتر؛ لأن الماء يمتص اشعاع هذه الموجات بشكل قوي (Lillesand and Kiefer, 1987).

يختلف معامل انعكاس الاشعاع من النباتات النفضية من وقت الى آخر. فعند اكتمال نمو الورقة يكون معامل انعكاس اشعاع الموجات الحمراء والزرقاء منخفضا، أما اذا اكملت الورقة دورة حياتها فانه يبدأ انتاج الكلوروفيل بالانخفاض؛ ولذا يزداد معامل انعكاس اشعاع الموجات المرئية مؤديا الى تغيير لونها تدريجيا من الأخضر الى الأصفر، ثم الى الأحمر، وكذلك ينخفض انعكاس اشعاع الموجات تحت الحمراء القريبة بسبب انكماش وجفاف خلايا

الورقة. إلا أنه بظهور أوراق جديدة يبدأ معامل انعكاس اشعاع الموجات تحت الحمراء في الزيادة حتى يبلغ أوجه في نهاية موسم النمو (Drury, 1987).

شكل ٨ منحنيات معامل الانعكاس لبعض النباتات



المصدر: Drury, 1987.

١-٢-٢-٢ انعكاس الاشعاع الكهرومغناطيسي من الصخور:

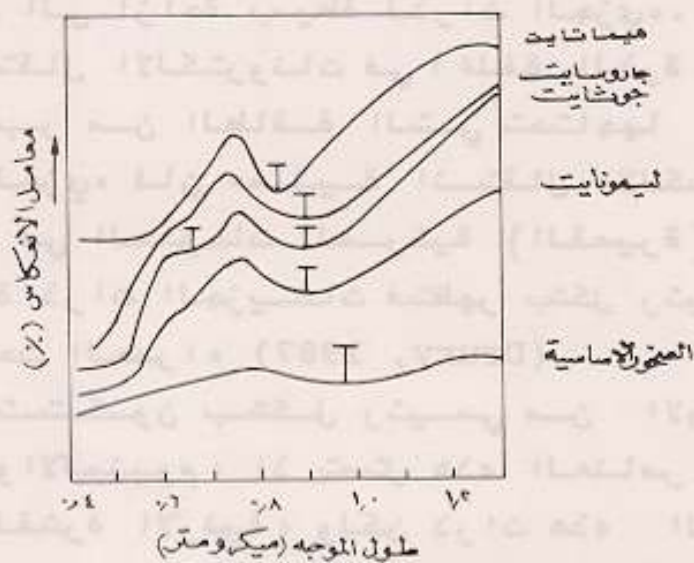
لفهم تفاعل الاشعاع الكهرومغناطيسي مع الصخور لابد من التعرف على التفاعل على مستوى الذرة والجزء للمعادن المكونة لها. فالذرة تتكون من نواة يدور حولها الكترونات في اغلفة (مدارات) Shells حسب مستويات طاقتها التي يزداد مقدارها من الداخل الى الخارج. و عندما تكتسب الكترونات الذرة طاقة من مصدر ما فانها تنتقل من حالة الى اخرى ذات طاقة اكبر. وانتقال Transition الذرة من مستوى الى آخر (من حالة الى اخرى) يتم بعملية دورانية Rotational Process او بعملية الكترونية Electronic process او بعملية تذبذبية Vibrational Process. وحيث ان العملية الدورانية لا يمكن ان تحدث في المواد الصلبة، فان العملية الالكترونية والعملية التذبذبية هما المسئولتان عن تغير طاقة ذرات المعادن (Hunt, 1980).

وعملية الانتقال الالكتروني تؤدي الى تحول الالكترونات من غلاف الى آخر، اما عملية الانتقال التذبذبي فتؤدي الى ازاحة بسيطة لذرات الجزيء. وحيث ان عملية انتقال الالكترونات في اغلفة الذرة يحتاج الى طاقة اكبر من الطاقة التي تحتاجها عملية ازاحة ذرات الجزيء فان عملية انتقال الالكترونات هي المسيطرة في الموجات المرئية (القصيرة) اما عملية ازاحة ذرات الجزيئات فتظهر بشكل رئيسي في موجات الأشعة تحت الحمراء (Drury, 1987).

والصخور تتكون بشكل رئيسي من الاوكسجين والسيليكون والالمنيوم، اذ تمثل هذه العناصر حوالي ٨٢٪ من وزن القشرة الأرضية، ولكن ذرات هذه العناصر الثلاثة لها مستويات طاقة لا يؤثر بشكل كبير اشعاع الموجات المرئية وتحت الحمراء على عملية الانتقال

الالكتروني بينها. ولذا فان طيف المعادن يسيطر عليه تأثير العناصر التي يقل شيوعها وخصوصا الحديد؛ لانه اوفرها (Hunt, 1980, Drury, 1987). فعملية الانتقال الالكتروني تحدث بوضوح في المعادن التي تحتوي على عنصر الحديد مما يؤدي الى خفض معامل الانعكاس عند موجات معينة، وذلك حسب تناسق (ترتيب) Coordination أيونات الحديدوز في المعدن (شكل ٩). كما يحدث نوع آخر من الانتقال الالكتروني في الموجات القصيرة يسمى انتقال الشحنة Charge Transfer، وذلك مثل انتقال الالكترونات من أيونات الحديد الى أيونات الاوكسجين في المعادن التي تحتوي على هذين العنصرين في الموجات التي تقل عن ٠,٥٥ ميكرومتر؛ ولذا ينخفض انعكاس الأشعة الزرقاء مما يجعل أكاسيد الحديد تأخذ اللون البرتقالي أو الأصفر أو الأحمر.

شكل ٩ تأثير عنصر الحديد على معامل الانعكاس لبعض المعادن التي يدخل في تركيبها
 (T تمثل مناطق امتصاص الاشعاع)*

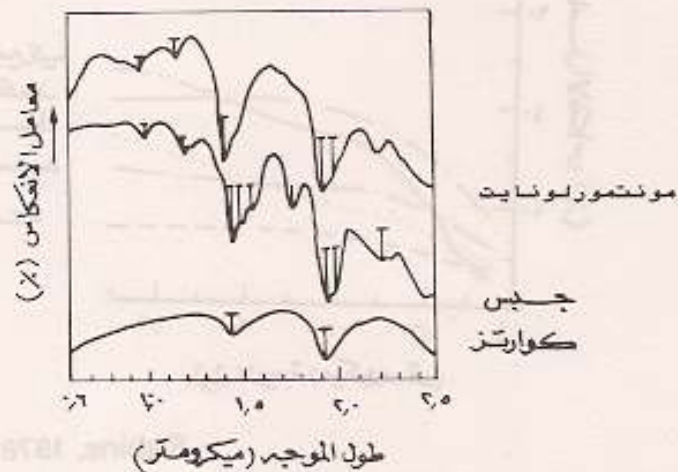


* الاطلاق فرقت أسيا بحرف الرضوح.

أما عملية إزاحة ذرات الجزيئات فتنشط في نطاق اشعاع الموجات تحت الحمراء عندما يتوفر أيون الهيدروكسيل (OH^-) أو جزيئات الماء (H_2O) في المعدن، وذلك لأنها تؤدي إلى امتصاص الطاقة لموجات معينة، وخصوصاً عند ١,٤ و ١,٩ ميكرومتر. وحيث أن بعض معادن السيليكات والكبريتات -مثل الكوارتز والجبس على التوالي- تحتوي على الماء فإنه ينخفض معامل الانعكاس منها عند هذه الموجات (شكل ١٠). كما تحدث أيضاً عملية إزاحة ذرات الجزيئات في معادن الكربونات عندما تمتص الطاقة وخصوصاً عند الموجات ٢,٣٥ و ٢,٥ ميكرومتر، وبذلك ينخفض معامل الانعكاس منها عند هذه الموجات (شكل ١١).

وحيث أن الصخور تتكون من معدن أو أكثر فإن أطياف الصخور تكون مركبة من أطياف المعادن المكونة لها (شكل ١٢).

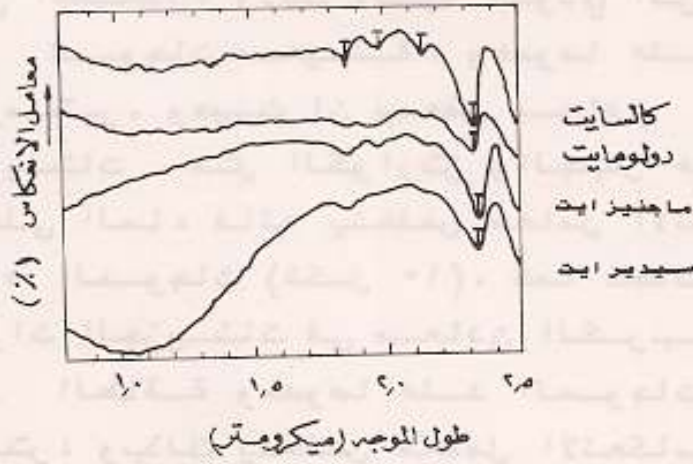
شكل ١٠ تأثير الماء على طيف بعض المعادن التي يدخل في تركيبها (T تمثل مناطق امتصاص الأشعاع)*



* الأطياف فوق رأسياً بهدف الوضوح.

المصدر: Drury, 1987.

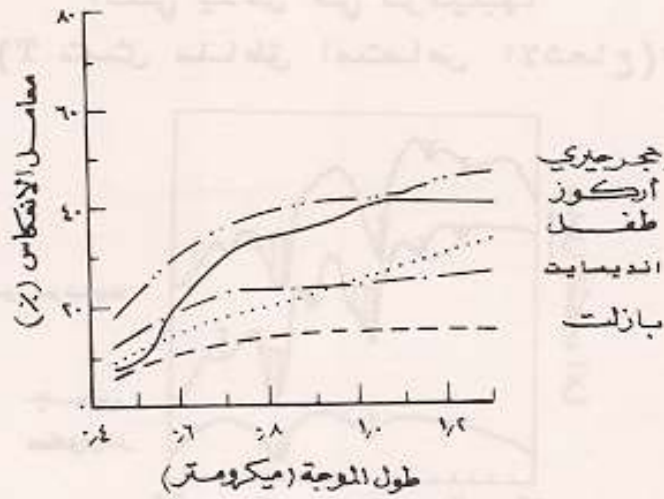
شكل ١١ اطياف بعض معادن الكربونات (T تمثل مناطق امتصاص الاشعاع)*



* الاطياف فرقت رأسياً بهدف الوضوح.

المصدر: Drury, 1987.

شكل ١٢ معامل الانعكاس لبعض الصخور



المصدر: Sabins, 1978.

١-٢-٣-٣ انعكاس الاشعاع الكهرومغناطيسي من التربة :

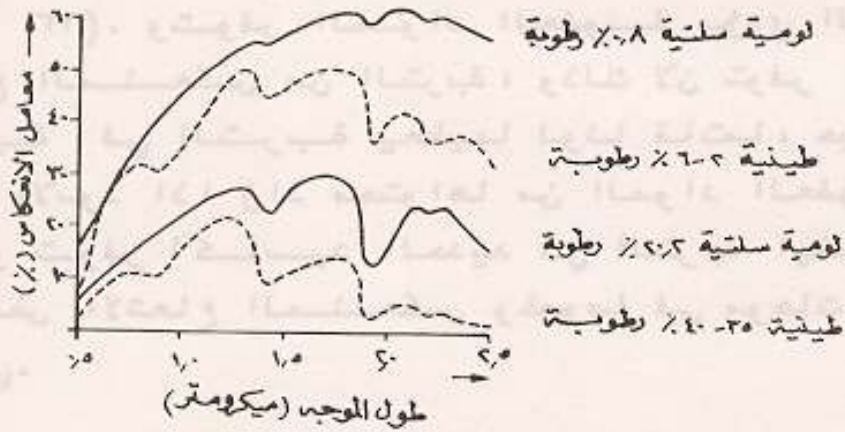
طيف التربة مركب من أطيف المعادن التي تتكون منها والماء والمواد العضوية التي تحتويها، ولكن طيف التربة يحكمه بشكل رئيسي طيف الماء والمواد العضوية، فهما المسيطران عند استشعار التربة (Hunt, 1980). فمعظم الاشعاع الساقط على التربة تعكسه او تمتصه، وبشكل عام يزداد انعكاسه بازدياد طول الموجة. ويختلف معامل الانعكاس من تربة الى اخرى حسب قوامها ومحتواها من كل من الماء والمواد العضوية واكاسيد الحديد (Curran, 1985). فتوفر المياه في التربة يقلل من انعكاس الاشعاع من التربة، ولذا فان انعكاس الاشعاع من التربة ينخفض بنعومة التربة؛ وذلك لأن التربة الناعمة قادرة على احتواء كميات أكبر من المياه. وهذا يعني أن الاشعاع المنعكس من التربة الطموية أكبر من الاشعاع المنعكس من التربة الطينية (شكل ١٣). وتوفر المواد العضوية يؤدي الى خفض الاشعاع المنعكس من التربة، وذلك لأن توفر المواد العضوية في التربة يعطيها لونا قاتما، حيث تأخذ اللون الاسود اذا زاد محتواها من المواد العضوية عن ٥%. و توفر اكاسيد الحديد في التربة ايضا يؤدي الى خفض الاشعاع المنعكس وخصوصا في موجات الطيف المرئي.

١-٢-٣-٤ انعكاس الاشعاع الكهرومغناطيسي من المياه :

معظم الاشعاع الساقط على المياه تمتصه المياه او تنفذه، وقليل منه تعكسه. فالمياه تمتص معظم اشعاع الموجات تحت الحمراء، مما جعل التباين بينه وبين مواد السطح الاخرى كبيرا جدا في المرئيات

الماخوذة في نطاق اشعاع الموجات تحت الحمراء القريبة (Drury, 1987). أما الاشعاع في الموجات المرئية فمعظمه ينفذ خلال الماء وينعكس حوالي 5% منه (Curran, 1985). والانعكاس من المسطحات المائية يتأثر بعدة عوامل، أهمها عمق المسطح المائي والمواد التي يحتويها. فالاشعاع الذي ينعكس من المسطحات المائية الضحلة بعضه منعكس من مواد القاع، ولذا فإنه يمكن تقدير العمق في المياه الصافية التي يقل عمقها عن ٤٠ مترا (Drury, 1987). كذلك توفر المواد العالقة والكلوروفيل في الماء يؤثر على طبيعة الاشعاع المنعكس. فالمياه التي تحتوي على كميات كبيرة من الرواسب العالقة تعكس اشعاع الموجات المرئية أكثر من المياه الصافية، ولذا

شكل ١٣ معامل الانعكاس من بعض انواع التربة



المصدر: Curran, 1985.

فانه يمكن أيضا تقدير كمية المواد العالقة من تحليل بيانات الاستشعار عن بعد. أما إذا توفر الكلوروفيل بكميات كبيرة فانه يؤدي الى خفض انعكاس اشعاع الموجات الزرقاء والحمراء وزيادة انعكاس الأشعة الخضراء، وهذا أيضا يمكن من معرفة تركيز النباتات.

٣-٢-١ انبعاث الاشعاع الكهرومغناطيسي من مواد سطح الارض في الموجات تحت الحمراء الحرارية: جميع مواد السطح تشع طاقة في الموجات تحت الحمراء الحرارية سواء في النهار او الليل. وهذا يمكن من جمع المعلومات عن الظواهر ولو في الليل. فالحرارة الفعلية للأجسام (التي تقاس بالترمومتر) تسمى بالحرارة الحركية Kinetic Temperature أما الحرارة الخارجة من الأجسام فتسمى الحرارة الاشعاعية Radiant Temperature، وهي التي يمكن قياسها بأجهزة الاستشعار عن بعد (Lillesand and Kiefer, 1987). ودائما تكون الحرارة الاشعاعية للمواد على سطح الارض أقل من حرارتها الحركية؛ وذلك بسبب قدرة الانبعاث Emissivity للمواد (جدول ٣).

ويستخدم نموذج الجسم الأسود Black Body مرجعا للتعرف على قدرة الانبعاث للأجسام. فالأجسام القادرة على امتصاص كل الطاقة الساقطة عليها وتبعث Emits أعلى كمية من الطاقة في جميع الموجات تسمى الجسم الأسود (Lo, 1986). وحيث ان الأجسام في الطبيعة لاتماثل الجسم الأسود (شكل ١٤)، فان الطاقة المنبعثة من المواد مقارنة بالطاقة المنبعثة من الجسم الأسود الذي له نفس درجة الحرارة تسمى قدرة الانبعاث Emissivity والتي تحسب بالمعادلة التالية:

قدرة الانبعاث لموجة معينة =
الطاقة المنبعثة من جسم عند درجة حرارة معينة

الطاقة المنبعثة من جسم أسود عند نفس درجة الحرارة

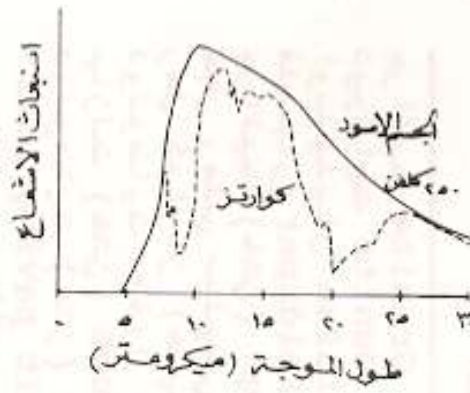
وتتراوح قيم قدرة الانبعاث ما بين صفر الى ١،
والجدول رقم ٤ يبين قيم قدرة الانبعاث للموجات من
٨ الى ١٢ ميكرومتر لبعض المواد.
تختلف كمية الحرارة الاشعاعية للمواد خلال
اليوم الواحد حيث ترتفع بشكل عام مع طلوع الشمس،
وتبلغ ذروتها بين الساعة الواحدة والثالثة ظهرا،
ثم تبدأ في الانخفاض الى أن تصل الى معدل ثابت
بعد منتصف الليل (شكل ١٥).

جدول ٣ الحرارة الحركية والحرارة الاشعاعية
للنباتات والتربة الرطبة والجافة مقارنة
بالجسم الأسود

المادة	قدرة الانبعاث	الحرارة الحركية (كلفن)	الحرارة الاشعاعية (كلفن)
الجسم الأسود	١,٠٠	٣٠٠	٣٠٠
النباتات	٠,٩٨	٣٠٠	٢٩٨,٥
التربة الرطبة	٠,٩٦	٣٠٠	٢٩٧
التربة الجافة	٠,٩٢	٣٠٠	٢٩٣,٨

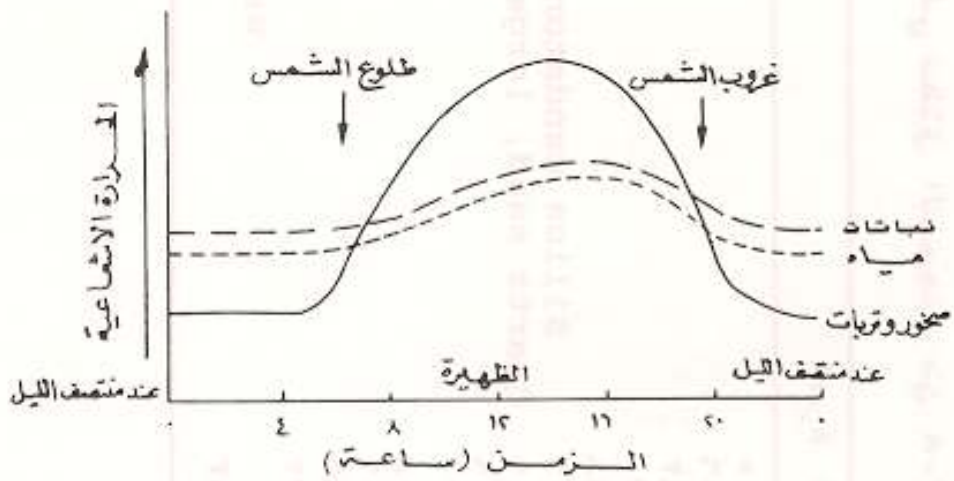
المصدر: Lillesand and Kiefer, 1987.

شكل ١٤ انبعاث الاشعاع من معدن الكوارتز



المصدر: Barrett and Curtis, 1982.

شكل ١٥ الحرارة الاشعاعية اليومية لبعض المواد



المصدر: Sabins, 1978.

جدول ٤ قدرة الانبعاث لبعض المواد في نطاق الموجات من ٨-١٢ ميكرومتر

قدرة الانبعاث	المادة
٠,٨١٥	جرانيت Granite
٠,٨٥٦	ديونائيت Dunite
٠,٨٦٢	اوبسيديان Obsidian
٠,٨٧٠	فلسبار Feldspar
٠,٨٩٨	جرانيت (خشن) Granite, rough
٠,٩٠٩	حجر رملي صلب مصقول Silica sandstone, polished
٠,٩١٤	رمل كوارتز (حبيبات كبيرة) Quartz sand, large grains
٠,٩٢٩	دولومايت مصقول Dolomite, polished
٠,٩٣٤	بازلت (خشن) Basalt, rough
٠,٩٥٨	دولومايت (خشن) Dolomite, rough
٠,٩٥٩	اسفلت Asphalt paving
٠,٩٦٦	خرسانة Concrete walkway
٠,٩٧٢	ماء عليية طبقة خفيفة من البترول Water, with thin film of petroleum
٠,٩٩٣	ماء نقي Water, pure

المصدر : Sabins, 1978 .

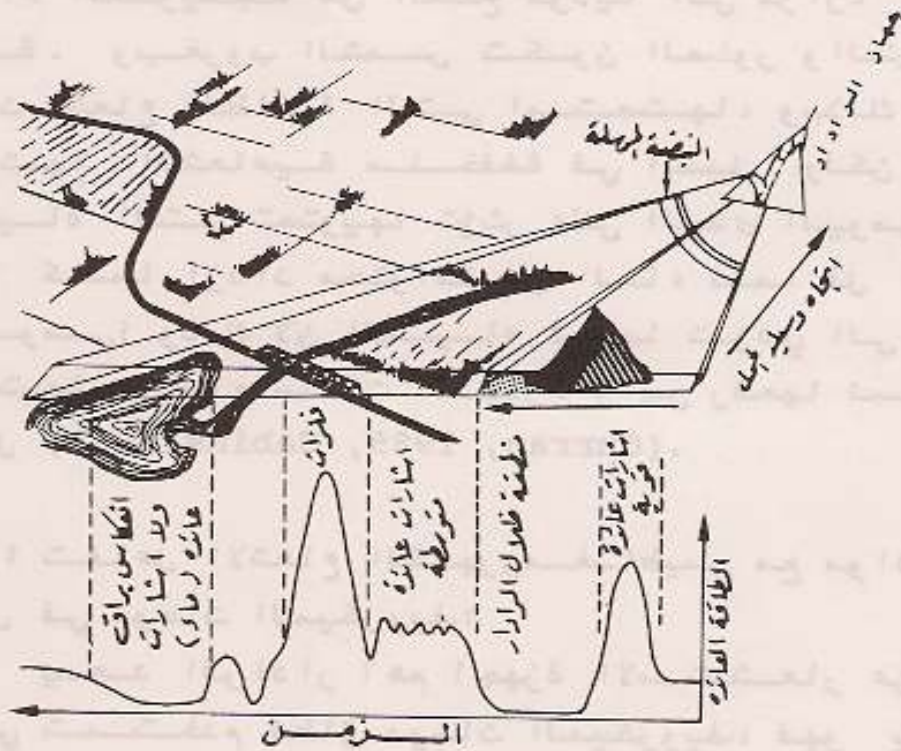
يتضح من الشكل السابق أن المدى اليومي للحرارة الاشعاعية من النباتات قليل، وذلك بسبب عملية النتح، ففقدان المياه عن طريق عملية النتح يعمل على خفض درجة حرارة النباتات اثناء ساعات النهار. كذلك المياه تتصف بانخفاض الفارق اليومي لحرارتها الاشعاعية؛ وذلك بسبب تيارات الحمل. أما الفارق اليومي للحرارة الاشعاعية من الصخور والترربة فهو كبير، حيث تكون عالية في النهار، ومنخفضة في الليل، وذلك لانه غير جيدة التوصيل للحرارة اذ تتركز الحرارة من الاشعاع الشمسي في الاجزاء القريبة من السطح مؤدية الى حرارة سطحية عالية. وبغروب الشمس تكون الصخور والترربة قد اعادت اشعاع الطاقة التي امتصتها، وبذلك تكون حرارتها الاشعاعية منخفضة في الليل، ولكن كميات المياه التي تحتويها تؤثر على المدى اليومي؛ اذ انه كلما ازداد محتواها من الماء كلما قل الفارق اليومي؛ وذلك لان المياه فيها تؤدي الى خفض حرارتها اثناء ساعات النهار، والى رفعها نسبيا في الليل (Curran, 1985, Sabins, 1987).

١-٢-٤ تفاعل الاشعاع الكهرومغناطيسي مع مواد سطح الأرض في موجات الميكرويف:

يعد الرادار أهم أجهزة الاستشعار عن بعد التي تستخدم نطاق موجات الميكرويف، فهو يستخدم لجمع المعلومات عن الظواهر الأرضية في مختلف الاوقات حتى في الظروف الغائمة، وذلك لانه يصدر نبضات من الطاقة الكهرومغناطيسية *Pulses of Electromagnetic Energy* في موجات الميكرويف باتجاه الأرض، ثم يسجل الزمن الذي تستغرقه للوصول الى الهدف *Target* وكمية الطاقة العائدة اليه. ويحكم درجة اللون *Tone* في مرئية الرادار كمية

الطاقة العائدة اليه، اذ انه كلما انخفضت كمية الطاقة العائدة كلما كان لون المرئية قاتما dark والعكس صحيح. والطاقة العائدة الى جهاز الرادار تتأثر بشكل رئيسي بالخصائص الكهربائية للسطح Electrical Properties Of The Surface وبخشونة السطح Surface Roughness وطول الموجة وزاوية الانخفاض، وكذلك طبوغرافية السطح (شكل ١٦).

شكل ١٦ اختلاف الطاقة العائدة الى جهاز الرادار باختلاف مكونات السطح

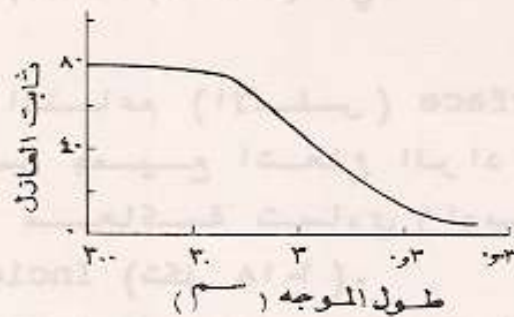


المصدر: Sabins, 1978.

١-٤-٢-١ تأثير الخصائص الكهربائية للسطح:

تقاس الخصائص الكهربائية للمادة بما يسمى ثابت العازل المركب Complex Dielectric Constant الذي يؤثر في كمية الطاقة الكهرومغناطيسية المنعكسة. وقيمة ثابت العازل المركب في المواد مرتبطة بتوفر الشحنات الكهربائية الحرة Free Electrical Charges (Curran, 1985). فإذا كانت قيمة ثابت العازل للمادة كبيرة فإن المادة تعكس كمية كبيرة من الأشعة الكهرومغناطيسية المرسلية من الرادار، وتمتص قليلا منها مثل المياه والمعادن الفلزية (Lillesand and Kiefer, 1987). فالمياه مثلا تعكس معظم الأشعة الساقطة من الرادار؛ وذلك لأن قيمة ثابت العازل فيها يصل الى ٨٠ في النطاق، ولكنه يتناقص بقصر الموجة (شكل ١٧) أما إذا انخفضت قيمة ثابت العازل للمادة فإنها تمتص كمية كبيرة من الطاقة مؤدية الى تغلغلها الى ماتحت السطح. والمواد الطبيعية الجافة يتراوح ثابت العازل فيها ما بين ٣ الى ٨، ولذلك تسمح بتغلغل طاقة الرادار في نطاق L الى أعماق تصل الى ٦ أمتار (MacDonald, 1980, Drury, 1987).

شكل ١٧ اختلاف قيمة ثابت العازل في المياه باختلاف طول الموجة



المصدر: Drury, 1987.

وحيث ان قيمة ثابت العازل تزداد مع طول الموجة فان اشعة الرادار تتغلغل اكثر بتناقص طول الموجة، ولكن كميات المياه في المواد تؤثر على قيمة ثابت العازل؛ وذلك لأن المياه تعكس معظم اشعة الرادار الساقطة، فقيمة ثابت العازل تزداد في الصخور والتربات بزيادة محتواها من الماء. وكذلك النباتات تعكس اشعة الرادار، وذلك لاحتوائها على كميات كبيرة من الماء. ونظرا لصعوبة قياس ثابت العازل في المواد الطبيعية فان خشونة السطح وطبوغرافية السطح ونسبة الرطوبة هي اهم خصائص السطح التي تراعى عند تفسير مرئية الرادار (1985 Sabins, 1978, Curran).

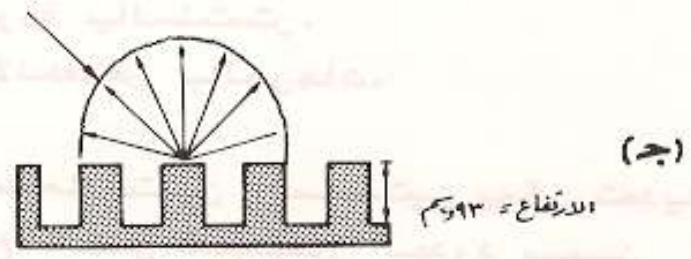
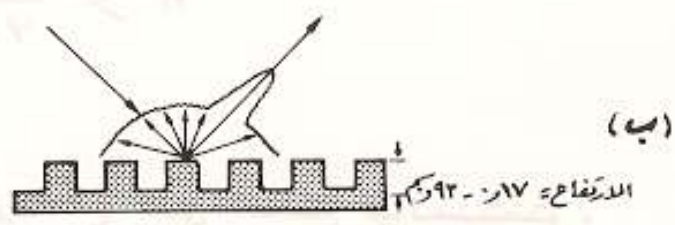
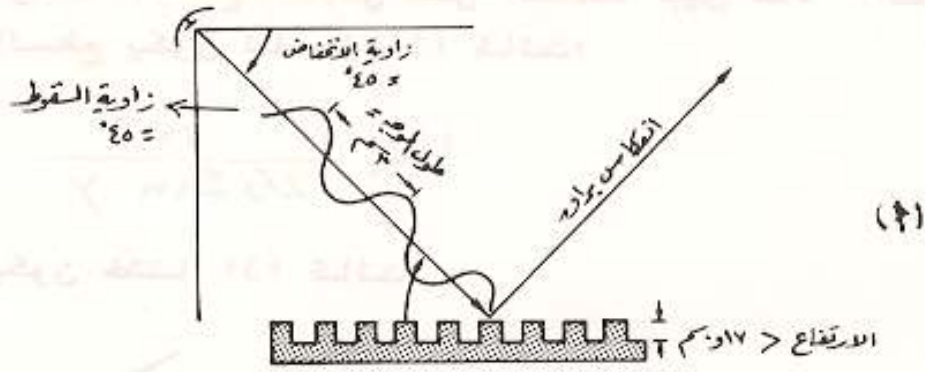
٢-٤-٢-١ تأثير خشونة السطح وطول الموجة وزاوية الانخفاض:

نظرا لان هذه المتغيرات الثلاثة تؤثر بشكل مترابط على الطاقة العائدة الى جهاز الرادار فانها ستناقش معا. فالتضرس الكبير مثل الجبال والتلال والكثبان الرملية والمباني ليس هو المقصود بخشونة السطح هنا، ولكن يقصد به التضرس الصغير على سطوح الأجسام وذلك مثل الرمل والحصى واوراق الأشجار واغصانها. والسطوح تقسم حسب خشونتها الى ثلاثة انواع (Sabin, 1978) هي:

١ - السطح الناعم (الأملس) Smooth Surface، وهذا السطح يعكس جميع اشعاع الرادار الساقط عليه بزاوية معاكسة تساوي زاوية سقوط الاشعاع Incidence Angle (شكل ١-١٨).

٢ - السطح متوسط الخشونة Moderately Rough Surface وهذا السطح يعكس جزءا من اشعاع الرادار الساقط عليه، ويشئت Scatter الباقي (شكل ١٨-ب).

تمثل ١٨ خشونة السطح وأثرها على الطاقة العائدة في نطاق X (طول الموجة λ)
 (١) سطح ناعم لا طاقة عائدة إلى الرادار (ب) سطح متوسط الخشونة - طاقة عائدة متوسطة
 (ج) سطح خشن - طاقة عائدة قوية .



المصدر: Sabins, 1978.

٣ - السطح الخشن Rough Surface، وهذا السطح يشتمل اشعاع الرادار الساقط عليه في جميع الاتجاهات (شكل ١٨-ج).

وحيث ان تأثير خشونة السطح على اشعاع الرادار المنعكس مرتبط بطول الموجة Wavelength وزاوية الانخفاض Depression Angle (γ)، فان تحديد خشونة السطح مبني على العلاقة بين هذه المتغيرات. فالسطح يكون ناعما اذا كانت:

$$h < \frac{\lambda}{25 \sin \gamma}$$

ويكون خشنا اذا كانت:

$$h > \frac{\lambda}{4.4 \sin \gamma}$$

حيث ان:

h = فارق الارتفاع على السطح بالسنتيمتر.

λ = طول الموجة بالسنتيمتر.

γ = زاوية الانخفاض بالدرجات.

ومن المعادلتين السابقتين يمكن تحديد قيمة فوارق الارتفاع التي تبين الحدود بين السطوح الملساء، والسطوح متوسطة الخشونة، والسطوح الخشنة (جدول ٥). ولكن تختلف خشونة السطح باختلاف طول الموجة، فبعض السطوح التي تبدو خشنة في موجات نطاق ka تبدو ناعمة في نطاق L (جدول ٦).

يبين شكل ١٩ تأثير خشونة السطح وزاوية الانخفاض Depression Angle على كمية الاشعاع العائد الى الرادار، وزاوية الانخفاض هي الزاوية المحصورة بين المستوى الافقي وخط الاشعاع الساقط من

جدول ٥ فوارق الارتفاع التي تبين الحدود بين السطوح الناعمة ومتوسطة النعومة والخشنة في موجات الرادار بزاوية انخفاض قدرها ٤٥ درجة

نطاق I ₁ الموجة = ٢٥ سم	نطاق X الموجة = ٣ سم	نطاق ka الموجة = ٠,٨٦ سم	خشونة السطح
الارتفاع > ١,٤١ سم الارتفاع =	الارتفاع > ٠,١٧ سم الارتفاع =	الارتفاع > ٠,٥٥ سم الارتفاع =	ناعم متوسط
١,٤١ إلى ٨,٠٤ سم	٠,١٧ إلى ٠,٩٦ سم	٠,٢٨ إلى ٠,٥٥ سم	
الارتفاع < ٨,٠٤ سم	الارتفاع < ٠,٩٦ سم	الارتفاع < ٠,٢٨ سم	خشن

المصدر : Sabins, 1978

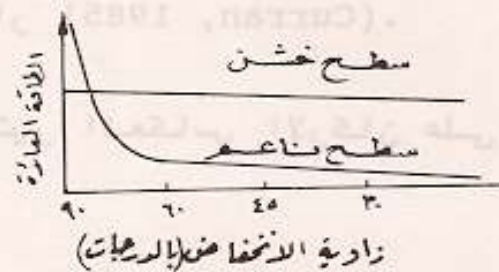
جدول ٦ اختلاف خشونة السطح باختلاف طول الموجة

نطاق I الموجة = ٢٥ سم	نطاق X الموجة = ٣ سم	نطاق ka الموجة = ٠,٨٦ سم	الارتفاع (سم)
ناعم	ناعم	ناعم	٠,٠٥
ناعم	ناعم	متوسط	٠,١٠
ناعم	متوسط	خشن	٠,٥٠
متوسط	خشن	خشن	١,٥٠
خشن	خشن	خشن	١٠,٠٠

المصدر : Sabins, 1978 .

الرادار الى الهدف. فكمية الاشعاع المنعكس نحو الرادار من السطوح الناعمة تعتمد على زاوية الانخفاض، فاذا كانت زاوية الانخفاض كبيرة فان كمية كبيرة من الاشعاع الساقط على السطوح الناعمة تنعكس باتجاه هوائي الرادار، ولكن الاشعاع المنعكس يزداد في الابتعاد عن اتجاه الرادار كلما صغرت زاوية الانخفاض. ولذا تظهر السطوح الناعمة بلون ناصع Bright Tone في مرئية الرادار التي تكون فيها زاوية الانخفاض كبيرة، اما في المرئية التي تكون فيها زاوية الانخفاض صغيرة فانها تظهر بلون قاتم Dark Tone. ومن ناحية اخرى فان تاثير زاوية الانخفاض على كمية الطاقة العائدة الى الرادار من السطوح الخشنة قليل؛ وذلك لان السطوح الخشنة تشتت الاشعاع بشكل متساو في جميع الاتجاهات.

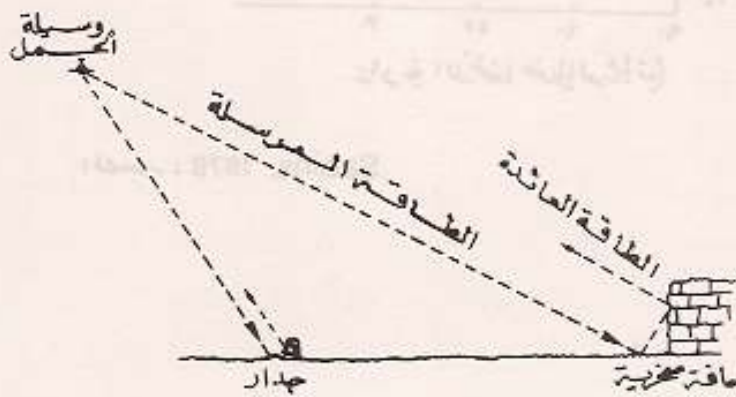
شكل ١٩ تأثير زاوية الانخفاض على الطاقة العائدة الى الرادار



المصدر: Sabins, 1978.

١-٢-٤-٣ تأثير طبوغرافية السطح:
 التضرس الكبير مثل الجبال والتلال والكثبان الرملية والمباني يؤثر على كمية الطاقة العائدة الى الرادار. فالطاقة العائدة من منحدرات الجبال المواجهة للرادار تكون كبيرة، بينما تكون معدومة من الجهة الخلفية للجبل؛ ولذلك تظهر بلون داكن على المرئية، ويطلق على هذه المنطقة ظل الرادار (Sabins, 1978, Lillesand and Kiefer, 1987).
 وبالإضافة الى ذلك فان انعكاس الأركان Corner Reflection يؤدي الى اعادة كمية كبيرة من الطاقة. ويحدث انعكاس الأركان اذا سقطت الطاقة على السطوح المستوية التي تتقاطع بزواوية قائمة (شكل ٢٠).
 ففي هذه الحالة تنعكس الطاقة من السطح الأفقي الى السطح الراسي الذي يعكسها باتجاه الرادار، ولذا فان كمية الطاقة العائدة للرادار تكون كبيرة جدا مما يؤدي الى ظهور هذه المناطق باللون الناصع على مرئية الرادار (Curran, 1985).

شكل ٢٠ تأثير انعكاس الأركان على طاقة الرادار



المصدر: Curran, 1985.

الفصل الثاني

أجهزة الاستشعار عن بعد ووسائل حملها

١-٢ أجهزة الاستشعار عن بعد:

صممت أجهزة الاستشعار عن بعد لتسجيل الأشعاع المنعكس أو المنبعث من سطح الأرض، وذلك في نطاقات معينة من الطيف الكهرومغناطيسي. ويمكن تقسيم أجهزة الاستشعار عن بعد إلى نوعين رئيسيين هما الأجهزة التي تقدم معلومات مرئية Imaging Sensors والأجهزة التي تقدم معلومات غير مرئية Non-imaging Sensors. وحيث أن المعلومات المرئية هي التي تستخدم بشكل رئيسي في التطبيقات الجغرافية فإن الحديث هنا سيقتر على الأجهزة التي تقدم معلومات مرئية.

١-١-٢ نظم التصوير الفوتوغرافي:

تعد آلات التصوير الفوتوغرافي أقدم أجهزة الاستشعار عن بعد التي لازالت تلعب دورا مهما في جمع المعلومات عن الظواهر على سطح الأرض. وتستخدم آلات التصوير لتسجيل الأشعاع الكهرومغناطيسي في نطاق الطيف المرئي وتحت الحمراء القريبة (٠,٤-٠,٩ ميكرومتر) على أفلام حساسة لهذه الطاقة (Lo, 1986). والافلام المستخدمة في آلات التصوير إما أن تكون باللون الأسود والأبيض وإما أن تكون ملونة. والافلام الملونة الحساسة للأشعاع الطيف المرئي تعطي صورا ملونة بالوان حقيقية، أما الافلام الملونة الحساسة للأشعاع الموجات تحت الحمراء فتعطي صورا بالوان زائفة (خاطئة) false color أي أنها تعطي ألوانا غير حقيقية (جدول ٧).

وتستخدم المرشحات الفوتوغرافية Filters في آلات التصوير الفوتوغرافية متعددة الأطياف

جدول ٧ الوان الظواهر في الصور المسجلة
بالافلام الحساسة للاشعة تحت الحمراء

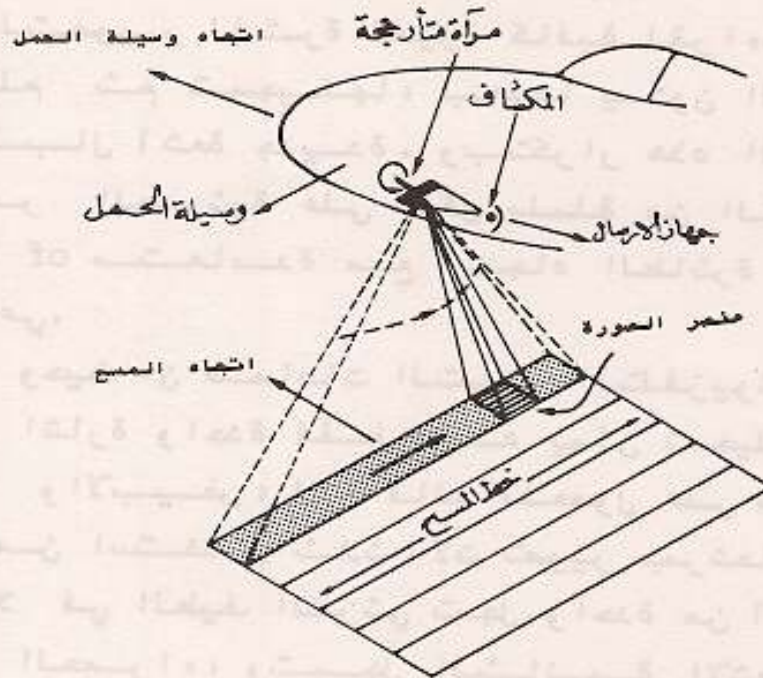
اللون الزائف (الخاطيء)	الظاهرة
	النبات الجيد
احمر الى ارجواني	عريض الاوراق
بنفي مائل الى الحمرة - بنفسجي	ابري الاوراق
	النبات المريض
احمر داكن	الرؤية المسبقة
ازرق داكن	الرؤية العادية
اصفر الى ابيض	اوراق الخريف
ازرق غامق الى اسود	المياه الصافية
ازرق فاتح	المياه العكرة
الوان داكنة	الاراضي الرطبة
اسود مع تفاصيل قليلة	الظلال

المصدر: العنقري، (١٩٨٦).

Multispectral Cameras للحصول على بيانات في نطاقات محددة. والمرشحات الفوتوغرافية عبارة عن سطوح زجاجية او جيلاتينية Gelatin تتركب على عدسات آلات التصوير لتمنع وصول اشعاع كهرومغناطيسي معين الى الفيلم، وذلك بامتصاصه او انعكاسه (Rehder, 1978).

٢-١-٢ نظم المسح الخطي Linescanning Systems:
 في هذا النظام يتم جمع المعلومات بواسطة مرآة تدور Rotated او تتأرجح Oscillated الى الامام والخلف على محور مواز لاتجاه وسيلة حمل الجهاز (الطائرة، او القمر الصناعي) التي تعكس الاشعاع الى المكشاف Deteotor ليرسلها على شكل اشارات Signals الى المسجل Recorder، وذلك أثناء دورانها او تأرجحها على طول خط المسح Scan Line (شكل ٢١).

شكل ٢١ نظام المسح الخطي



المصدر: Hardy, 1981.

وبتقدم وسيلة الحمل الى الامام يتم استشعار المعلومات لخط المسح التالي وهكذا؛ وذلك لأن تكرار دوران المرآة أو تارجحها يتوافق مع سرعة وسيلة الحمل. والمساحات الخطية Line Scanners صممت لتستخدم نطاقا واسعا من الطيف الكهرومغناطيسي؛ ولذا فإنه يمكن استخدامها لتسجيل الطاقة الكهرومغناطيسية في الطيف المرئي، وفي موجات الأشعة تحت الحمراء القريبة والبعيدة Near-infrared and Far-infrared (أي ما بين ٠,٤ ميكرومتر و ١ ملليمتر) (Hardy, 1981).

٣-١-٢ نظم التصوير التلفزيوني:

آلات التصوير التلفزيونية تجمع بين نظام آلات التصوير الفوتوغرافي ونظام المسح الخطي. فالآلات التصويرية في هذا النظام تستخدم أفلاما خاصة لا تحتاج الى استبدال أثناء تصوير المرئية. وتتم عملية التصوير بتعريض الفيلم للاشعاع لفترة قصيرة Short Exposure من خلال العدسات. وتخزن هذه المعلومات في آلة التصوير لفترة قصيرة كافية لقراءتها من على الفيلم ثم تسجيلها، بعدها يكون الفيلم جاهزا لاستقبال اشعة جديدة. وبتكرار هذه العملية يتم تصوير المرئية على شكل سلسلة من الخطوط Series of Lines متعامدة مع اتجاه الطائرة أو القمر الصناعي.

وحيث ان صمامات التصوير التلفزيوني Vidicons تعطي اشارة واحدة فقط فإنه يمكن تسجيلها باللون الاسود والابيض، لذا فإنه للحصول على مرئية ملونة لابد من استخدام ثلاث آلات تصوير بمرشحات مختلفة، فمثلا في الطيف المرئي تسجل واحدة من آلات التصوير الأشعة الحمراء، وتسجل الثانية الأشعة الخضراء

وتسجل الثالثة الاشعة الزرقاء، ومركب هذه الالوان
سيعطي مرئية ملونة (Drury, 1987).

٤-١-٢ نظم الصف الخطي Linear array smetsys
(Pushbroom):

يجمع هذا النظام بين نظام آلات التصوير
التلفزيوني ونظام المسح الخطي، فهو يسجل
المعلومات لخط المسح في آن واحد بواسطة عدد كبير
من المكشافات Detectors الصغيرة الحجم دون أن
يتحرك أي جزء من اجزائه. فكل مكشاف يقيس الاشعاع
المنعكس لكل عنصر من عناصر الصورة Picture
Element or Pixel على طول خط المسح ثم يرسله على
شكل اشارات ليتم تسجيلها (Lo, 1986, Drury, 1987)
وهكذا يتم استشعار بقية خطوط المسح
المتلاحقة في المرئية أثناء تقدم الطائرة او القمر
الصناعي الى الامام.

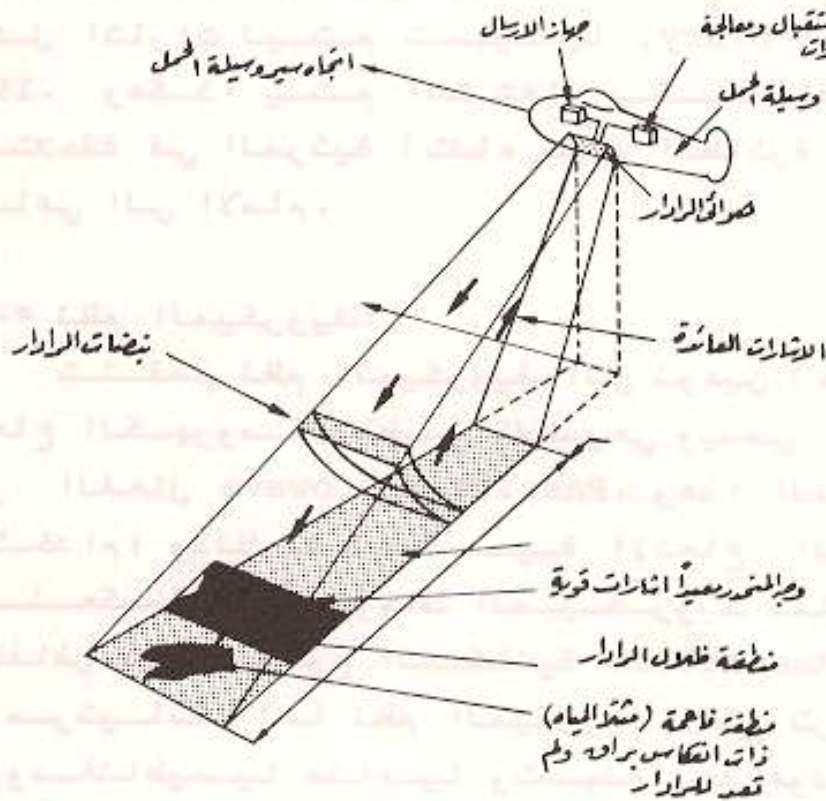
٥-١-٢ نظم الميكرويف:

تنقسم نظم الميكرويف الى نوعين أحدهما يسجل
الاشعاع الكهرومغناطيسي الطبيعي ويسمى الميكرويف
غير الفعال Passive Microwave، وهذا النوع قليل
الاستخدام؛ وذلك لقلة كمية الاشعاع المنبعثة
والمنعكسة في موجات الميكرويف مما يؤدي الى
انخفاض درجة الوضوح المكانية Spatial Resolution
في مرئياته. أما نظم الميكرويف التي ترسل اشعاعا
كهرومغناطيسيا صناعيا وتسجله بعد عودته فتسمى
الميكرويف الفعال Active Microwave، او الرادار
(Hardy, 1981).

توجد العديد من نظم الرادار، ولكن أكثرها
استخداما لمسح الموارد الأرضية هو الرادار الجوي
ذو النظرة الجانبية Side-looking Airborne Radar

(شكل ٢٢) (SLAR) وتكمن أهمية هذا النوع من اجهزة الاستشعار عن بعد في انه يعمل في جميع الظروف سواء في الليل او في النهار، وكذلك في الظروف الغائمة .

شكل ٢٢ نظام الرادار الجوي ذو النظرة الجانبية



المصدر: Hardy, 1981.

٢-٢ وسائل حمل أجهزة الاستشعار عن بعد :
يوجد العديد من وسائل حمل أجهزة الاستشعار عن بعد، منها الوسائل الأرضية، ومثال ذلك الأجهزة التي يحملها الإنسان بيده، أو الأجهزة التي تثبت على أعمدة أو رافعات أو فوق سيارات، إضافة إلى ذلك تستخدم المناطيد Balloons والصواريخ Rockets لحمل أجهزة الاستشعار عن بعد، ولكن أكثر الوسائل استخداماً لحمل هذه الأجهزة الطائرات Aircrafts، والاقمار الصناعية الحاملة للإنسان Manned Satellites، والاقمار الصناعية الأوتوماتيكية Automatic Satellites، ولذا سوف يقتصر الحديث هنا على الوسائل الثلاث الأخيرة.

١-٢-٢ الطائرات:

تستخدم الطائرات لحمل أجهزة الاستشعار عن بعد منذ أكثر من ٥٠ عاماً، حيث استخدمت للتصوير في الحرب العالمية الأولى (Whiteford, 1978, Drury, 1987). وأهم أجهزة الاستشعار التي تحملها الطائرات آلات التصوير الفوتوغرافي المختلفة، وكذلك المسح متعدد الأطياف Multispectral Scanner الذي يشتمل على عدة قنوات Channels لنطاقات Bands مختلفة من الطيف الكهرومغناطيسي، وقد تستخدم واحدة أو أكثر من هذه القنوات لتسجيل الأشعة الحرارية Thermal (المنبعثة من الأرض)، وبالإضافة إلى ذلك تحمل الرادار الجوي ذا النظرة الجانبية SIAR. وكل واحد من هذه الأجهزة له مزاياه. على سبيل المثال، آلات التصوير الجوي تمكن من الرؤية المجسمة للظواهر، أما المسح متعدد الأطياف فيمكن من تسجيل الطاقة في جزء كبير من الطيف الكهرومغناطيسي ما بين ٠,٣ إلى ١٤ ميكرومتر. أما الرادار الجوي ذو النظرة الجانبية فهو يصور المرئية بأضواء جانبية Oblique

Lineaments تظهر السمات الخطية Illumination
بوضوح. وكل هذه الأجهزة تعطي وضوحا مكانيا Spatial
Resolution جيدا يصل الى أقل من ١٠ أمتار.

٢-٢-٢ الأقمار الصناعية الحاملة للإنسان:
استخدمت الأقمار الصناعية الحاملة للإنسان لحمل
أجهزة الاستشعار عن بعد منذ بداية سباق الفضاء بين
الولايات المتحدة الأمريكية والاتحاد السوفيتي في
نهاية الخمسينات وبداية الستينات (Curran, 1985).
فبرامج الأقمار الصناعية الحاملة للإنسان الأمريكية
بدأت في أوائل الستينات ابتداء ببرنامج ميركوري
Mercury، ثم جيميني Gemini، ثم أبولو Apollo، ثم
سكايلاب Skylab، وأخيرا برنامج مكوك الفضاء Space
Shuttle. والهدف الرئيسي من البرامج الأمريكية
الثلاثة الأولى هو اكتشاف الفضاء، أما سكايلاب ومكوك
الفضاء فصممتا لاجراء التجارب.

في رحلات برامج ميركوري وجيميني وأبولو أخذت
صورا كثيرة (اسود وابيض) وملونة لأجزاء مختلفة من
الكرة الأرضية بين دائرتي عرض ٣٥ درجة شمالا و ٣٥
درجة جنوبا، وذلك باستخدام آلات تصوير يدوية ٧٠ مم
Hand-held 70mm Cameras. وبالإضافة الى آلات التصوير
اليدوية حملت أبولو-٩ عام ١٩٦٩م آلة تصوير متعددة
الاطياف بأربع عدسات؛ وذلك لاختبار مفهوم Concept
الماسح متعدد الاطياف الذي حمله لاندسات Landsat-1
في عام ١٩٧٢م (Lo, 1986, Drury, 1987). وعلى الرغم
من أن الصور التي أخذت في رحلات هذه البرامج
استخدمت في كثير من الأبحاث إلا أن استخداماتها في
الدراسات الحديثة محدودة؛ وذلك بسبب قدمها وصغر
مقياسها ومحدودية المنطقة التي تغطيها (Curran,
1985).

ونجاح لاندسات-١ شجع وكالة الفضاء الأمريكية

(ناسا) NASA على تصميم محطات تجارب فضائية بدءاً ببرنامج سكايلاب. وسكايلاب عبارة عن محطة فضائية أطلقت في البداية بدون ملاحين لتدور حول الأرض بين دائرتي عرض ٥٠ درجة شمالاً و ٥٠ درجة جنوباً كل ٩٣ دقيقة معطية تغطية كاملة لهذه المنطقة كل ٥ أيام. وفي الفترة ما بين مايو ١٩٧٣م وفبراير ١٩٧٤م زودت هذه المحطة ثلاث مرات بالملاحين في كل مرة ثلاثة رجال. ومن أهم الأجهزة التي جربت في هذه المحطة آلات التصوير متعددة الأطياف ذات ست العدسات، وآلة تصوير البيئية الطبيعية لسطح الأرض Earth Terrain Camera، والماسح متعدد الأطياف الذي يحتوي على ثلاث عشرة قناة والراديو متر الذي يقيس أشعة الميكرويف Microwave Radiometer.

وفي عام ١٩٨١م بدأ برنامج مكوك الفضاء الذي يتضمن عدة مركبات فضائية صالحة للاستخدام أكثر من مرة، وهي: كولومبيا وتشالينجر (انفجرت عام ١٩٨٦م) وديسكفري واطلانيس (الدهراوي، ١٩٨٧). وتستخدم هذه المركبات للقيام برحلات إلى الفضاء لإطلاق الأقمار الصناعية الاتوماتيكية المختلفة، واختبار أجهزة استشعار عن بعد متقدمة، ثم تعود إلى الأرض مرة ثانية. وخلال رحلات المكوك الفضائي المختلفة تم اختبار العديد من أجهزة الاستشعار عن بعد، ومن أهمها الراديو متر متعدد الأطياف للأشعة تحت الحمراء Shuttle Multispectral Infrared Radiometer (SMJR). وهذا الجهاز يعطي معلومات غير مرئية non-imaging في تسعة نطاقات Bands بين ٠,٥ - ٢,٤ ميكرومتر، ورادار المكوك الفضائي-1 Shuttle Imaging Radar (SlR-A)، وهو رادار ذو نظرة جانبية Side-Looking يرسل طاقة في نطاق L (٢٣ سم) بزاوية انخفاض قدرها ٤٣ درجة، والوضوح المكاني لمرئيته ٤٠ متراً، وكذلك رادار المكوك الفضائي-ب (SlR-B)

الذي يشبه رادار المكوك الفضائي-1 ، إلا أن زاوية الانخفاض فيه متغيرة ما بين ٣٠ درجة و ٧٥ درجة ، ولذا يتراوح الوضوح المكاني في مرثياته ما بين ١٧-٥٨ م .

من ناحية أخرى اطلق الاتحاد السوفيتي العديد من الاقمار الصناعية الحاملة للانسان في عقد الستينات، وذلك خلال برامجه الفضائية لاكتشاف الفضاء التي تتضمن فوستوك Vostok وفوشكود Voshkod وسيوز Soyuz ، التي حملت العديد من أجهزة الاستشعار عن بعد ، وهي شبيهة بالتي حملتها الاقمار الصناعية الامريكية الحاملة للانسان. وفي اوائل السبعينيات بدأ الاتحاد السوفيتي في برنامج ساليوت Salut وهو عبارة عن محطات فضائية لاجراء التجارب، وخلال رحلات ساليوت جرب العديد من أجهزة الاستشعار عن بعد المختلفة (Curran, 1985).

في منتصف السبعينات نفذت رحلة سيوز-1 بولو المشتركة بين الاتحاد السوفيتي والولايات المتحدة الامريكية. وكان هدف هذه الرحلة تصوير سطح الارض بغرض دراسة الموارد الطبيعية (طربوش ١٩٨٢).

٢-٢-٣ الاقمار الصناعية الاتوماتيكية :
يمكن تقسيم الاقمار الصناعية الاتوماتيكية للاغراض المدنية التي تحمل أجهزة استشعار عن بعد الى نوعين حسب الغرض من اطلاقها، وهما الاقمار الصناعية لمراقبة الطقس، والاقمار الصناعية لاستشعار الموارد الارضية. فالاقمار الصناعية الاتوماتيكية لجمع المعلومات عن الموارد الارضية وبعض الاقمار الصناعية الاتوماتيكية لمراقبة الطقس صممت لتدور حول الارض متزامنة مع الشمس Sun-Synsronous ، أما بعض الاقمار الصناعية التي اطلقت لمراقبة الطقس فصممت ليتزامن دورانها مع

دوران الكرة الأرضية Geosynchronous (Geostationary)، وهذا يعني أنها تبقى ثابتة فوق مكان معين من سطح الكرة الأرضية. وسناقش هنا أهم برامج الاقمار الصناعية الاتوماتيكية العالمية.

٢-٢-٣-١ الاقمار الصناعية الاتوماتيكية الامريكية :
يعد القمر الصناعي الامريكي Television and Infrared Observation Satellite (TIROS -1) الذي اطلق في ابريل ١٩٦٠م اول قمر صناعي اوتوماتيكي لجمع المعلومات المرئية عن سطح الكرة الارضية وكان يحمل التي تصوير تليفزيونية لمراقبة الطقس (Drury, 1987)، تلا ذلك اطلاق العديد من الاقمار الصناعية الاتوماتيكية الخاصة بمراقبة الطقس او استشعار الموارد الارضية، وذلك من خلال البرامج التي تشرف عليها وكالة الفضاء الامريكية (ناسا) NASA، ووكالة المحيطات والجو الامريكية (نوا) NOAA. ويشتمل كل برنامج على سلسلة من الاقمار الصناعية تحمل اجهزة استشعار مختلفة (جدول ٨). وسيقتصر الحديث هنا على برنامج لاندسات Landsat، وذلك لاهميته كمصدر للمعلومات في التطبيقات الجغرافية في مختلف بلدان العالم.

بدأ برنامج لاندسات Landsat في بداية السبعينات، حيث كان في البداية يحمل اسم القمر الصناعي التكنولوجي للموارد الارضية Earth Resources Technology Satellite (ERTS) حتى غير الى لاندسات في ١٣ يناير ١٩٧٥م، ويشتمل هذا البرنامج على سلسلة من الاقمار الصناعية التي اطلق منها حتى الآن خمسة، كان اولها لاندسات-١ الذي اطلق في يوليو ١٩٧٢م، والذي استمر في الخدمة حتى يناير ١٩٧٨م، تلاه اطلاق لاندسات-٢ في يناير ١٩٧٥م الذي عمل حتى يوليو ١٩٨٣م، وفي مارس ١٩٧٨م اطلق

جدول ٨ أهم الاقمار الصناعية الاوتوماتيكية الامريكية

المدار	المكانى (م)	الوضوح	نطاقات الطيف (ميكرومتر)	جهاز الاستشعار	القمر الصناعي
متزامن مع الشمس	٤٠٠٠ ٨٢٠٠		٠,٧٣ - ٠,٥٥ ١٢,٥٠ - ١٠,٥٠	HRR*	NOAA-1 ITOS
متزامن مع الشمس	٩٠٠		٠,٧٣ - ٠,٥٥ ١٢,٥٠ - ١٠,٥٠	VHRR	NOAA-2 to 5
متزامن مع الشمس	١١٠٠		٠,٩٠ - ٠,٥٥ ١,٠٠ - ٠,٧٢ ٣,٩٣ - ٣,٥٥ ١١,٥٠ - ١٠,٥٠	AVHRR	NOAA-6 to 13 TIROS-N
متزامن مع دوران الأرض	٩٠٠ ٣٦٠٠		٠,٧٠ - ٠,٦٦ ١٢,٥٠ - ١٠,٥٠	SSR	SMS GOES
متزامن مع الشمس	٨٠٠٠		١,١٠ - ٠,٧٠ ٤,٢٠ - ٠,٣٠	HRIR	Nimbus-1 to 6
	١٠٠٠		٠,٩٠ - ٠,٤٠	VC	

جدول ٨ اهم الاقمار الصناعية الاوتوماتيكية الامريكية (يتبع)

المدار	المكانى (م)	الوضوح	نطاقات الطيف	جهاز الاستشعار	القمر الصناعي
متزامن مع الشمس	٨٠٠		٠,٤٥ - ٠,٤٣	CZCS	Nimbus-7
			٠,٥٣ - ٠,٥٠		
			٠,٥٦ - ٠,٥٤		
			٠,٦٨ - ٠,٦٦		
			٠,٨٠ - ٠,٧٠		
			١٢,٥٠ - ١٠,٥٠		
متزامن مع الشمس	٧٩		٠,٦٠ - ٠,٥٠	MSS	Landsat-1 & Landsat-2
			٠,٧٠ - ٠,٦٠		
			٠,٨٠ - ٠,٧٠		
			١,٠٠ - ٠,٨٠		
			٠,٥٨ - ٠,٤٨	RBV	
			٠,٦٨ - ٠,٥٨		
			٠,٨٣ - ٠,٦٩		
متزامن مع الشمس	٧٩	كما في لاندسات-١		MSS	Landsat-3
	٣٠	٠,٧٥ - ٠,٥١		RBV	

جدول ١٨ مهم الاقمار الصناعية الاوتوماتيكية الامريكية (يتبع)

المدار	المكانى (م)	الوضوح	نطاقات الطيف (ميكرومتر)	جهاز الاستشعار	القمر الصناعى
متزامن مع الشمس	٧٩	٣٠	٠,٥٢ - ٠,٤٥	MSS	Landsat-4 & Landsat-5
			٠,٦٠ - ٠,٥٢	TM	
			٠,٦٩ - ٠,٦٣		
			٠,٩٠ - ٠,٧٦		
			١,٧٥ - ١,٥٥		
	١٢٠		١٢,٥٠ - ١٠,٤٠		
	٣٠		٢,٣٥ - ٢,٠٨		

*HRR: High Resolution Radiometer

VHRR: Very High Resolution Radiometer

AVHRR: Advanced Very High Resolution Radiometer

SSR: Spin Scan Radiometer

HRIR: High Resolution Infrared Radiometer

VC: Vidicon Camera

CZCS: Coastal Zone Colour Scanner

MSS: Multispectral Scanner System

RBV: Return Beam Vidicon

TM: Thematic Mapper

لانداسات-٣ الذي توقف في سبتمبر ١٩٨٣م. وهذه الاقمار الصناعية الثلاثة اطلقت في مدارات متزامنة مع الشمس (قطبية) على ارتفاع حوالى ٩٢٠ كم، وقد صممت لتدور حول الارض كل ١٠٣ر٣ دقيقة. وعلى الرغم من أن مسار القمر الصناعي ثابت الا ان الممرات الارضية التي يغطيها في اليوم الواحد يبعد بعضها عن بعضها الآخر حوالى ٢٨٧٥ كيلومتر عند خط الاستواء، وذلك تمشيا مع دوران الكرة الارضية. وحيث أن محيط الكرة الارضية حوالى ٤٠٠٧٥ كيلومتر فان الممر الارضي الاول في اليوم التالي يتحرك الى الغرب من الممر الارضي الاول في اليوم السابق له بحوالى ١٥٩ كم عند خط الاستواء، وبهذه الطريقة تتم تغطية كامل الكرة الارضية كلها (ماعدا القطبين) بدوران القمر الصناعي حول الارض ٢٥١ مرة أي كل ١٨ يوما، بعد ذلك تتكرر العملية من جديد، حيث يصبح الممر الارضي الاول في اليوم التاسع عشر متطابقا تقريبا مع الممر الارضي الاول في اليوم الاول وهكذا.

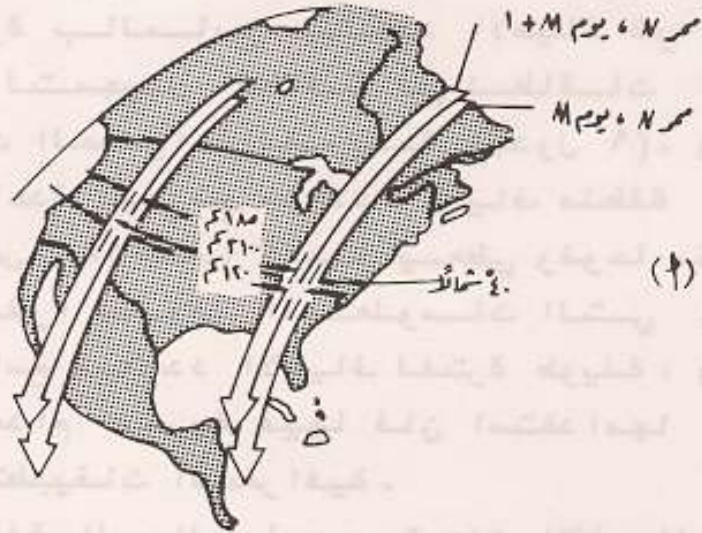
في يوليو ١٩٨٢م وفي مارس ١٩٨٤م اطلق لانداسات-٤ ولانداسات-٥ على التوالي في مدارات متزامنة مع الشمس على ارتفاع ٧٠٥ كم؛ لتدور حول الارض كل ٩٨,٩ دقيقة. وهذان القمران يختلفان في طريقة تغطيتهما للكرة الارضية عن الاقمار الثلاثة السابقة، وذلك من حيث المدة الزمنية، وعدد الممرات الارضية؛ والسبب في ذلك تغير ارتفاع مداريهما. فنظرا لانخفاض المدار زادت السرعة، وبذلك نقصت المسافة بين المسارات الارضية في اليوم الواحد، حيث اصبح يبعد كل مسار عن الآخر حوالى ٢٧٥٢ كيلومتر، ونتيجة لذلك فانه تتم تغطية كامل الارض (باستثناء القطبين) بدورانهما ٢٣٣ دورة حولها، وهذا يعني أنه يتم تصوير أي منطقة مره واحدة كل ١٦ يوما او ٢٢ مرة في السنة.

وحيث ان لاندسات-٤ ولاندسات-٥ يدوران حول الأرض حوالي ١٤٥٦ مرة في الأربيع والعشرين ساعة لذا فان المدة الفاصلة بين تصوير الممرات الأرضية المتجاورة تكون سبعة أيام، بينما كانت يوما واحدا فقط في لاندسات-١ ولاندسات-٢ ولاندسات-٣؛ وذلك لأن هذه الأقمار كانت تدور حوالي ١٣٩٥ مرة في الأربيع والعشرين ساعة (شكل ٢٣).

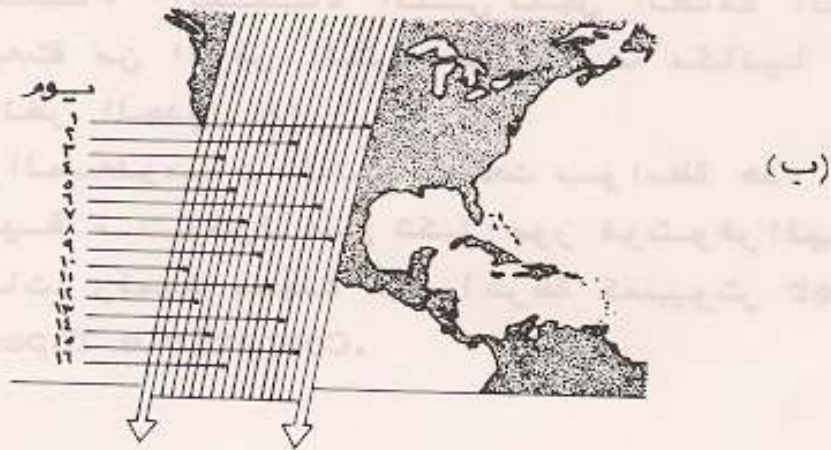
لاندسات-١ ولاندسات-٢ ولاندسات-٣ حملت الماسح متعدد الأطياف Multispectral Scanning System (MSS) وآلات تصوير تلفزيونية Return Beam Vidicon (RBV)، أما لاندسات-٤ ولاندسات-٥ فيحملان الماسح متعدد الأطياف (MSS) بالإضافة إلى الماسح الموضوعي Thematic Mapper (TM). والماسح متعدد الأطياف والماسح الموضوعي كلاهما يعمل بنظام المسح الخطي.

كل من لاندسات-١ ولاندسات-٢ حمل ثلاث آلات تصوير تلفزيونية، واحدة منها للتصوير في نطاق الطيف الأخضر (٠,٤٨-٠,٥٨ ميكرومتر)، والثانية للتصوير في نطاق الطيف الأحمر (٠,٦٨-٠,٥٨ ميكرومتر)، أما الثالثة فهي للتصوير في نطاق طيف الأشعة تحت الحمراء القريبة (٠,٦٩-٠,٨٣ ميكرومتر). وتغطي مرئيات آلات التصوير هذه منطقة طولها ١٨٥ كم، وعرضها ١٨٥ كم، وتعطي وضوحا مكانيا يبلغ حوالي ٧٩م. واستخدام هذه المعلومات في التطبيقات الجغرافية محدود جدا؛ وذلك لقلّة المعلومات التي جمعت بهذه الطريقة ولرداءة نوعيتها كذلك. وبسبب المشاكل التي تعرضت لها آلات التصوير التلفزيونية متعددة الأطياف على لاندسات-١ ولاندسات-٢ تم تغيير نظام آلات التصوير التلفزيونية الذي حملته لاندسات-٣، حيث حمل آلتها تصوير تلفزيونيتين يعملان بالنظام البانكروماتيكي في نطاق الطيف المرئي وتحت الحمراء القريبة (٠,٥١-٠,٧٥ ميكرومتر). كل

تتكون ٢٣ المرة الزمنية الفاصلة بين تصوير الممرات الأرضية المتجاورة (٢) لانزلات - أو ممر ٣ تكون
 المرة الفاصلة يوم واحد (١) لانزلات - ٤ مرة تكون المرة الفاصلة ٧ أيام



المصدر: Drury, 1987.



المصدر: Lillesand and Kiefer, 1987.

واحدة من آلات التصوير هذه استخدمت لتصوير جانب من المنطقة التي يغطيها الماسح متعدد الأطياف الذي كان يحمله لاندسات-٣، ولذلك تغطي كل آلة تصوير منطقة طولها ٩٨م، وعرضها ٩٨م بوضوح مكاني حوالى ٣٠م.

جميع الاقمار الصناعية التي اطلقت في برنامج لاندسات مجهزة بالماسح متعدد الأطياف ذي الأربع قنوات؛ وذلك لتسجيل الطاقة في نطاقات الطيف المرئي وتحت الحمراء القريبة (جدول ٩). وتغطي المرئية الواحدة للماسح متعدد الأطياف منطقة بطول ١٨٥ كم، وعرض ١٨٥ كم، كما يعطي وضوحا مكانيا حوالى ٧٩م. ونظرا لتوفر المعلومات التي جمعت بواسطة الماسح متعدد الأطياف لفترة طويلة، وجودة نوعيتها، وانعدام السرية فيها فان استخدامها واسع الانتشار في التطبيقات الجغرافية.

بالإضافة الى الماسح متعدد الأطياف، فان لاندسات-٤ ولاندسات-٥ يحملان الماسح الموضوعي الذي يسجل الطاقة لسبعة نطاقات (جدول ١٠). والوضوح المكاني لمعلومات الماسح الموضوعي حوالى ٣٠م باستثناء القناة التي تسجل الطاقة الحرارية المنبعثة من الأرض التي تعطي وضوحا مكانيا حوالى ١٢٠م (أنظر الجدول ٨).

والمعلومات التي جمعت بواسطة هذه الاقمار الصناعية متوفرة على شكل صور فوتوغرافية او بيانات رقمية مسجلة على أشرطة كمبيوتر Computer Compatible Tapes (CCT).

جدول ٩ نطاقات الماسح متعدد الاطياف (MSS) المحمول على لاندسات

النطاق	نوع الاشعاع (اللون الرمزي للاشعة)	طول الموجة ميكرومتر
1 (٤)	خضراء	٠,٥٠ - ٠,٦٠
٢ (٥)	حمراء	٠,٦٠ - ٠,٧٠
٣ (٦)	تحت حمراء	٠,٧٠ - ٠,٨٠
٤ (٧)	تحت حمراء	٠,٨٠ - ١,٠٠

المصدر: Curran, 1985.

جدول ١٠ نطاقات الماسح الموضوعي (TM) المحمول على لاندسات-٤ و٥

النطاق	نوع الاشعاع (اللون الرمزي للاشعة)	طول الموجة ميكرومتر
١	زرقاء/خضراء	٠,٤٥ - ٠,٥٢
٢	خضراء	٠,٥٢ - ٠,٦٠
٣	حمراء	٠,٦٣ - ٠,٦٩
٤	تحت حمراء قريبة	٠,٧٦ - ٠,٩٠
٥	تحت حمراء قريبة-متوسطة	١,٥٥ - ١,٧٥
٦	تحت حمراء حرارية	١٠,٤٠ - ١٢,٥٠
٧	تحت حمراء متوسطة	٢,٠٨ - ٢,٣٥

المصدر: Curran, 1985.

٢-٣-٢-٢-٢ الاقمار الصناعية الاتوماتيكية الروسية :
يعد برنامجا كوزموس Cosmas وميتور Meteor
اهم برامج الاقمار الصناعية الاتوماتيكية الروسية ،
ويتضمن كل برنامج سلسلة من الاقمار الصناعية ، كما
هو الحال في برامج الولايات المتحدة الامريكية .
والاقمار الصناعية في برنامج كوزموس من النوع قصير
العمر Short Life ولذلك يطلق ما بين ٨٠ الى ٩٠ قمرا
صناعيا سنويا في هذا البرنامج ، وتستخدم الاقمار
الصناعية في هذا البرنامج بشكل رئيسي لمراقبة
الطقس وللغراض العسكرية . ولا تتوفر معلومات عن
الجهزة الاستشعار التي تحملها هذه الاقمار الصناعية .
اما برنامج ميتور فقد بدأ في عام ١٩٦٩م بغرض
استشعار الطقس والموارد الارضية . وتشبه الاقمار
الصناعية في هذه السلسلة الى حد كبير الاقمار
الصناعية في برنامج لاندسات من حيث مداراتها
والجهزة التي تحملها (Curran, 1985).

٢-٣-٢-٣-٢ الاقمار الصناعية الاتوماتيكية الفرنسية :
في منتصف الثمانينات بدأت فرنسا برنامج سبوت
Spot الذي يتضمن سلسلة من الاقمار الصناعية
الاتوماتيكية اطلق اولها سبوت-١ Spot-1 في فبراير
١٩٨٦م الذي يعد اول قمر صناعي اوروبي لاستشعار
الموارد الارضية . واطلق هذا القمر في مدار على
ارتفاع ٨٣٢ كم ؛ ليدور متزامنا مع الشمس معطيا
تغطية كاملة لسطح الأرض في ٢٦ يوما . ويحمل
سبوت-١ جهازي استشعار عن بعد يعملان بنظام الصف
الخطي (Pushbroom) وتسمى High Resolution Visible
(HRV) ، ويمكن استخدام أي منهما لتسجيل الطاقة
الكهرومغناطيسية للموجات بين ٠,٥١ ميكرومتر و ٠,٧٣
ميكرومتر بالنظام البانكروماتيكي Panchromatic
Mode ، أو للعمل بالنظام متعدد الانطياف

Multispectral Mode الذي يسجل ثلاثة نطاقات من الطيف الكهرو مغناطيسي، هي الأخضر (0,50 - 0,59 ميكرومتر)، والاحمر (0,61 - 0,69 ميكرومتر)، وتحت الحمراء القريبة (0,79 - 0,89 ميكرومتر). والوضوح المكاني في النظام البانكروماتيكي 10م بينما هو 20م في النظام متعدد الاطياف. وقد اطلق القمر الصناعي الثاني من هذه السلسلة (سبوت-2 Spot-2) في يناير 1991م وبنفس امكانات سبوت-1.

وجهازا الاستشعار اللذان يحملهما كل من سبوت-1 وسبوت-2 صمما ليتمكن تحريكهما يمينا او يسارا عن النظير Nadir (النقطة الارضية التي تكون في وضع عمودي مع مركز جهاز الاستشعار عن بعد) بحد اقصى 27 درجة. ويكون عرض المرئية الراسية 60 كيلومتر بينما يصل عرضها الى 80 كيلومتر عندما تكون درجة ميله 27 درجة. وهذه الخاصية تجعل التصوير اكثر من مرة خلال فترة التغطية (26 يوما) ممكنا لاية منطقة، الا ان عدد مرات التصوير الممكنة لاي منطقة خلال فترة التغطية تعتمد على موقعها بالنسبة لخط الاستواء. فعدد مرات التصوير الممكنة للمناطق الواقعة على خط الاستواء تكون 7 مرات، ولكنها تصل الى 11 مرة عند دائرة عرض 45 درجة، وتكون عدد مرات التصوير الممكنة في الايام المتتالية (المتلاحقة) مرتين و6 مرات عند خط الاستواء، وعند دائرة عرض 45 درجة على التوالي (Lillesand and Kiefer, 1987). وتصوير المنطقة من مواقع مختلفة يعطي مرئيات تسمح بالرؤية المجسمة لكامل المرئية (Curran, 1985, Millington and Townshend, 1987).

الفصل الثالث

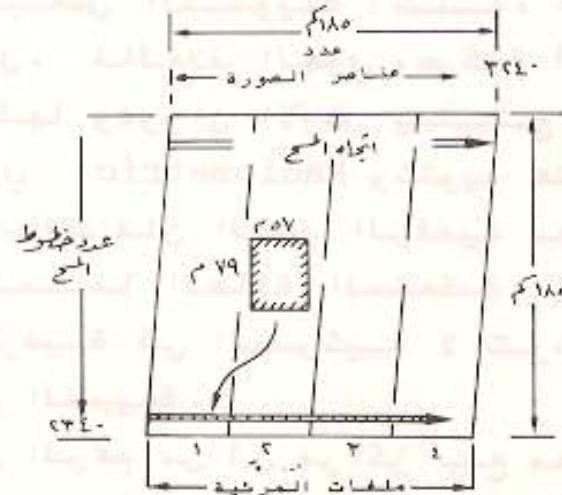
معالجة المرئية وتفسيرها

٣-١ معالجة المرئية الرقمية :

كل مرئية تتكون من مناطق صغيرة متساوية المساحة تسمى عناصر الصورة Picture Elements أو Pixels، وكل واحد من عناصر الصورة في المرئية الرقمية Digital Image له قيمة رقمية Digital Number (DN) تمثل الطاقة التي سجلها جهاز الاستشعار لهذه المنطقة. فمثلا مرئية الماسح متعدد الاطراف MSS في لاندسات تتكون من ٢٢٤٠ خط مسحي يحتوي كل واحد منها على ٣٢٤٠ عنصر صورة (شكل ٢٤). وهذا يعني أن مرئية النطاق الواحد تشتمل على ٧٥٨٠ مليون عنصر صورة، أي أكثر من ٣٠ مليون عنصر صورة في المرئية الواحدة لجميع النطاقات الأربعة. وعلى الرغم من أن مساحة عنصر الصورة الواحد في هذه المرئية تساوي ٧٩م x ٧٩م، إلا أن الوضوح المكاني في المرئية يكون ٧٩م x ٧٩م؛ وذلك لأن تحويل الاشارات Signals الى ارقام لا تسجل بنفس معدل المسح بل بنسبة حوالى ١,٤١ (١,٤١ = ٧٩ ÷ ٥٦)، كما في شكل ٢٥ (Sabins, 1978, Curran, 1985).

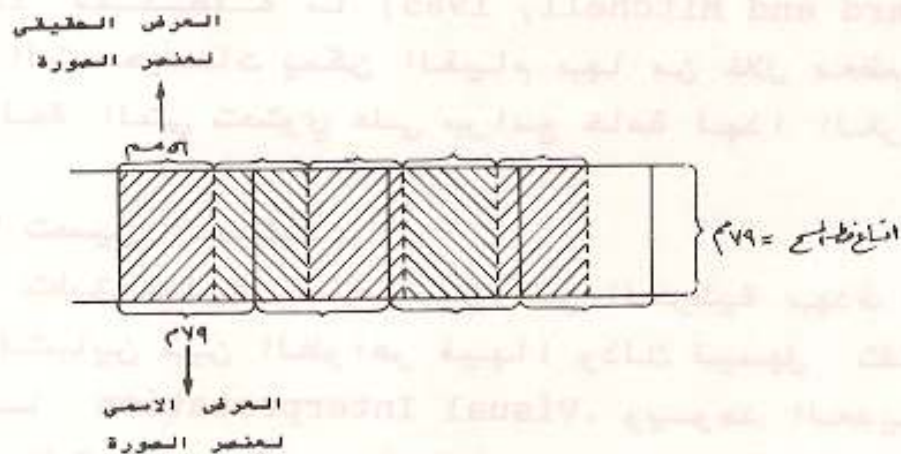
تسجل القيم الرقمية لعناصر الصورة حسب مواقعها في المرئية لكل النطاقات على اشرطة كمبيوتر Computer Compatible Tapes (CCTs). وتتم معالجة هذه البيانات قبل استخدامها؛ وذلك للحصول على أكبر قدر ممكن من المعلومات الدقيقة في التطبيقات المختلفة. ويمكن تقسيم عمليات المعالجة الرقمية الى ثلاثة انواع حسب الغرض منها، وهي :
تصحيح المرئية Image Correction، وتحسين المرئية Image Enhancoment، وتصنيف المرئية Image Classification.

شكل ٢٤ عناصر الصورة وخطوط المسح في مرثية
الماسح متعدد الاطراف المحمول على لاندسات



المصدر: Sabins, 1978

شكل ٢٥ عنصر الصورة في مرثية الماسح
متعدد الاطراف المحمول على لاندسات



المصدر: Curran, 1985

٣-١-١ تصحيح المرئية :

معلومات الاستشعار عن بعد الأولية Raw data لا تمثل بشكل جيد المكان الذي تم تصويره؛ وذلك لأنها تتعرض لبعض التشويه اثناء عمليات المسح والتحويل. فالغلاف الجوي وحركة اجهزة الاستشعار ووسائل حملها ودوران الأرض ينتج عنها تشويه راديومتري Radiometric وتشويه هندسي Geometric، ونتيجة لذلك فان القيم الرقمية لعناصر الصورة لا تمثل تماما الطاقة المنعكسة، وكذلك فان مواقع الظواهر الأرضية في المرئية لا ترتبط تماما مع مواقعها في الطبيعة.

وعلى الرغم من أن مراكز بيع معلومات الاستشعار عن بعد -مثل نوا ووكالة الفضاء الاوروبية- توفر المعلومات بعد تصحيحها الا أن الامر في بعض الاحيان يتطلب من محلل المرئيات الرقمية أن يقوم ببعض التصحيحات التي تتفق مع هدف عمله، ومثال على ذلك تصحيح المرئية حسب مسقط معين او تصحيح القيم الرقمية المتجاورة في مرئيتين، وذلك عند القيام بعمل موزايك (خريطة مصورة) للمرئيات Mosaic Images لمنطقة ما (Howard and Mitchell, 1985). وهذه التصحيحات يمكن القيام بها من خلال معظم نظم المعالجة التي تحتوي على برامج خاصة لهذا الغرض.

٣-١-٢ تحسين المرئية :

تطبق عملية التحسين على المرئية بهدف ابراز حدة التباين بين الظواهر فيها؛ وذلك ليسهل تفسيرها بصريا Visual Interpretation. ويوجد العديد من الطرق التي يمكن تطبيقها لهذا الغرض على كامل المرئية او على جزء منها Extract. وفي مايلي أهم هذه الطرق:

١- زيادة التباين في المرئية Contrast Stretching.

- ٢- إنتاج المرئية الملونة Production of Colour
Composite Images .
- ٣- الترشيح المكاني Spatial Filtering .
- ٤- نسب النطاقات Band Ratioing .
- ٥- تحليل المركبات الرئيسية Principal Components
Analysis (PCA) .

قبل الحديث عن هذه الطرق يجب التنويه الى انه في مرئيات لاندسات تعد مرئية مركب الالوان الزائفة (الخطائفة) العادي افضل المرئيات عند القيام بعملية التفسير لانغراض عامة (شكل ٢٦). اما عند القيام بعملية التفسير لانغراض محددة فانه ينبغي اختيار النطاق المناسب. ففي الماسح متعدد الاطيف المحمول على لاندسات يعتبر نطاق ١ (٤) اقل تاثرا بالظل. ولذا فانه مناسب عند دراسة المناطق شديدة التضرس. كما انه يعطي اختراقا كبيرا للمياه اذا كان الجو Atmosphere صافيا. الامر الذي يجعله مناسباً عند دراسة الرواسب العالقة غير العضوية. ونطاق ٢ (٥) يخترق الغلاف الجوي بشكل جيد. الامر الذي يجعله مناسباً لاكتشاف الظواهر البشرية من مبان وطرق وغيرها، وكذلك النباتات. نطاق ٣ (٦) ونطاق ٤ (٧) يستخدمان لتحديد المسطحات المائية؛ وذلك لأن المياه تمتص اشعاع الموجات تحت الحمراء القريبة. الامر الذي يجعلها تظهر بلون داكن على هذه المرئيات. اضافة الى ذلك فان نطاق ٤ يستخدم بشكل واسع في الدراسات الجيولوجية (Lillesand and Kiefer, 1987). اما نطاقات الماسح الموضوعي فتستخدم لتطبيقات واسعة (جدول ١١).

شكل ٢٦ مرئية مركب الالوان الزائفة العادية
 التي تغطي الاجزاء العليا لحد احواض التصريف
 بوسط المملكة العربية السعودية.

Band Radiating
 Principal Component



التي تغطي الاجزاء العليا لحد احواض التصريف بوسط المملكة العربية السعودية.

جدول ١١ بعض التطبيقات الرئيسية لنطاقات الماسح الموضوعي (TM)

النطاق	التطبيقات
١	صمم لاختراق المسطحات المائية وهذا يجعله مفيد فيمابيلي: ١- عمل خرائط لمياه الشواطئ. ٢- التفرييق بين التربة والغابات. ٣- عمل خرائط لأنواع الغابات. ٤- التعرف على الظاهرات البشرية.
٢	صمم ليقيس ذروه الانعكاس في الموجات الخضراء وذلك للتميز بين النباتات. كما انه ايضا مفيد في التعرف على الظاهرات البشرية.
٣	صمم ليستشعر في موجات امتصاص الكلوروفيل وذلك ليماعد على التفرييق بين انواع النباتات. كما انه ايضا مفيد في التعرف على الظاهرات البشرية.
٤	مفيد في تحديد انواع النباتات و الكتلة النباتية الحية. وكذلك لتحديد المسطحات المائية و اختلافات المحتوى الرطوبي للتربة.
٥	يساعد على معرفة محتوى النبات من الماء وكذلك رطوبة التربة. كما انه ايضا مفيد في التفرييق بين الثلج والفيوم.
٦	مفيد في تحديد النبات المريض وكذلك معرفة اختلافات المحتوى الرطوبي للتربة.
٧	مفيد في التفرييق بين المعادن والنوع الصخور. كما انه ايضا حساس لمحتوى النبات من الماء.

المصدر: 1987, Lillesand and Kiefer.

٣-١-٢-١ زيادة التباين في المرئية :

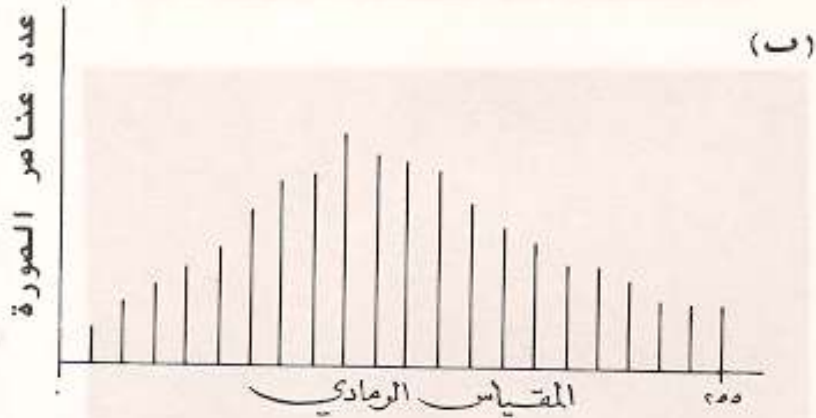
صممت أجهزة الاستشعار لتسجيل الطاقة حسب كثافتها (القيم الرقمية) في كامل المقياس الرمادي (من صفر الى ٢٥٥)، ولكن مواد السطح التي تكون كثافة طاقتها في طرفي المقياس الرمادي قليلة جدا اذا وجدت. ولهذا السبب فان القيم الرقمية في المرئية تتركز في مدى ضيق Narrow Range من المقياس (شكل ٢٧-١)، وهذا التركيز يؤدي الى صعوبة التمييز بين الظواهر بصريا. وللتغلب على هذه المشكلة تنشر القيم الرقمية على كامل المقياس الرمادي؛ وذلك بافتراض أن القيم الرقمية في اول المدرج التكراري للمرئية الاصلية تكون عند الصفر، وان القيم الرقمية في آخره تكون عند ٢٥٥ (شكل ٢٧-ب). شكل ٢٨ يمثل مرئية نطاق ٤ للماسح متعدد الاطراف MSS والتي تغطي منطقة في وسط المملكة العربية السعودية، ويتبين من هذا الشكل أهمية عملية زيادة التباين في المرئية، ودورها في تسهيل عملية التمييز بين الظواهر بصريا. فالشكل ٢٨-١ عبارة عن المرئية قبل تحسينها، وتوضح من هذا الشكل صعوبة تمييز الظواهر على المرئية. أما الشكل ٢٨-ب فيمثل المرئية بعد أن نشرت القيم الرقمية على كامل المقياس الرمادي، وفي هذا الشكل يتضح أن التباين كبير والنوعية جيدة في المرئية. الأمر الذي يسهل عملية تفسيرها بصريا.

٣-٢-١-٢ إنتاج المرئية الملونة :

من الطرق السريعة لتسهيل عملية التمييز بين الظواهر إنتاج مرئية ملونة؛ وذلك لأن الانسان قادر على تمييز ٢٠٠٠٠ لون و ٢٠٠ فقط من درجات اللون الرمادي (Curran, 1985). فمثلا من معلومات الاستشعار المأخوذة بواسطة لاندسات يمكن إنتاج

رقماً بالهلال اعتمده والحدود ٢٠٠٠ الى ٢٠٠٠٠

شكل ٢٧ التباين في نطاق واحد (١) توزيع القيم
الرقمية في المقياس الرمادي للمرئية الاصلية
(ب) توزيع القيم الرقمية بعد نشرها
على كامل المقياس الرمادي.



المصدر: Al-Sari, 1989.

شكل ٢٨ مرثية نطاق ٤ من الماسح متعدد الاطراف التي
تغطي منطقة بوسط المملكة العربية السعودية :
(أ) المرثية الاصلية قبل تحسينها (ب) المرثية
بعد تطبيق طريقة زيادة التباين عليها .



أ



ب

مرثيات ملونة بألوان غير طبيعية، وذلك من مركب ثلاثة نطاقات، كما انه يمكن انتاج مرثيات ملونة بألوان طبيعية من مرثيات الماسح الموضوعي. وتستخدم نطاقات معينة لانتاج المرثيات الملونة، فمثلا تنتج مرثيات مركب الالوان الزائفة (الخاطئة) العادية Standard False Colour Composite من معلومات لاندسات باستخدام نطاق ١ (٤) ونطاق ٢ (٥) ونطاق ٤ (٧) في الماسح متعدد الاطياف MSS (انظر شكل ٢٦)، ونطاق ٢ ونطاق ٣ ونطاق ٤ في الماسح الموضوعي TM، وذلك باستخدام اللون الازرق واللون الاخضر واللون الاحمر لهذه النطاقات على التوالي. والالوان الزائفة (الخاطئة) في المرثيات العادية تأخذ الالوان نفسها في الافلام الحساسة لاشعاع الموجات تحت الحمراء (انظر جدول ٧). اما عند انتاج المرثيات الملونة بألوان طبيعية من معلومات الماسح الموضوعي فيستخدم نطاق ١ ونطاق ٢ ونطاق ٣.

٣-١-٢-٣ الترشيح المكاني:

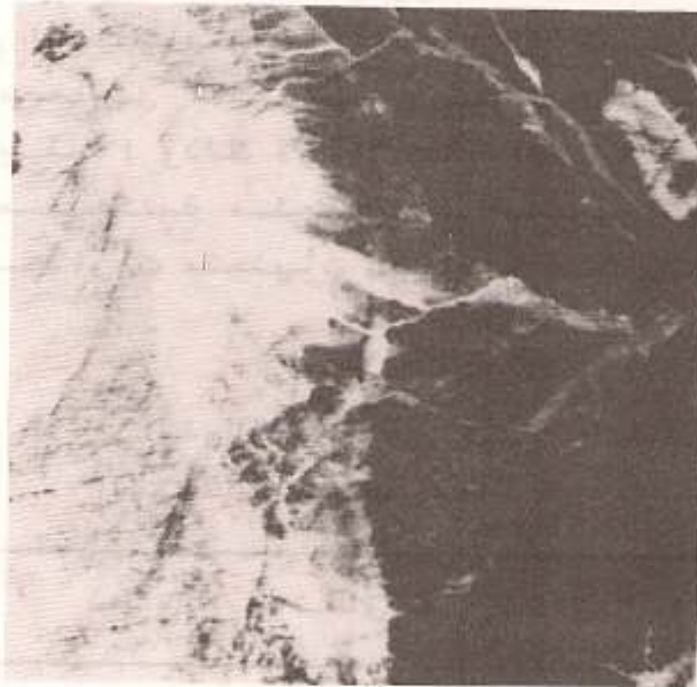
الترشيح المكاني عبارة عن عملية تغيير القيم الرقمية في المرثية بهدف تحسين ظواهر معينة فيها. فالقيم الرقمية في المرثية تختلف من منطقة الى أخرى بسبب اختلاف تفاعل المواد مع الطاقة الكهرومغناطيسية او نتيجة لتأثير طبوغرافية السطح، وهذا الاختلاف يتضح عندما يرسم منحنى القيم الرقمية لأحد خطوط المسح في المرثية. وحيث ان درجة التغير في القيم الرقمية من منطقة الى أخرى في المرثية قد تكون كبيرة أو صغيرة، لذا فان الانحدارات في المنحنى قد تكون شديدة أو خفيفة، فاذا كان الفارق كبيرا فان المنحنى يكون شديد الانحدار والعكس صحيح. والمناطق شديدة الانحدار دائما تكون صغيرة وذات تردد عال High-frequency، وذلك مثل الحدود بين

الحقول الزراعية المختلفة، بينما المناطق خفيفة الانحدار تكون كبيرة وذات تردد منخفض Low-frequency، وذلك مثل المناطق التي يحدث فيها تغير تدريجي للغطاء النباتي الطبيعي بسبب الارتفاع. وبمعنى آخر يحدث التردد العالي إذا كانت درجة التغير في القيم الرقمية كبيرة، ويحدث التردد المنخفض إذا كان التغير تدريجياً (Tarabzouni, 1981, Drury, 1987). واستخدام مرشح التردد العالي High-pass Filter يمكن من زيادة التباين بين الظواهر الصغيرة في المرئية والظواهر المحيطة بها، أما مرشح التردد المنخفض Low-pass Filter فيستخدم لتحسين الظواهر الكبيرة في المرئية. الشكل ٢٩ يمثل مرئية تغطي جزءاً صغيراً من أحد أحواض التصريف بوسط المملكة العربية السعودية. فبمقارنة المرئية الأصلية مع المرئية المحسنة يتبين أن الظواهر الصغيرة أكثر وضوحاً على المرئية المحسنة.

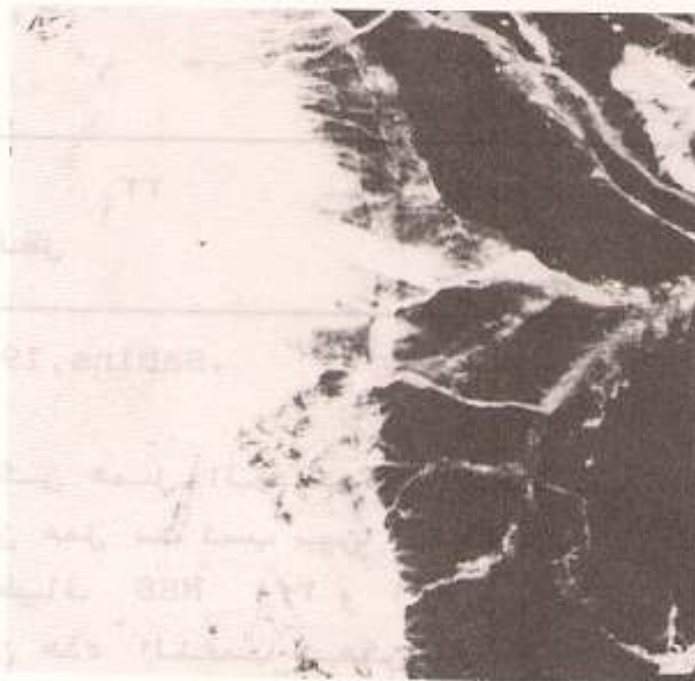
٦-٤-٦-٦ القيمة المرسومة

٣-١-٢-٤ نسب النطاقات: في هذه الطريقة ينسب نطاق إلى آخر وذلك بقسمة القيمة الرقمية لكل عنصر صورة في هذا النطاق على القيمة الرقمية لعنصر الصورة نفسه في النطاق الآخر (Sabins, 1978). ثم تطبق على هذه النسب (القيم الرقمية الجديدة لعناصر الصورة) طريقة زيادة التباين في المرئية. وتطبيق طريقة نسب النطاقات يساعد على التمييز بين الظواهر المتشابهة، وذلك لأنها تظهر الاختلافات في انحدارات منحنيات أطراف المواد بين نطاقين. يضاف إلى ذلك أن تطبيق هذه الطريقة يساعد على التغلب على مشكلة اختلاف كمية الطاقة المنعكسة من الأجسام التي تتكون من المادة نفسها؛ وذلك بسبب تأثير طبوغرافية السطح (جدول

شكل ٢٩ مرثية نطاق ٤ التي تغطي جزءا صغيرا من احد
 احواض التصريف بوسط المملكة العربية السعودية
 (أ) المرثية الاصلية قبل تحسينها (ب) المرثية
 بعد تحسينها بمرشح الترددات العالية (٣×٣)



أ



ب

(١٢). فمن هذا الجدول يتبين اختلاف كمية الأشعة المنعكسة في الجزء المعرض لضوء الشمس من طبقة الصخور الرملية عنها في الجزء الواقع في الظل في نطاق ١ (٤) ونطاق ٢ (٥)، ولكن النسب بين النطاقين تكاد تكون متساوية لكلا الجزأين.

وفي المقابل فإن إخفاء أو طمس Suppress الفروق في معامل الانعكاس يعد العيب الرئيسي لهذه الطريقة؛ وذلك لأن الأجسام التي تختلف كمية الطاقة المنعكسة منها يصعب التمييز بينها إذا كانت انحدارات منحنيات أطيفها متشابهة (Drury, 1987).

جدول ١٢ إزالة الاختلاف في كمية الطاقة المنعكسة بسبب الظل

نطاق ١	نطاق ٢	نطاق ١ ÷ نطاق ٢	
٢٨	٤٢	٠,٦٦	صخور رملية معرضة لضوء الشمس
٢٢	٣٤	٠,٦٥	صخور رملية واقعة في الظل

المصدر: Sabins, 1978.

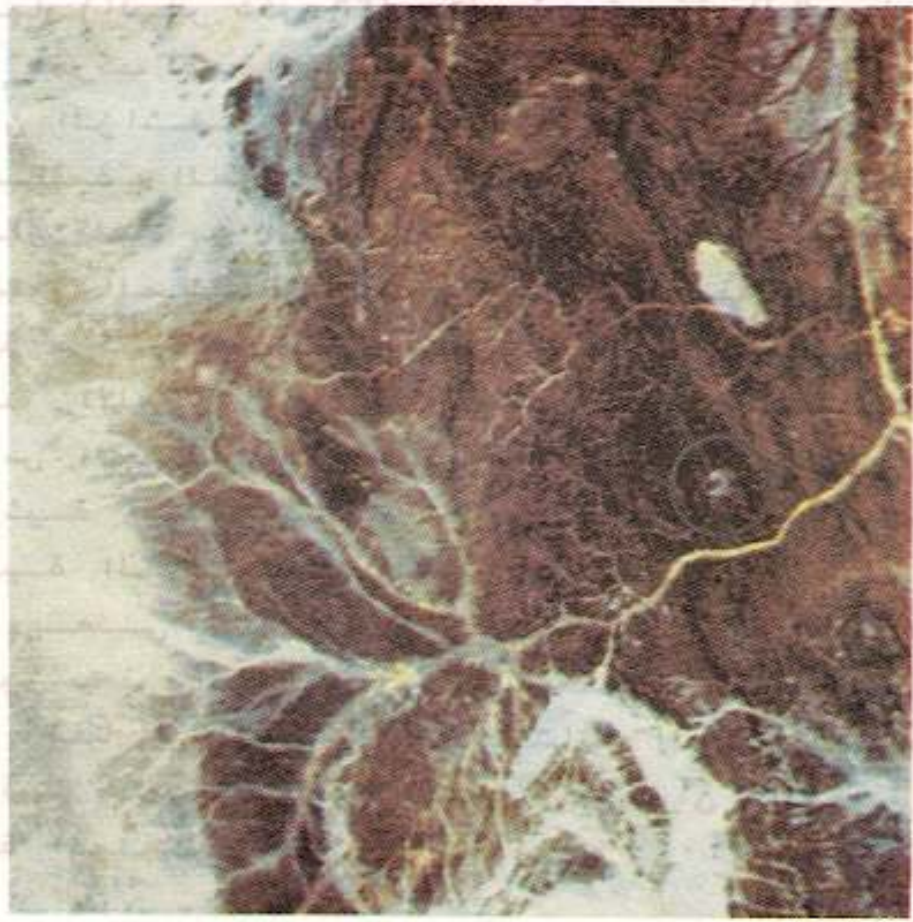
ويمكن عمل العديد من النسب بين النطاقات، فمثلاً يمكن عمل ست نسب بين النطاقات الأربعة للماسح متعدد الأطياف MSS ٢/١ و ٣/١ و ٤/١ و ٣/٢ و ٤/٢ و ٤/٣. ومن هذه النسب يمكن إنتاج مرئيات بالألوان الزائفة (الخاطئة)، وذلك بعمل مركب من ثلاث نسب.

الشكل ٣٠ عبارة عن مرثية مركب ثلاث نسب هي: ٢/١ (ازرق)، و ٤/١ (اخضر)، و ٤/٢ (احمر) التي تغطي الأجزاء العليا لأحد أحواض التصريف بوسط المملكة العربية السعودية. وبمقارنة هذه المرثية مع مرثية مركب الألوان الزائفة العادية التي تغطي المنطقة نفسها (انظر شكل ٢٦) يتضح أن شبكة التصريف على مرثية مركب نسب النطاقات تكون أوضح منها على مركب الألوان الزائفة العادية. وبالإضافة إلى ذلك فإن المنطقة الصغيرة (المحاطة بدائرة) الواقعة إلى الشمال قليلاً من المجرى الرئيسي التي تختلف صخورها عن صخور المناطق المحيطة بها تبدو واضحة على مرثية مركب نسب النطاقات، بينما يصعب تمييزها على مركب الألوان الزائفة العادية. وفي المقابل ظهر القوس الجبلي الواقع في منتصف الجزء الجنوبي من المرثية بلون يشبه اللون الذي ظهرت به المنطقة السهلية الواقعة في الجزء الغربي من المرثية. وهذا يعني أن هذه الطريقة يمكن أن تسهل عملية تمييز بعض الظواهر، ولكنها مضللة أحياناً. فكما ذكر آنفاً أن الأجسام التي تتشابه انحدارات منحنيات أطرافها يصعب التفريق بينها، حتى وإن اختلفت كمية الطاقة المنعكسة منها.

٣-١-٢-٥ تحليل المركبات الرئيسية :

في معظم الحالات يوجد تشابه في معامل الانعكاس للمواد في النطاقات المختلفة، ولذا فإنه عندما يرسم شكل انتشاري Scatter Graph للقيم الرقمية لأي نطاقين من النطاقات فإن معظم النقاط تقع على الخط القطري Diagonal Line للشكل أو بالقرب منه (شكل ٣١-١). وهذا الارتباط العالي يدل على وفرة Redundancy المعلومات، مما يؤدي إلى حجب (غمر) Obscure بعضها. وللتغلب على هذه المشكلة تستخدم

شكل ٣٠ مرئية مركب نسب المناطق ٢/١ ازرق و ٤/١
 اخضر و ٤/٢ احمر التي تغطي الاجزاء العليا لاجزاء
 احواض التصريف بوسط المملكة العربية السعودية.



التي هي عبارة عن
 مناطق مختلفة
 من حيث
 التضاريس
 والارتفاعات
 حيث
 توجد
 مناطق
 مرتفعة
 ومناطق
 منخفضة
 مما
 يؤثر
 على
 أنماط
 الجريان
 السطحي
 وتوزيع
 المياه
 في
 هذه
 المناطق
 المختلفة.

بعض الطرق الاحصائية لوصف البيانات، وذلك باعادة توزيعها Redistribute على محاور جديدة. ومن أكثر الطرق الاحصائية استخداما طريقة تحليل المركبات الرئيسية التي يمكن تطبيقها على جميع النطاقات. وعند تطبيق هذه الطريقة توضع المتوسطات Means عند الصفر، وذلك بتغيير مواقع المحاور كما في شكل ٣١-ب، ثم تحرك هذه المحاور بزواوية معينة حتى يمر أحدهما بأكبر عدد من النقاط، وبذلك يتكون محور المركب الرئيسي الأول Axis of the First Principle Component الذي غالباً ما يضم نسبة كبيرة من البيانات. والمحور المتعامد على محور المركب الرئيسي الأول يطلق عليه محور المركب الرئيسي الثاني الذي يظهر بعض المعلومات المغمورة (شكل ٣١-ج). وإذا كان للبيانات أكثر من بعدين فإنه يمكن عمل العديد من محاور المركبات الرئيسية يتفق عددها مع عدد النطاقات المستخدمة (Curran, 1985, Drury, 1987).

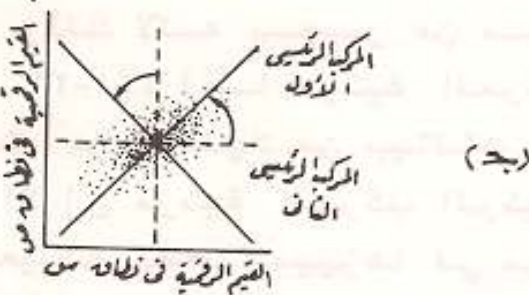
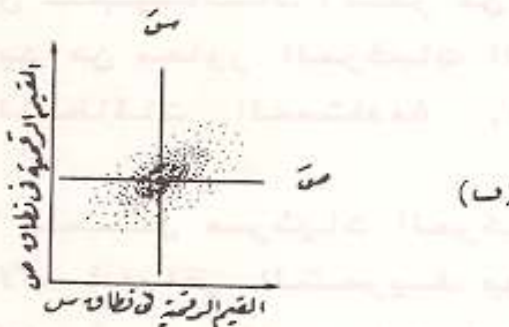
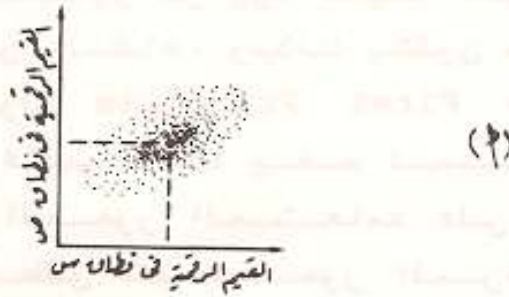
الشكل ٣٢ يمثل مرثيات المركبات الرئيسية للأجزاء العليا لأحد أحواض التصريف بوسط المملكة العربية السعودية. ويتبين من هذا الشكل ان التباين كبير، والتنوعية جيدة في مرثية المركب الرئيسي الأول؛ وذلك لأنه يعبر عن معظم بيانات المرثية (شكل ٣٢-أ)، أما مرثية المركب الرئيسي الثاني فتمثل جزءاً قليلاً من بيانات المرثية على الرغم من ذلك، إلا أن مرثية المركب الرئيسي الثاني توضح ظواهر معينة يصعب تمييزها في مرثية المركب الرئيسي الأول (شكل ٣٢-ب). أما مرثية المركب الرئيسي الثالث فتمثل جزءاً ضئيلاً من بيانات المرثية؛ ولذلك تظهر بنوعيه رديئة، ولكنها تساعد على تمييز بعض الظواهر التي لا تظهر على مرثية المركب الرئيسي الأول (شكل ٣٢-ج). ويمكن جمع هذه

شكل ٣١ المركبات الرئيسية في المرئية

(أ) توزيع القيم الرقمية لنطاقين

(ب) وضع المتوسطات عند الصفر

(ج) محورا المركبات الرئيسية الأول والثاني.



المصدر: Drury, 1987.

المركبات في مرئية ملونة وذلك لتسهيل عملية التمييز بين الظواهر المختلفة (شكل ٢٢-د).

٣-١-٣ تصنيف المرئية :

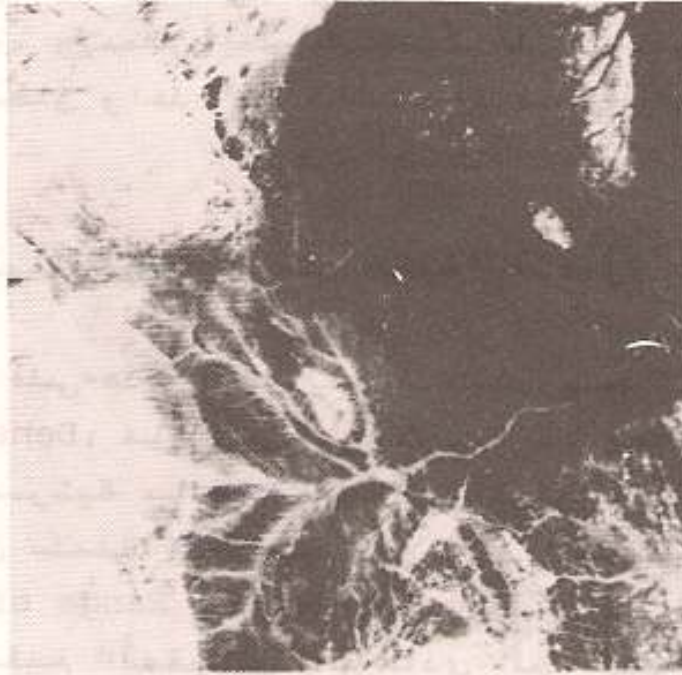
المقصود بالتصنيف هنا تقسيم المرئية الى اقاليم جغرافية حسب القيم الرقمية لعناصر الصورة في المرئية. ويمكن عمل التصنيف على اساس القيم الرقمية لنطاق واحد، او باستخدام معلومات أكثر من نطاق.

٣-١-٣-١ تصنيف المرئية حسب القيم الرقمية في نطاق واحد :

يطلق على هذه الطريقة تشريح الكثافة Density Slicing، فالعين البشرية قد يصعب عليها تفسير المرئية باللون الاسود والابيض؛ وذلك لانها تتكون من سلسلة متصلة من تدرج اللون الرمادي Continuous Range of Gray Tone. وتسهيلا لعملية التفسير يقسم المقياس الرمادي الى مجموعات حسب كثافتها، ثم تعطى كل مجموعة لونا او رمزا معيناً، وبذلك يتم الحصول على خريطة موضوعية Thematic Map. ويمكن تطبيق هذه الطريقة على مرئية نطاق واحد فقط، وكذلك على مرئيات نسب النطاقات كل على حدة (Sabins, 1978, Gillespie, 1980, Drury, 1987).

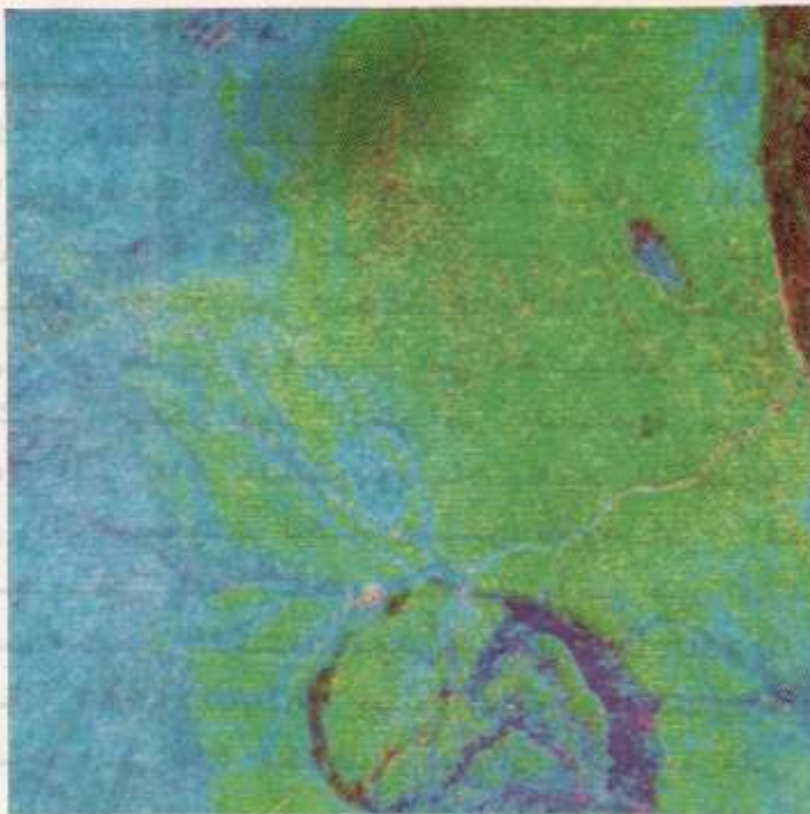
وعلى الرغم من ان شرائح الكثافة لنطاق واحد يعد تصنيفا غير دقيق Crude Classification الا انه يمكن استخدامها لرسم خريطة موضوعية للمناطق التي تتكون من مواد سطحية قليلة ومتباينة في اطيافها بشكل كبير. اما اذا كان توزيع الاعمدة البيانية للقيم الرقمية في المرئية متقاربا فان نتائج هذا

شكل ٣٢ مرثيات المركبات الرئيسية التي تغطي الاجزاء العليا لاجزاء التصريف بوسط المملكة العربية السعودية: (أ) مرثية المركب الرئيسي الأول (ب) مرثية المركب الرئيسي الثاني (ج) مرثية المركب الرئيسي الثالث (د) مرثية مركب الالوان الزائفة للمركبات الرئيسية الثلاثة.





2



3

Howard and Mitchell, 1982.

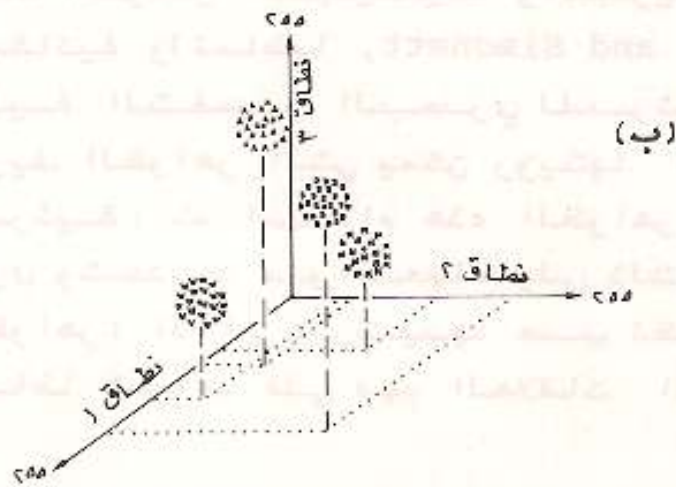
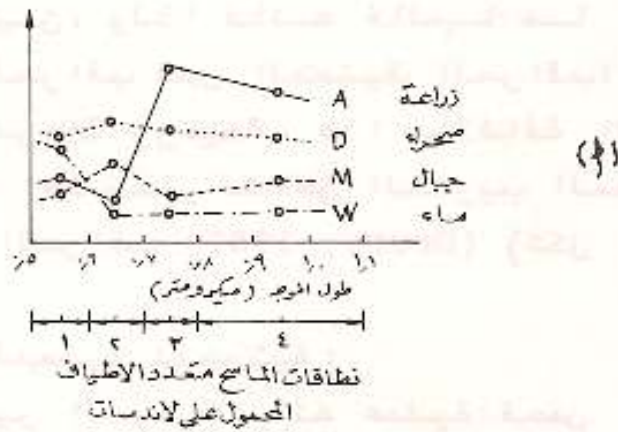
التصنيف قد تكون مضللة، ولكن هذه المشكلة يمكن التغلب عليها بتصنيف معلومات أكثر من نطاق في آن واحد.

٣-١-٢-٣ تصنيف المرئية حسب القيم الرقمية لعدة نطاقات:

استخدام أكثر من نطاق يمكن من تحديد أبعاد الظاهرة Feature Space، وذلك يكون وفقا لمواقع القيم الرقمية على المقياس الرمادي في هذه النطاقات، ويتضح ذلك عند رسم القيم الرقمية لأكثر من نطاق بيانيا (شكل ٢٣)، ففي هذا الشكل يحدد موقع كل عنصر صورة حسب قيمته الرقمية في النطاقات ١ (٤) و ٢ (٥) و ٣ (٦)، وبذلك تكون عدة تجمعات Clusters.

يوجد طريقتان لتصنيف المرئية متعددة الأطياف، هما: التصنيف المراقب Supervised Classification، والتصنيف غير المراقب Unsupervised Classification. فالتصنيف المراقب يتطلب توفر قياسات أرضية Ground Truth لمعامل الانعكاس في مناطق معينة من المرئية تمثل فئات التصنيف التي تسمى مناطق التدريب Training Areas. وهذا يعني أن المحلل هو صاحب القرار في اختيار حقول التدريب التي تمثل بشكل جيد الظواهر السطحية في المرئية. وبناء على هذه المعلومات يقوم الكمبيوتر بفحص القيم الرقمية لكل عنصر صورة في النطاقات المستخدمة ثم يحدد فئاتها. أما في التصنيف غير المراقب فتحدد الفئات موضوعيا Objectively بطريقة حسابية Algorithms، حيث يقوم الكمبيوتر بتقسيم المعلومات إلى عدة فئات، ويتم ذلك بناء على العلاقة بين القيم الرقمية في النطاقات المستخدمة (Hord, 1982, Howard and Mitchell, 1985).

شكل ٣٣: (أ) معامل الانعكاس لبعض الظاهرات
 (ب) مواقعها كتجمعات حسب القيم الرقمية لاكثر
 من نطاق



المصدر: Sabins, 1978.

والتصنيف المراقب يعطي نتائج دقيقة اذا كانت حقول التدريب تمثل بشكل جيد الظواهر السطحية في المرئية، ولكن هذا لا يتحقق الا بمعرفة تفصيلية لمنطقة الدراسة تساعد على اختيار حقول التدريب المناسبة، الا ان مثل هذه المعرفة قد لا تتوفر لدى معظم الباحثين. ولذا فانه غالباً ما يستخدم التصنيف غير المراقب قبل التصنيف المراقب؛ وذلك لان هذه الطريقة سريعة ورخيصة، هذا بالإضافة الى انها تسهل عملية اختيار مناطق التدريب المطلوبة في تطبيق التصنيف المراقب (Drury, 1987) (شكل ٣٤).

٣-٢ التفسير البصري للمرئية :

يعرف تفسير المرئية بانه عملية فحص المرئية بهدف تعريف الظواهر الطبيعية والبشرية، وفهم علاقاتها المكانية وأنماطها (Estes and Simonett, 1975). فعملية التفسير البصري للمرئية تبدأ باكتشاف وتعريف الظواهر التي يمكن رؤيتها مباشرة من على المرئية، ثم استخدام هذه الظواهر للتعرف على ظواهر أخرى وتحديد مواقعها. يلي ذلك عملية تصنيف الظواهر، اذ ان ترتيبها حسب نظام معين سيعطي أنماطاً تساعد على فهم العلاقات المكانية بين الظواهر.

وعلى الرغم من ان عملية التفسير تتأثر بهدف مستخدم المرئية Interpreter الا ان جميع المستخدمين لمرئيات الاستشعار عن بعد المختلفة يراعون عدة عوامل أثناء عملية التفسير، مثل مقياس الرسم والوضوح المكاني Spatial Resolution والغيوم، ومقدار الميل عن المحور الراسي، وكذلك الخصائص العامة للظواهر، مثل الحجم Size والشكل Shape والظل Shadow ودرجة اللون Tone/color والنسيج Texture والنمط Pattern. بالإضافة الى ذلك يستعين

مستخدموا المرئيات ببعض الطرق لتسهيل عملية التفسير، وذلك مثل طريقة التجسيم Stereoscopic التي تسمح برؤية الأجسام بأبعادها الثلاثة، وكذلك طريقة إنتاج الموزايك Images Mosaic التي تلعب دورا رئيسيا في عملية التفسير للمناطق الكبيرة. ولذلك سنتناقش العناصر المذكورة آنفا في هذا الفصل.

٣-٢-١ أهم العوامل المؤثرة في تفسير المرئية:

٣-٢-١-١ مقياس الرسم:

يمكن تعريف مقياس الرسم بأنه النسبة بين المسافة على الخريطة والمسافة الأفقية على الطبيعة بوحدة القياس نفسها، فمثلا إذا كان طول المسافة على الخريطة بين نقطتين سنتيمترا واحدا والمسافة بينهما على الطبيعة ١٠٠٠٠٠ سم فإن مقياس الرسم يكون ١:١٠٠٠٠٠٠. ومقياس الرسم قد يكون كبيرا (١:١٠٠٠٠٠) أو صغيرا (١:١٠٠٠٠٠٠٠). وعلى الرغم من أن المرئية ليست خريطة إلا أنها سجلت (صورت) بمقياس رسم معين.

والمقياس رسم المرئية يؤثر على كمية المعلومات التي يمكن الحصول عليها من المرئية؛ إذ إن بعض التفاصيل لا تظهر على المرئية صغيرة المقياس إلا أنه بتكبير المرئية يمكن الحصول على معلومات أكثر؛ وذلك لأن حجم الظاهرة يكبر على المرئية، ومن ثم يسهل تمييزها. ولكن الحصول على تفاصيل أكثر من المرئية يتوقف إذا وصلت عملية التكبير إلى حد معين يرتبط بالوضوح المكاني لها.

٣-٢-١-٢-٣ الوضوح المكاني:

كل نظام استشعار له قدرة تبيين Resolution معينة يمكن تعريفها بأنها قدرة جهاز الاستشعار عن بعد على تسجيل تفاصيل الظواهر الصغيرة ليتمكن تمييزها على المرئية (Estes and Simonett, 1975). وأبعاد أصغر جسم يمكن تمييزه على المرئية هي التي تحدد الوضوح المكاني للمرئية (Hord, 1982) والتي تعتمد بشكل رئيسي على وحدة التباين الأرضي Ground Resolution Cell التي يسجل المكشاف أشعتها في آن واحد (التي تمثل مساحة عنصر الصورة). وبناء على ذلك فإنه كلما كان الوضوح المكاني صغيرا كلما زادت القدرة على تمييز الظواهر الصغيرة والعكس صحيح. فعلى سبيل المثال إذا كان الوضوح المكاني للمرئية ٨٠ م فإن الأجسام التي تكون أبعادها مساوية لهذه القيمة أو أكبر منها يمكن تمييزها على المرئية، إلا أنه يمكن تمييز ظواهر أصغر من ذلك، وذلك لأن الوضوح المكاني تأثر بعدة عوامل من أهمها حدة التباين بين الجسم والأجسام المحيطة به، وكذلك نسبة طول الجسم الى عرضه. ولهذا السبب يمكن تمييز الطرق والمجاري المائية الضيقة على مرئيات لاندسات التي لها وضوح مكاني قدره ٧٩ مترا.

٣-٢-١-٣-٣ الغيوم:

نظرا لأن قطرات الماء الموجودة في السحب والضباب تؤدي الى تشتت معظم الطاقة الساقطة في موجات الطيف المرئي وتحت الحمراء (Drury, 1987)؛ لذا فإن السحب تمنع استشعار الظواهر الأرضية عند استخدام الأجهزة الحساسة للطاقة في هذه الموجات. ولهذا السبب فإن كثيرا من مرئيات الأقمار الصناعية للمناطق التي يسود فيها الطقس الغائم لا يستفاد

منها. وتؤثر الغيوم حتى القليل منها على عملية التفسير. فعلاوة على أنها تؤثر على تفسير المناطق التي تغطيها فظلها يغطي مناطق أخرى مؤديا الى خفض معامل الانعكاس فيها، ولذا تظهر هذه المناطق بلون قاتم يشبه اللون الذي تظهر به بعض الظواهر الطبيعية، وذلك مثل المسطحات المائية التي تظهر باللون الاسود. ولهذا السبب يجب مراعاة ظل السحب تفاديا لحصول أخطاء في عملية التفسير. ويساعد على ذلك معرفة اتجاه ظل السحب في المرئية الذي تحدده زاوية سقوط أشعة الشمس وموقع الشمس الافقي. (Richason, 1978). بالاضافة الى ذلك تظهر الغيوم ومناطق الثلج والجليد بلون فاتح على المرئية، وذلك ناتج عن تشابه معامل الانعكاس لهذه الظواهر. وهذا أيضا قد يؤدي الى حدوث أخطاء أثناء عملية التفسير الا أن وجود الظل يساعد على التمييز بين هذه الظواهر.

٣-٢-١-٤ الميل في المرئية :

عند تفسير المرئية يؤخذ في الاعتبار مقدار الميل فيها؛ وذلك لأن الأشكال التي تظهر بها الظواهر تختلف حسب درجة ميل محور جهاز الاستشعار عن المحور الراسي اذ انه في المرئية الرأسية يظهر مسقط الظاهرة، أما المرئية المائلة فهي تعطي رؤية جانبية للظاهرة. اضافة الى ذلك مقياس الرسم ليس موحدًا على المرئية المائلة.

٣-٢-٢ الرؤية المجسمة :

الرؤية المجسمة هي ابصار الظواهر بأبعادها الثلاثة التي تتحقق نتيجة لحدوث الابتعاد Parallax في المرئيات. والابتعاد هو التغير الظاهري Apparent لموقع ظاهرة بالنسبة لأخرى عندما يتغير

مكان الرؤية (الطحلاوي، ١٩٧٩، العنقري، ١٩٨٦). فالابتعاد في المرئيات يحدث نتيجة لتصوير الظاهرة مرتين من موقعين مختلفين سواء على طول خط التصوير الأرضي، أو من خطين مختلفين، أو من ارتفاعين مختلفين.

في الصور الجوية يتم تصوير الظواهر من مكانين مختلفين على طول خط التصوير بطريقة تسمح بحدوث التداخل بين الصور المتلاحقة؛ ولذلك فإن الأزواج المتداخلة من الصور الجوية تمكن من رؤية الظواهر بأبعادها الثلاثة. أما في مرئيات لاندسات فيحدث تداخل جانبي بين المرئيات المتجاورة، ولكن التداخل يختلف من مكان إلى آخر. فمثلا التداخل بين مرئيات لاندسات-١ ولاندسات-٢ ولاندسات-٣ يتراوح ما بين ١٤% و ٨٥% عند خط الاستواء ودائرة عرض ٨٠ درجة على التوالي. وهذا التداخل يسمح بالرؤية المجسمة إلا أن معامل المبالغة الرأسية منخفض في هذه المرئيات (Sabins, 1978). من ناحية أخرى صممت أجهزة الاستشعار التي يحملها القمر الصناعي الفرنسي سبوت، بحيث يمكن أمالتها يمينا أو يسارا عن الممر الأرضي للقمر الصناعي بزواوية معينة تصل إلى ٢٧ درجة، الأمر الذي يجعل تصوير المنطقة ممكنا من موقعين مختلفين، وتوفر هذا النوع من المرئيات يسمح بالرؤية المجسمة (Curran, 1985). وأخيرا توجد أكثر من طريقة لأحداث الابتعاد في مرئيات الرادار وذلك بتصوير المنطقة مرة ثانية من الجانب المعاكس، وذلك بنفس زاوية الانخفاض أو بتصويرها من نفس الجانب، ولكن بزواوية انخفاض مختلفة. إلا أن الرؤية المجسمة من المرئيات المأخوذة من جوانب متعاكسة صعبة وخصوصا في المناطق شديدة التضرس، وذلك بسبب الاختلاف في اتجاه الظل فيها (Lo, 1986).

٣-٢-٣ الموزايك:

يمكن تعريف الموزايك بأنه مجموعة من المرثيات المتجاورة تجمع بطريقة خاصة لتعطي مرثية واحدة لكامل المنطقة التي تغطيها المرثيات المفردة (فريدة، ١٩٨٢). ويعد الموزايك ذا أهمية كبيرة في عملية التفسير؛ وذلك لأنه يظهر مساحة أكبر من التي تظهرها المرثيات المفردة، وهذه الخاصية تساعد على تعريف الظواهر الجغرافية التي تغطي مساحة كبيرة، وفهم علاقاتها المكانية وانماطها. والموزايك يمكن عمله من الصور الجوية، أو من مرثيات الأقمار الصناعية، أو من مرثيات الرادار.

٣-٢-٤ عناصر تمييز الظواهر في المرثية:

تستخدم خصائص الظواهر كعناصر دالة Key elements للتعرف عليها. وفيما يلي أهم عناصر تمييز الظواهر في المرثية:

١- درجة اللون: عرفنا في الفصول السابقة أن أجهزة الاستشعار عن بعد تسجل الطاقة الكهرومغناطيسية المنعكسة أو المنبعثة من الأجسام حسب كثافتها التي تختلف باختلاف الأجسام. ولذا فإن ألوان الأجسام (مواد السطح) على المرثية تعتمد على كمية الطاقة المنعكسة أو المنبعثة منها. فالأجسام التي تعكس أو تبعث كمية كبيرة من الأشعاع الكهرومغناطيسي تظهر على المرثية (الأسود والأبيض) باللون الفاتح، أما الأجسام التي تعكس أو تبعث طاقة قليلة فتظهر باللون الداكن.

في المرثيات الملونة -سواء كانت الألوان الحقيقية أو الألوان الزائفة (الخاطئة) - يعد اللون عنصراً مهماً في عملية تعريف الظواهر؛ وذلك لأن أعيننا قادرة على إدراك الألوان المختلفة وتمييزها أكثر من تدرج اللون الرمادي. فالألوان الحقيقية

تسهل عملية التفسير؛ وذلك لأن الأجسام تظهر برؤية مألوفة للشخص الذي يعمل على تفسير المرئية. أما الألوان الزائفة فتسهل أيضا العملية، لأن التباين بين الألوان يكون كبيرا. إضافة إلى ذلك فإن الألوان الزائفة العادية في المرئيات المأخوذة من الفضاء والألوان الزائفة في الصور الجوية تحت الحمراء لها مدلولات خاصة (انظر جدول ٧).

٢- النسيج: هو تكرار تغير درجة اللون في المرئية الذي يحتوي على عدد من الأجسام التي لا يمكن تمييزها على أفراد، والذي يعطي انطبعا عن درجة خشونة أو نعومة الظواهر على المرئية. ويؤثر مقياس الرسم والوضوح المكاني على حجم الأجسام التي تحدد نسيج المرئية. كما أن المقياس يؤثر أيضا على درجة النعومة على المرئية إذ أنه كلما صغر المقياس كلما زادت نعومة النسيج عليه.

٣- النمط: يقصد به الترتيب والتنظيم المكاني للأجسام على المرئية. فالعلاقات المكانية بين بعض الظواهر تعطي أنماطا معينة. فالعلاقات المكانية بين المجاري المائية في أحواض التصريف والعلاقات بين الشوارع في المدن -مثلا- تعطي أنماطا مميزة تسهل تعريفها.

٤- الشكل: يقصد به الهيئة التي يظهر بها مسقط الجسم (حدوده الخارجية) على المرئية. فالظواهر على المرئية تأخذ أشكالا مختلفة تساعد على تعريفها. فالمجاري والطرق -مثلا- تظهر على شكل خطوط، وبعض الكثبان الرملية تأخذ أشكالا هلالية، والمباني تظهر على شكل مربع أو مستطيل.

٥- الحجم: يقصد به أبعاد الظواهر في المرئية التي تحدد مساحتها وحجمها. فقياسات أبعاد الظاهرة تساعد على معرفتها خصوصا إذا وجدت أكثر من ظاهرة تأخذ الشكل نفسه.

المراجع

البننا، علي علي، (١٩٨٣)، الاستشعار من بعد وتطبيقاته الجغرافية في مجال استخدام الأراضي، الجمعية الجغرافية الكويتية، الكويت.

الدهراوي، خضر، (١٩٨٧)، مكوك الفضاء، دار المريخ، الرياض.

الطحلاوي، محمد رجائي، (١٩٧٩)، الجيولوجيا التصويرية، مكتبة الفلاح، الكويت.

العنقري، خالد محمد، (١٩٨٦)، الاستشعار عن بعد وتطبيقاته في الدراسات المكانية، دار المريخ، الرياض.

رضوان، علي، (١٩٧٩)، المساحة التصويرية، دار عكاظ، جدة.

شعبان، سعد، (١٩٧٣)، الاقمار الصناعية وسفن الفضاء، دار الفكر العربي، دمشق.

طربوش، امين، (١٩٨٢)، دراسة الارض من الفضاء، دار الفكر، دمشق.

فرحان، يحيى عيسى، (١٩٨٧)، الاستشعار عن بعد وتطبيقاته، الجزء الأول الصور الجوية، دار مجدلاوي للنشر والتوزيع، عمان.

فريدة، اسماعيل، (١٩٨٢)، الصور الجوية تفسيرها وتطبيقاتها، مكتبة الفلاح، الكويت.

Al-Khatieb, S.O., (1981), Detection of Surface Evidence of Sub-surface Structures by Interpretation Methods of Landsat Imagery in the Sedimentary Rocks of Central Saudi Arabia, Unpublished Ph D Thesis, University of London.

Al-Saleh, M.A., (1988), The Application of the Systematic Mapping of Geomorphology for Groundwater Assessment in Wadi Al-Khanagah, Central Saudi Arabia, Unpublished Ph D Thesis, University of Southampton.

Barrett, E.C., and Curtis, L.F., (2nd ed), (1982), Introduction to Environmental Remote Sensing, Chapman and Hall, London.

Curran, P.J., (1985), Principles of Remote Sensing, Longman, London.

Drury, S.A., (1987), Image Interpretation in Geology, Allen & Unwin, London.

Estes, J. E., and Simonett, D. S., (1975), Fundamentals of Image Interpretation, In: R.G. Reeves, et. al., Manual of Remote American Society of Photogrammetry, Falls Church, Virginia.

Fraser, R.S., and Curran, R.J., (1976), Effects of the Atmosphere on Remote Sensing. in: J. Lintz, and D.S. Simonett, (eds), Remote Sensing of Environment, Addison-Wesley Publishing Company, London.

Gillespie, A.R., (1980), Digital Techniques of Image Enhancement, In: B.S. Siegal, et. al., (eds), Remote Sensing in Geology, John Wiley & Sons, New York.

Haefner, H., (1989), Remote Sensing - Thematic, Methodological and Technical Perspectives, Applied Geography and Development, Vol 34, pp 68-89.

Hardy, J.R., (1981), Data Collection by Remote Sensing for Land Resources Survey, In: J.R.G. Townshend, (ed), Terrain Analysis and Remote Sensing, George Allen & Unwin, London.

Hord, R.M., (1982), Digital Image Processing of Remotely Sensed Data, Academic Press, New York.

Howard, J. A., and Mitchell, C. W., (1985), Phytogeomorphology, John Wiley&Sons, New York.

Hunt, G.R., (1980), Electromagnetic Radiation: The Communication Link in Remote Sensing, In: B.S. Siegal, et. al., (eds), Remote Sensing in Geology, John Wiley & Sons, New York.

Lillesand, T.M., and Kiefer, R.W., (1987), (2nd ed), Remote Sensing and Image Interpretation, John Wiley & Sons, New York.

Lo, C.P., (1976), Geographical Applications of Aerial Photography, Crane, Russak & Company, Inc., New York.

Lo, C.P., (1986), Applied Remote Sensing, Longman Scientific & Technical, Harlow, England.

MacDonald, H. C., (1980), Techniques and Applications of Imaging Radars, In: B.S. Siegal, et. al., (eds), Remote Sensing In Geology, John Wiley & Sons, New York.

Millington, A.C., and Townshend, J.R.G., (1987), The Potential of Satellite Remote Sensing for Geomorphological Investigations - An Overview, In: V. Gardiner, (ed), International Geomorphology 1986, John Wiley & Sons, pp 331-342.

Rehder, J. B., (1978), Multispectral Remote Sensing, In: B.F. Richason, JR., Introduction to Remote Sensing of the Environment, Kendall/Hunt Publishing Company, Dubuque, Iowa.

Richason, B.R., JR, (1978), Landsat Platforms, Systems, Images, and Image Interpretation, In: B.R. Richason, JR, (ed), Introduction to Remote Sensing of the Environment, Kendall/Hunt Publishing Company, Dubuque, Iowa.

Sabins, F. F., JR, (1978), Remote Sensing Interpretation, W.H. Freeman and Principles and Company, San Francisco.

Slater, P.N., (1980), Remote Sensing Optics and Optical Systems, Addison-Wesley Publishing Company, London.

Tarabzouni, M. A., (1981), Computer-enhanced Landsat Images for Ground Water Exploration in the Northern Arabian Shield: Ha'il Test Site, Unpublished Ph D Thesis, University of Tennessee.

Townshend, J.R.G. (1981), Image Analysis and Interpretation for Land Resources Survey, In: J.R.G. Townshend, (ed), Terrain Analysis and Remote Sensing, George Allen & Unwin, London.

Townshend, J.R.G., (1987), Remote Sensing - Global and Local Views, In: M.J. Clark, et. al. (eds), Horizons in Physical Geography, Macmillan Education Ltd, London.

Whiteford, G., (1978), Aerial Photograph Interpretation as Remote Sensing, In: B.F. Richason, JR., Introduction to Remote Sensing of the Environment, Kendall/Hunt Publishing Company, Dubuque, Iowa.

المصطلحات
انجليزي-عربي

Absolute zero	الصفر المطلق
Active microwave	الميكرويف الفعال
Advanced Very High Resolution Radiometer (AVHRR)	الراديو متر عالي الوضوح المتقدم جدا
Albedo (reflection coefficient)	معامل الانعكاس
Apollo	ابولو
Atmospheric windows	نوافذ الغلاف الجوي
Band	نطاق
Band ratioing	نسب النطاقات
Blackbody	الجسم الاسود
Charge transfer	انتقال الشحنة
Chlorophyll	الكلوروفيل (اليخضور)
Complex dielectric constant	ثابت العازل المركب
Computer compatible tape (CCT)	اشرطة كمبيوتر
Contrast stretching	زيادة التباين
Corner reflection	انعكاس الأركان
Cosmas	كوزموس
Costal Zone Colour Scanner (CZCS)	ماسح المناطق الساحلية الملون
Density slicing	تشريح الكثافة
Depression angle	زاوية الانخفاض
Detector	المكشاف
Diffuse reflection	الانعكاس الانتشاري
Digital image	المرئية الرقمية
Digital number (DN)	القيمة الرقمية
Earth Resource Technology Satellite (ERTS)	القمر الصناعي التكنولوجي للموارد الأرضية
Earth Terrain Camera	آلة تصوير البيئة الطبيعية لسطح الأرض
Electromagnetic radiation	الاشعاع الكهرومغناطيسي
Electromagnetic spectrum	الطيف الكهرومغناطيسي
Electronic process	العملية الالكترونية
Emissivity	قدرة الانبعاث
EROS Data Center	مركز بيانات ايروس
False colour composite	مركب الألوان الزائفة
Free electrical charges	الشحنات الكهربائية الحرة
Filter	مرشح
Frequency	التردد
Gemini	جيميني
Geosynchronous	متزامن مع دوران الأرض
Gray scale	المقياس الرمادي
Ground resolution cell	وحدة التباين الأرضية
Ground truth	قياسات أرضية
High Resolution Visible (HRV)	جهاز الاستشعار عالي الوضوح
High pass filter	مرشح الترددات العالية

Image	مرئية (منظر)
Image classification	تصنيف المرئية
Image correction	تصحيح المرئية
Image enhancement	تحسين المرئية
Incidence angle	زاوية سقوط الأشعاع
Ka band	نطاق Ka
Kinetic temperature	الحرارة الحركية
L band	نطاق L
Landsat	لاندسات
Lineaments	السمات الخطية
Line scanner	الماسح الخطي
Low pass filter	مرشح الترددات المنخفضة
Mercury	ميركوري
Meteor	ميتور
Microwave	ميكرويف
Microwave Radiometer	راديو متر الميكرويف
Mie scatter	تشتت مي
Mosaic	الموزايك
Multispectral camera	آلة التصوير متعددة الأطياف
Multispectral scanner system (MSS)	الماسح متعدد (MSS) الأطياف
Nadir	النظير
NASA	ناسا
NOAA	نوا
Non-selective scatter	التشتت غير الانتقائي
Orbit	مدار
Overlap	التداخل
Parallax	الابتعاد
Passive microwave	الميكرويف غير الفعال
Pattern	النمط
Photograph	الصورة
Photosynthesis	التمثيل الضوئي
Picture element (Pixel)	عنصر الصورة
Principal component analysis (PCA)	تحليل المكونات الرئيسية
Pulse	نبضة
Pushbroom system	نظام الصف الخطي
Radar	الرادار
Radiant temperature	الحرارة الإشعاعية
Rayleigh scatter	تشتت رايلي
Reflection	الانعكاس
Remote sensing	الاستشعار عن بعد
Return Beam Vidicon (RBV)	آلة التصوير التلفزيونية
Salut	ساليوت
Satellite	قمر صناعي
Scale	مقياس الرسم
Scan line	خط المسح
Shadow	الظل

Shape	الشكل
Shells	اغلفة (مدارات)
Side-looking airborne radar (SLAR)	الرادار الجوي ذو النظرة الجانبية
Signals	الاشارات
Size	الحجم
Skylab	سكايلاب
Shuttle Imaging Radar (SIR-A)	رادار المكوك الفضائي-ا
Shuttle Imaging Radar (SIR-B)	رادار المكوك الفضائي-ب
Shuttle Multispectral Infrared Radiometer	راديو متر المكوك الفضائي متعدد الاطياف للاشعة تحت الحمراء
Space Shuttle	مكوك الفضاء
Spatial filtering	الترشيح المكاني
Spatial resolution	الوضوح المكاني
Specular reflection	الانعكاس البراق
Soyus	سيوز
Spot	سبوت
Stereoscopy	الرؤية المجسمة
Sun-synchronous	متزامن مع الشمس
Supervised classification	التصنيف المراقب
Surface roughness	خشونة السطح
Target	الهدف
Television and Infrared Observation Satellite (TIROS)	تيروس
Terrain	البيئة الطبيعية لسطح الارض
Texture	النسيج
Thematic Mapper (TM)	الماسح الموضوعي
Thermal Infrared Multispectral Scanner (TOMS)	الماسح متعدد الاطياف للاشعة تحت الحمراء الحرارية
Tone	درجة اللون
Training area	حقول التدريب
Vertical exaggeration	المبالغة الرأسية
Vibrational process	العملية التذبذبية
Visual interpretation	التفسير البصري
Voshkod	فوشكود
Vostok	فوستوك
Unsupervised classification	التصنيف غير المراقب
Wavelength	طول الموجة
X band	نطاق X

المصطلحات عربي-انجليزي

الابتعاد Parallax: هو التغير الظاهري لموقع ظاهرة بالنسبة لآخرى عندما يتغير مكان الرؤية.

ابولو Apollo: برنامج امريكي للاقمار الصناعية الحاملة لثلاثة اشخاص.

الاستشعار عن بعد Remote sensing: عبارة عن مجموعة من الطرق تستخدم لجمع المعلومات عن الاجسام والظواهر على سطح الارض دون ملامستها وذلك من مسافات قد تكون قريبة او بعيدة.

الاشارات Signals: يقصد بها الاشارات التي يرسلها المكشاف في جهاز الاستشعار ليتم تحويلها الى ارقام ثم تسجيلها.

اشرطة كمبيوتر (CCT) Computer compatible tape: اشرطة كمبيوتر تسجل عليها البيانات الرقمية لمراثيات الاستشعار عن بعد.

الاشعاع الكهرومغناطيسي Electromagnetic radiation: هو عبارة عن طاقة ذات موجات مختلفة الاطوال تسير بسرعة الضوء.

اغلفة او مدارات Shells: هي اغلفة ضبابية حول النواة في الذرة تدور فيها الالكترونات حسب مستويات طاقتها التي يزيد مقدارها من الداخل الى الخارج.

آلة التصوير التلفزيونية Return Beam Vidicon (RBV): جهاز استشعار حمله لاندسات-1 ولاندسات-2 ولاندسات-3 يعطي معلومات مرئية عن سطح الارض، والوضوح المكاني في مرئياته 80م في لاندسات-1 ولاندسات-2 و 30م في لاندسات-3 والمعلومات التي جمعت بهذا النظام ذات نوعية رديئة.

آلة التصوير متعددة الاطيف Multispectral camera: آلة تصوير متعددة العدسات صممت لتصور كل عدسة نطاق معين من الطيف الكهرومغناطيسي.

آلة تصوير البيئة الطبيعية لسطح الارض Earth Terrain Camera (ETC): آلة تصوير تم اختبارها في محطة سكايلاب والبعد البؤري لعدساتها 400م.

انتقال الشحنة Charge transfer: يقصد به انتقال الالكترونات من ايون الى آخر، مثل انتقال الالكترونات من ايونات الحديد الى ايونات الاوكسجين في المعادن التي تحتوي على هذين العنصرين.

انعكاس الاركاب Corner reflection: هذا الانعكاس يؤدي الى اعادة كمية كبيرة من الطاقة الى الرادار والذي يحدث عندما يسقط الاشعاع الكهرومغناطيسي على السطوح المستوية التي تتقاطع بزوايا قائمة مثل الحافات الصخرية وجدران المنازل.

الانعكاس الانتشاري Diffuse reflection: هو انعكاس الاشعة بشكل متساو في جميع الاتجاهات وهذا النوع من الانعكاس يحدث عندما تكون فروق الارتفاع على السطح اكبر من طول موجة الاشعاع الساقط.

الانعكاس البراق Specular reflection: هو انعكاس الاشعة بزواوية مساوية لزواوية الاشعاع الساقط وهذا النوع من الانعكاس يحدث عندما تكون فروق الارتفاع على السطح اقل من طول موجة الاشعاع الساقط.

البيئة الطبيعية لسطح الارض Terrain: الخصائص الطبيعية لسطح الارض والتي تتضمن الاشكال الجيومورفولوجية والنبات والتربة.

تحسين المرئية Image inhancement: يقصد به زيادة التباين بين الظواهر في المرئية وذلك ليسهل تفسيرها بصريا.

تحليل المركبات الرئيسية Principal component analysis (PCA): هي عملية احصائية تستخدم لوصف بيانات المرئية وذلك باعادة توزيعها على محاور جديدة.

التداخل Overlap: يقصد به المنطقة التي يشترك في تغطيتها مرئيتان متلاحقتان او متجاورتان.

التردد Frequency: يقصد به عدد الموجات التي تعبر نقطة معينة في فترة زمنية معينة.

الترشيح المكاني Spatial filtering: هو عبارة عن عملية تغيير القيم الرقمية في المرئية بهدف تحسين ظواهر معينة فيها.

التشتت غير الانتقائي Non-selective scatter: هو احد انواع التشتت للاشعاع الكهرومغناطيسي في الغلاف الجوي والذي يحدث اذا كانت اقطار جزيئات المواد اطول بكثير من طول موجة الاشعاع.

تشتمت رايلي Rayleigh scatter: هو احد انواع التشتت للاشعاع الكهرومغناطيسي في الغلاف الجوي والذي يحدث اذا كانت اقطار جزيئات المواد اصغر بكثير من طول موجة الاشعاع.

تشتمت مي Mie scatter هو احد انواع التشتت للاشعاع الكهرومغناطيسي في الغلاف الجوي والذي يحدث عندما تكون اقطار جزيئات المواد بنفس طول موجة الاشعاع.

تشريح الكثافة Density slicing: هي عملية تقسيم بيانات المرئية في المقياس الرمادي الى مجموعات حسب كثافتها ثم اعطاء كل مجموعة لونا او رمزا معيناً معطية بذلك خريطة موضوعية.

تصحيح المرئية Image correction: يقصد به تصحيح التشويه الراديومي والهندسي الناتج عن حركة اجهزة الاستشعار ووسائل حملها ودوران الأرض.

التصنيف غير المراقب Unsupervised classification: هو عملية تقسيم المرئية الى اقاليم جغرافية بطريقة حسابية بناء على العلاقة بين القيم الرقمية في النطاقات المستخدمة.

التصنيف المراقب Supervised classification: هو عملية تقسيم المرئية الى اقاليم جغرافية بناء على قياسات ارضية لمعامل الانعكاس في مناطق معينة من المرئية تمثل فئات التصنيف.

تصنيف المرئية Image classification: يقصد به تقسيم المرئية الى اقاليم جغرافية حسب القيم الرقمية لعناصر الصورة.

التفسير البصري Visual interpretation: هو عملية فحص المرئية بهدف تعريف الظواهر الطبيعية والبشرية وفهم علاقاتها المكانية وانماطها.

التمثيل الضوي Photosynthesis: هو عملية امتصاص الأشعة المرئية بواسطة الكلوروفيل في النباتات وتحويلها الى طاقة كيميائية تستغلها لانتاج مواد كربوهيدراتية من الماء وثاني اوكسيد الكربون كما ينتج الاوكسجين اثناء هذه العملية ايضاً.

تيروس Television and Infrared Observation Satellite (TIROS): برنامج امريكي للاقمار الصناعية الاوتوماتيكية اطلق اول قمر صناعي من هذه السلسلة في ابريل 1960م والذي يعد اول قمر صناعي اوتوماتيكي لجمع المعلومات المرئية عن سطح الكرة الأرضية.

ثابت العازل المركب Complex dielectric constant: يقصد به الخصائص الكهربائية للمادة التي تؤثر في الطاقة العائدة الى الرادار.

الجسم الاسود Blackbody: يقصد به الاجسام القادرة على امتصاص كل الطاقة الساقطة عليها وتبعث اعلى كمية من الطاقة في جميع الموجات، وخصائص المواد في الطبيعة لاتماثل هذه الخصائص المثالية للجسم الاسود.

جهاز الاستشعار عالي الوضوح High Resolution Visible (HRV): جهاز استشعار يحمله سبوت-1 وسبوت-2 يعمل بنظام الصف الخطي، والوضوح المكاني في مرئياته بالنظام البانكروماتيكي 10م و 20م بالنظام متعدد الاطيايف.

جيميني Gemini: برنامج امريكي للاقمار الصناعية الحاملة لشخصين في الفترة من 1965-1966م.

الحجم Size: يقصد به ابعاد الظواهر في المرئية والتي تحدد مساحتها وحجمها.

الحرارة الاشعاعية Radiant temperature: يقصد بها الحرارة الخارجة من الاجسام وهي التي يمكن قياسها بأجهزة الاستشعار عن بعد.

الحرارة الحركية Kinetic temperature: يقصد بها الحرارة الفعلية للاجسام التي تقاس بالترموومتر.

حقول التدريب Training area: مناطق معينة معروفة خصائصها تمثل فئات التصنيف في المرئية.

خشونة السطح Surface roughness: هو التضرس الصغير على سطوح الاجسام.

خط المسح Scan line: عبارة عن الشريط الارضي الذي يتكون من عدد كبير من المساحات الصغيرة المتجاورة (عناصر الصورة) والمتعامدة مع وسيلة الحمل والمرئية تتكون من عدد من خطوط المسح.

درجة اللون Tone: يقصد به تدرج اللون من الابيض الى الاسود فالاجسام التي تعكس او تبعث كمية كبيرة من الاشعاع الكهرومغناطيسي تظهر على المرئية باللون الفاتح اما الاجسام التي تعكس او تبعث طاقة قليلة فتظهر باللون الداكن.

الرادار Radar: جهاز استشعار يرسل اشعاعا كهرومغناطيسيا في موجات الميكرويف الى الاجسام لينعكس عنها ثم يعود ليسجله هذا الجهاز.

الرادار الجوي ذو النظرة الجانبية Side-looking airborne radar (SLAR): احد انواع نظم الرادار وسمي بهذا الاسم لانه ينظر من جانب واحد الى الارض .

رادار المكوك الفضائي-ا Shuttle Imaging Radar (SIR-A): وهو رادار ذو نظرة جانبية يرسل طاقته في نطاق ٢٣ سم) بزواوية انخفاض قدرها ٤٣ درجة والوضوح المكاني في مرثيته ٤٠م .

رادار المكوك الفضائي-ب Shuttle Imaging Radar (SIR-B): وهو رادار ذو نظرة جانبية يرسل طاقته في نطاق ٢٣ سم) بزواوية انخفاض متغيرة ما بين ٣٠ درجة و ٧٥ درجة والوضوح المكاني في مرثياته ما بين ١٧-٥٨م .

الراديو متر عالي الوضوح المتقدم جدا Advanced Very High Resolution Radiometer (AVHRR): جهاز استشعار يقدم معلومات مرثية حملته الاقمار الصناعية لمراقبة الطقس في برنامجي نوا NOAA وتيروس TIROS .

راديو متر المكوك الفضائي متعدد الاطياف للاشعة تحت الحمراء Shuttle Multispectral Infrared Radiometer: جهاز استشعار يعطي معلومات غير مرثية في تسعة نطاقات بين ٠,٥-٢,٤ ميكرومتر .

راديو متر الميكرويف Microwave Radiometer: عبارته عن جهاز استشعار يقيس الاشعاع الكهرومغناطيسي في موجات الميكرويف تم اختباره في محطة سكايلاب .

الرؤية المجسمة Stereoscopic: هي ابصار الظواهر بابعادها الثلاثة والتي تتحقق نتيجة لحدوث الابتعاد في المرثية .

زاوية الانخفاض Depression angle: في الرادار ذي النظرة الجانبية يقصد بها الزاوية المحصورة بين المحور الافقي والخط الموصل بين هوائي الرادار والهدف .

زاوية سقوط الاشعاع Incidence angle: في الرادار ذي النظرة الجانبية يقصد بها الزاوية المحصورة بين المحور الراسي والخط الموصل بين هوائي الرادار والهدف .

زيادة التباين Contrast stretching: هي عملية نشر القيم الرقمية للمرثية على كامل المقياس الرمادي .

سبوت Spot: برنامج فرنسي للاقمار الصناعية الأوتوماتيكية الخاصة بجمع المعلومات المرئية عن سطح الكرة الأرضية، ويشتمل هذا البرنامج على سلسلة من الاقمار الصناعية التي اطلق منها حتى الآن اثنان.

سيوز Soyus: برنامج روسي للاقمار الصناعية الحاملة للإنسان.

ساليوت Salut: ساليوت عبارة عن برنامج روسي لمحطات فضائية تحمل عدة اشخاص بدا في اوائل السبعينات الميلادية.

سكايلاب Skylab: سكايلاب عبارة عن محطة فضائية صممت لتحمل ثلاثة اشخاص في الفترة من ١٩٧٣-١٩٧٤م.

السمات الخطية Lineaments: الظواهر الطبوغرافية الخطية التي تظهر على المرئية مثل السدود الرأسية dykes.

الشكل Shape: يقصد به الهيئة التي يظهر بها مسقط الجسم على المرئية.

الصفير المطلق Absolute zero: هو صفير كلفن Kelvin الذي يساوي ٢٧٣ درجة مئوية تحت الصفير.

الصورة Photograph: هي المرئية التي يسجل الاشعاع الكهرومغناطيسي فيها على الفيلم مباشرة.

طول الموجة Wavelength: يقصد به المسافة بين قمتي موجتين متلاحقتين.

الظل Shadow: يقصد به ظل الظاهرة الذي يعطي صورة جانبية لها في المرئية.

العملية الالكترونية Electronic process: وهي العملية التي تؤدي الى تحول الالكترونات من غلاف الى آخر.

العملية التذبذبية Vibrational process: هي العملية التي تؤدي الى حدوث ازاحة بسيطة لذرات الجزيء.

عنصر الصورة Picture element (Pixel): عبارته عن وحدة (مساحة) صغيرة تمثل بقيمة رقمية في المرئية وهذه القيمة الرقمية تمثل الطاقة التي سجلها جهاز الاستشعار لهذه المنطقة الصغيرة، والمرئية تتكون من عدد كبير من هذه الوحدات الصغيرة.

فوستوك Vostok: برنامج روسي للاقمار الصناعية الحاملة للإنسان.

فوشكود Voshkod: برنامج روسي للاقمار الصناعية الحاملة للإنسان.

قدرة الانبعاث Emissivity: يقصد بها النسبة بين الطاقة المنبعثة من الجسم عند درجة حرارة معينة والطاقة المنبعثة من الجسم الأسود عند درجة الحرارة نفسها.

قمر صناعي Satellite: هو تابع يدور حول الأرض في مدار معين وعلى ارتفاع معين، والاقمار الصناعية التي تحمل أجهزة الاستشعار عن بعد يمكن تقسيمها الى نوعين هي الاقمار الصناعية الحاملة للإنسان والاقمار الصناعية الأوتوماتيكية.

القمر الصناعي التكنولوجي للموارد الأرضية Earth Resource Technology Satellite (ERTS): هو قمر صناعي أوتوماتيكي أمريكي اطلق في يوليو 1972م وهو اول الاقمار الصناعية في برنامج لاندسات ويسمى حاليا لاندسات-1.

قياسات أرضية Ground truth: يقصد بها البيانات المقاسة في الحقل.

القيمة الرقمية Digital number (DN): عبارته عن قيمة الطاقة التي سجلها جهاز الاستشعار لوحدة مساحية صغيرة (عنصر الصورة) في المرئية، والقيم الرقمية في العادة تتراوح بين صفر و 255.

الكلوروفيل (الايخضور) Chlorophyll: هو عبارة عن مادة أساسية في عملية التمثيل الضوئي، اذ انه يقوم بامتصاص الأشعة المرئية وبذلك يدفع الخلايا الحية الى انتاج المواد الكربوهيدراتية.

كوزموس Cosmas: برنامج روسي للاقمار الصناعية الأوتوماتيكية الخاصة بجمع البيانات عن سطح الكرة الأرضية بهدف مراقبة الطقس وللغراض العسكرية، ويشتمل هذا البرنامج على سلسلة من الاقمار الصناعية قصيرة العمر.

لاندسات Landsat: برنامج أمريكي للاقمار الصناعية الأوتوماتيكية الخاصة بجمع المعلومات المرئية عن سطح الكرة الأرضية، ويشتمل هذا البرنامج على سلسلة من الاقمار الصناعية التي اطلق منها حتى الآن خمسة.

الماسح متعدد الاطيفاف Multispectral scanner system (MSS): جهاز استشعار تحمله جميع الاقمار الصناعية في برنامج لاندسات ويعطي معلومات مرئية عن سطح الأرض في اربعة نطاقات والوضوح المكاني في مرثياته ٧٩م.

ماسح المناطق الساحلية الملون Costal Zone Colour Scanner (CZCS): جهاز استشعار يعمل بنظام المسح الخطي ويقدم معلومات مرئية يحمله Nimbus-7.

الماسح الموضوعي Thematic Mapper (TM): جهاز استشعار يحمله لاندسات-٤ ولاندسات-٥ ويعطي معلومات مرئية عن سطح الأرض في سبعة نطاقات والوضوح المكاني في مرثياته ٣٠م ماعدا نطاق ٦ (تحت الحمراء الحرارية) يعطي وضوحا مكانيا حوالى ١٢٠م.

المبالغة الرأسية Vertical exaggeration: يقصد بها مقدار الزيادة في المقياس الراسي عن المقياس الافقي لنموذج التجسيم.

متزامن مع دوران الأرض Geosynchronous: عبارة عن مدار للقمر الصناعي على ارتفاع معين بحيث يبقى ثابت فوق مكان معين من سطح الكرة الأرضية اي ان دورانه حول الأرض متزامن مع دورانها.

متزامن مع الشمس Sun-synchronous: عبارة عن مدار للقمر الصناعي على ارتفاع معين ويكون قريبا من القطب، وفي هذا المدار يعبر القمر الصناعي جميع الاماكن التي تقع على دائرة العرض نفسها مرتين يوميا بنفس التوقيت الشمسي المحلي.

مدار Orbit: مسار القمر الصناعي حول الأرض.

مرئية (منظر) Image: عبارة عن تمثيل تصويري للجسم التي سجلت الطاقة المنعكسة او المنبعثة منها بواسطة أجهزة الاستشعار عن بعد.

المرئية الرقمية Digital Image: هي المرئية التي تمثل الوحدات الصغيرة فيها (عناصر الصورة) بقيم رقمية عادة تتراوح ما بين صفر الى ٢٥٥.

مرشح Filter: المرشحات الفوتوغرافية عبارة عن سطوح زجاجية او جلاتينية تتركب على عدسات آلات التصوير لتمنع وصول اشعاع كهرومغناطيسي معين الى الفيلم وذلك بامتصاصه او انعكاسه.

مركب الالوان الزائفة False colour Composite: هو انتاج منظر ملون باستخدام نطاقات الطيف غير المرئية، ففي هذه العملية تستخدم ثلاثة نطاقات وتعطى الالوان الازرق والاخضر والاحمر.

مركز بيانات ايروس EROS Data Center: ايروس عباره عن الحروف الاولى من نظام مراقبة الموارد الارضية Earth Resources Observation System الذي تديره المساحة الجيولوجية الامريكية US Geological Survey، وهذا المركز من المراكز الرئيسية التي تتوفر لديها مرئيات الاستشعار عن بعد لكل مناطق العالم.

معامل الانعكاس (Albedo (reflection coefficient): هو نسبة الاشعة المنعكسة من على السطح.

مقياس الرسم Scale: هو النسبة بين المسافة على الخريطة او المرئية والمسافة على الطبيعة بنفس وحدة القياس.

المقياس الرمادي Gray scale: مقياس تدرج كمية الطاقة المسجلة لكل عنصر صورة في المرئية وهو يتدرج من صفر (اسود) الى ٢٥٥ (ابيض).

المكشاف Detector: احد مكونات بعض اجهزة الاستشعار عن بعد الذي يقوم بتحويل الاشعاع الكهرومغناطيسي الى اشارات لترسل الى المسجل.

مكوك الفضاء Space Shuttle: برنامج امريكي لمحطات فضائية يتضمن على عدة مركبات فضائية صالحة للاستخدام اكثر من مرة هي كولومبيا وتشالينجر (انفجرت عام ١٩٨٦م) وديسكفري واتلانتيس.

الموزايك Mosaic: هو مجموعة من المرئيات المتجاورة تجمع بطريقة خاصة لتعطي مرئية واحدة لكامل المنطقة التي تغطيها المرئيات المفردة.

ميكتور Meteor: برنامج روسي للاقمار الصناعية الاوتوماتيكية الخاصة بجمع البيانات عن سطح الكرة الارضية بهدف مراقبة الطقس والموارد الارضية، ويشتمل هذا البرنامج على سلسلة من الاقمار الصناعية تشبه الى حد كبير الاقمار الصناعية في برنامج لاندسات الامريكي من حيث مداراتها والاجهزة التي تحملها.

ميركوري Mercury: برنامج امريكي للاقمار الصناعية الحاملة لأنسان واحد في الفترة من ١٩٦٢-١٩٦٣م.

الميكرويف Microwave: جزء من الطيف الكهرومغناطيسي يقع بين الموجات ام و ام .

الميكرويف غير الفعال Passive microwave: هو نظام الاستشعار عن بعد الذي يسجل الاشعاع الكهرومغناطيسي الطبيعي في موجات الميكرويف.

الميكرويف الفعال Active microwave: هو نظام الاستشعار عن بعد الذي يرسل اشعاعا كهرومغناطيسيا صناعيا في موجات الميكرويف مثل الرادار.

ناسا NASA: وكالة الفضاء الأمريكية .

نبضة Pulse: يقصد بها الاشعاع الكهرومغناطيسي المرسل من الرادار الى الهدف.

نسب النطاقات Band ratioing: هي نسبة نطاق الى آخر وذلك بقسمة القيم الرقمية لكل عنصر صورة في هذا النطاق على القيمة الرقمية لعنصر الصورة نفسه في النطاق الآخر.

النسيج Texture: هو تكرار تغيير درجة اللون في المرئية التي تحتوي على عدد من الاجسام التي لا يمكن تمييزها على انفراد، والذي يعطي انطباعا عن درجة خشونة او نعومة الظواهر على المرئية .

نطاق Band: جزء محدد من الطيف الكهرومغناطيسي.

نطاق Ka band Ka: هو نطاق موجات الميكرويف التي يكون طولها الموجي بين ٠,٨ - ١,١ سم .

نطاق L band L: هو نطاق موجات الميكرويف التي يكون طولها الموجي بين ١٥ - ٣٠ سم .

نطاق X band X: هو نطاق موجات الميكرويف التي يكون طولها الموجي بين ٢,٤ - ٣,٨ سم .

نظام الصف الخطي Pushbroom system: هو احد الانظمة التي تعمل بها اجهزة الاستشعار عن بعد والاجهزة التي تعمل بهذا النظام تسجل المعلومات لخط المسح في آن واحد بواسطة عدد كبير من المكشافات الصغيرة .

النظير Nadir: هي النقطة الارضية التي تكون في وضع عمودي مع مركز جهاز الاستشعار عن بعد.

النمط Pattern: يقصد به الترتيب والتنظيم المكاني للاجسام على المرئية .

نوا NOAA: وكالة المحيطات والجو الأمريكية .

نوافذ الغلاف الجوي Atmospheric windows: يقصد بها النطاقات التي تسمح بانتقال الاشعاع الكهرومغناطيسي.

وحدة التباين الأرضية Ground resolution cell: المساحة التي يسجل المكشاف اشعتها في آن واحد (عنصر الصورة).

الوضوح المكاني Spatial resolution: هو قدرة جهاز الاستشعار عن بعد على تسجيل تفاصيل الظواهر الصغيرة ليتمكن تمييزها على المرئية .

إصدارات المركز

- (١) أطلس السكّان للمملكة العربية السعودية، لجنة الأطلس الوطني بإشراف الأستاذ الدكتور أسعد سليمان عبده (١٤٠١هـ/١٩٨١م).
- (٢) تغيب العمال في المجال الصناعي: دراسة اجتماعية لأسباب تغيب العمال بالمؤسسات الصناعية الموجودة في مدينة الرياض، د. طلعت بن إبراهيم لطفى (١٤٠٤هـ/١٩٨٤م).
- (٣) المهوور في المجتمع العربي السعودي، فريق بحث من قسم الدراسات الاجتماعية بإشراف الدكتور عبدالله الفيصل (١٤٠٤/١٤٠٥هـ).
- (٤) أطلس المدينة المتورة، د. محمد بن شوقي مكي، تحت إشراف لجنة الأطلس الوطني (١٤٠٥هـ/١٩٨٥م).
- (٥) تطور ملامح ظاهرة جنوح الأحداث في المملكة العربية السعودية، د. جلال بن مديوني محمد (١٤٠٥/١٤٠٦هـ).
- (٦) خارطة مدينة الرياض (١٤٠٥هـ). د. غازي بن عبدالواحد مكي (١٤٠٥هـ/١٩٨٥م).
- (٧) ظاهرة الغش في الامتحانات وأسبابها: دراسة استطلاعية بجامعة الملك سعود. د. مختار بن إبراهيم عجوبة، د. إبراهيم خليفة (١٤٠٦/١٤٠٧هـ).
- (٨) اللغة المروية: أبعدها وطبيعة كتابتها وقصة فك رموز خطها، الجزء الأول، أ. د. عبدالقادر بن محمود عبدالله (١٤٠٧هـ/١٩٨٦م).
- (٩) الأسواق المركزية في مدينة الرياض: دراسة جغرافية في التوزيع والسلوك. د. محمد بن شوقي مكي، تحت إشراف لجنة أبحاث مدينة الرياض (١٤٠٧هـ/١٩٨٦م).
- (١٠) أثر مشروع الري والصرف على منطقة الأحساء: دراسة في التغير الاجتماعي القروي بالمملكة العربية السعودية، د. طلعت بن إبراهيم لطفى (١٤٠٧هـ/١٩٨٦م).
- (١١) الإعلام.. الوسائل.. الرسائل.. الرجال.. ترجمة الدكتور ساعد العرابي الحارثي (١٤٠٨هـ/١٩٨٨م).
- (١٢) الخدمات البريدية في مدينة الرياض، دراسة جغرافية في تحليل الشبكة، د. صبيح أحمد فاسم السعيد، تحت إشراف لجنة أبحاث مدينة الرياض (١٤٠٩هـ/١٩٨٩م).
- (١٣) صحة الأطفال وولياتهم في إطار التغير الاجتماعي والاقتصادي في المملكة العربية السعودية، د. عثمان الحسن محمد نور (١٤٠٩هـ/١٩٨٩م).
- (١٤) مختصر شرح أمثلة سيوية للمعطار، تأليف الجواليقي، تحقيق وتعليق د. دفع الله عبدالله سليمان (١٤١٠هـ).
- (١٥) سوق صنعاء، تأليف والتردوستال، ترجمة وتعليق د. وفيق محمد غنيم، قسم الآثار والمتاحف، (١٤١٠هـ/١٩٩٠م).
- (١٦) الترويج في المجتمع العربي السعودي، د. إبراهيم محمد خليف، د. إدريس سالم الحسن (١٤١٠هـ/١٩٩٠م).
- (١٧) أسعار السلع الغذائية والجمارك في مصر، في عصر دولة المليك الحركسة، د. رأفت محمد التراوي، قسم الآثار والمتاحف، (١٤١١هـ/١٩٩٠م).
- (١٨) كتاب إصلاح المنطق لأبي القاسم الراغب، دراسة وتحقيق د. فوزي مسعود، قسم اللغة العربية، (١٤١١هـ/١٩٩١م).
- (١٩) مدى تجاوب المواطنين السعوديين مع قضايا سياسات الرعاية الاجتماعية في قطاعات الصحة والتعليم والشؤون الاجتماعية، إعداد الدكتور مختار إبراهيم عجوبة، قسم الدراسات الاجتماعية (١٤١١هـ/١٩٩١م).
- (٢٠) نظام حماية حقوق المؤلف في المملكة العربية السعودية، دراسة تحليلية مقارنة، د. سعد بن عبدالله الضبيعان، قسم علوم المكتبات والمعلومات، (١٤١١هـ/١٩٩١م).
- (٢١) نقشان من شبه جزيرة سيناء يؤرخان لعمارة السلطان المملوكي قانصوه الغوري لطريق الحج المصري والأماكن المقدسة في الحجاز، د. علي حامد غبان، قسم الآثار والمتاحف (١٤١١هـ/١٩٩١م).
- (٢٢) THE ANCIENT HISTORY OF TACHLIB, Dr. Fadhi Ammar al-Anmary
- (٢٣) لامية العرب: أوجلة التوحش، دراسة تطبيقية حول مفهوم الوحدة في النص الشعري، إعداد الدكتور سعود دخيل الرحيلي، قسم اللغة العربية، (١٤١٢هـ/١٩٩١م).
- (٢٤) شرح المعربات للكافي، تحقيق ودراسة الدكتور صالح بن سليمان العمير، قسم اللغة العربية (١٤١١هـ/١٩٩١م).
- (٢٥) بعض طرق قياس المتغيرات في أحواض التصريف، الدكتور محمد عبدالله الصالح، الأستاذ المساعد بقسم الجغرافيا، (١٤١٢هـ/١٩٩٢م).
- (٢٦) السيات الشخصية للشباب السعودي الأستاذ الدكتور مختار محمد عبدالله، والدكتور عبدالله عبدالرحمن الفيصل قسم الدراسات الاجتماعية، (١٤١١هـ/١٩٩١م).